



**UNIVERSIDADE FEDERAL DE PERNAMBUCO  
CENTRO DE CIÊNCIAS EXATAS E DA NATUREZA  
PROGRAMA DE PÓS-GRADUAÇÃO EM ESTATÍSTICA  
DOUTORADO EM ESTATÍSTICA**

**FRANCE EVELLYN GOMES DE OLIVEIRA**

**REPRESENTAÇÕES MATRICIAIS DE CONCEITOS DE ESTABILIDADE COM  
HORIZONTES VARIÁVEIS NO MODELO DE GRAFOS PARA RESOLUÇÃO DE  
CONFLITOS**

**RECIFE  
2024**

**FRANCE EVELLYN GOMES DE OLIVEIRA**

**REPRESENTAÇÕES MATRICIAIS DE CONCEITOS DE  
ESTABILIDADE COM HORIZONTES VARIÁVEIS NO MODELO DE  
GRAFOS PARA RESOLUÇÃO DE CONFLITOS**

Tese apresentada ao Curso de Doutorado em Estatística do Programa de Pós-Graduação em Estatística do Centro de Ciências Exatas e da Natureza da Universidade Federal de Pernambuco, como requisito parcial à obtenção do título de doutora em Estatística. Área de Concentração: Ciência Exatas e da Terra

Orientador: Dr. LEANDRO CHAVES  
RÊGO  
Coorientador: Dr. GIANNINI ITALINO  
ALVES VIEIRA

Recife

2024

.Catalogação de Publicação na Fonte. UFPE - Biblioteca Central

Oliveira, France Evellyn Gomes de.

Representações matriciais de conceitos de estabilidade com horizontes variáveis no modelo de grafos para resolução de conflitos / France Evellyn Gomes de Oliveira. - Recife, 2024.  
158f.: il.

Tese (Doutorado)- Universidade Federal de Pernambuco, Centro de Ciências Exatas e da Natureza, Programa de Pós-Graduação em Estatística, 2024.

Orientação: Leandro Chaves Rêgo.

Coorientação: Giannini Italino Alves Vieira.

1. Modelo de grafos; 2. Noções de estabilidade; 3. Representação matricial; 4. Horizonte variável; 5. Ciclos. I. Rêgo, Leandro Chaves. II. Vieira, Giannini Italino Alves. III. Título.

UFPE-Biblioteca Central

Dedico o resultado deste esforço a Deus, a minha família, aos meus orientadores e a todos os envolvidos.

## **AGRADECIMENTOS**

Agradeço primeiramente a Deus, por me conceder a sabedoria necessária para desenvolver esta tese. A minha filha Luísa Muniz, por ser meu combustível diário e a minha motivação para prosseguir, ao meu esposo, Benjamim Muniz, por sua compreensão, amor e apoio incondicional me motivaram a seguir em frente, mesmo nos momentos mais desafiadores. Vocês sempre acreditaram em mim e por isso sou eternamente grata.

Aos meus pais, Edna Oliveira e Marcos Oliveira, e aos meus irmãos Marcos V. Oliveira e Vinícius Oliveira por me apoiarem em todo momento e por serem um porto seguro e minha rede de apoio, sou grata por todo amor e cuidado que me proporcionaram transformando em forças para continuar.

Agradeço também aos meus parentes e amigos que também merecem um agradecimento muito especial, cuja camaradagem e colaboração tornaram esta jornada mais leve e agradável. As trocas de ideias e os momentos compartilhados foram essenciais para meu desenvolvimento acadêmico e pessoal.

Ao meu Orientador, Leandro Rêgo e Coorientador, Giannini Vieira, pelo apoio constante e por compartilhar seus vastos conhecimentos ao longo deste percurso. Sua paciência e incentivo foram fundamentais para a realização deste trabalho.

Agradeço também aos membros da banca examinadora, Raydonal Ospina, Maísa Mendonça, Roberto Manghi e Emerson Sabino, pela disposição em avaliar minha pesquisa e pelas contribuições valiosas durante as discussões.

Por fim, agradeço a Coordenação de Aperfeiçoamento de Pessoal de Nível Superior (CAPES) e a Fundação de Amparo a Ciência e Tecnologia do Estado de Pernambuco (FACEPE) que tornaram esta pesquisa possível, seu apoio foi fundamental para a execução deste projeto.

A todos que, de alguma forma, contribuíram para a realização deste trabalho, meu sincero agradecimento.

Ó profundidade das riquezas, tanto da sabedoria, como da ciência de Deus! Quão insondáveis são os seus juízos, e inescrutáveis, os seus caminhos! Porque quem compreendeu o intento do Senhor? Ou quem foi seu conselheiro? Ou quem lhe deu primeiro a Ele, para que lhe seja recompensado? Porque dEle, e por Ele, e para Ele são todas as coisas; glória, pois, a Ele eternamente. Amém.

(BÍBLIA, 1995)

## RESUMO

Decisões cotidianas podem levar a situações conflituosas em que as partes com poder de decisão podem ter interesses distintos em um determinado contexto. Nesse cenário, o uso de métodos de resolução de conflitos surge como uma abordagem estratégica para representar e analisar tais situações. Assim, esta tese visa contribuir para a análise da estabilidade em conflitos com horizonte variável, utilizando métodos matriciais no Modelo de Grafos para Resolução de Conflitos (GMCR). Mais especificamente, propusemos resultados sobre representações matriciais para determinar estados estáveis de acordo com os conceitos de estabilidade sequencial de ordem superior ( $m$ -SEQ),  $\text{Maximin}_h$  e movimento limitado ( $L_h$ ) no âmbito do GMCR considerando conflitos bilaterais e multilaterais. Com base nos sistemas lógicos já existentes na literatura, são desenvolvidos os sistemas matriciais para 2 ou mais tomadores de decisão (DMs).

Com os métodos propostos, análises de estabilidade com horizonte variável em conflitos envolvendo um grande número de estados ou DMs podem ser feitas de forma eficiente. Após o desenvolvimento dos sistemas matriciais, a fim de demonstrar a utilidade das representações matriciais obtidas, foram feitas aplicações da representação matricial  $m$ -SEQ para o caso de uma disputa com dois DMs, o clássico jogo Matching Pennies, e para o caso de  $n$  DMs, o conflito da renovação de área de instalação industrial privada. No caso da representação matricial da estabilidade  $\text{Maximin}_h$ , realizamos a aplicação dos métodos propostos na análise da Fase 3 do conflito entre Sun Belt e o Governo da Colúmbia Britânica e demonstramos a eficiência do método matricial e o tempo computacional a partir da aplicação do conflito do Dilema dos Prisioneiros para  $n$  DMs. Por fim, no caso da representação matricial da estabilidade  $L_h$ , foram realizadas três aplicações: o Dilema dos prisioneiros para 2 decisores para ilustrar o método, a análise das 4 fases cognitivas do conflito de seleção tecnológica até o horizonte  $h = 3$ , e exploramos a existência e os tamanhos dos ciclos na estabilidade  $L_h$  aplicado a todos os jogos em forma normal  $2 \times 2$ . Como esperado, as representações matriciais propostas quando comparadas ao sistema lógico apresentaram maior eficiência e facilidade nos cálculos de estabilidade.

**Palavras-chave:** Modelo de Grafos, Noções de Estabilidade, Representação Matricial, Horizonte Variável, Ciclos.

## ABSTRACT

Everyday decisions can lead to conflict situations in which the parties with decision-making power may have different interests in a given context. In this scenario, the use of conflict resolution methods has emerged as a strategic approach to represent and analyze such situations. Thus, this thesis aims to contribute to the analysis of stability in conflicts with variable horizons, using matrix methods in the Graph Model for Conflict Resolution (GMCR). Specifically, we propose results on matrix representations to determine stable states according to the concepts of higher-order sequential stability ( $m$ -SEQ),  $\text{Maximin}_h$ , and bounded motion ( $L_h$ ) in the context of GMCR, considering bilateral and multilateral conflicts. Based on existing logical systems in the literature, matrix systems for 2 or more decision makers (DMs) are developed. With the proposed methods, stability analyses with variable horizons in conflicts involving a large number of states or DMs can be carried out efficiently. After the development of the matrix systems, in order to demonstrate the usefulness of the obtained matrix representations, applications of the  $m$ -SEQ matrix representation were made to the case of a dispute with two DMs, the classic Matching Pennies game, and to the case of  $n$  DMs, the conflict over the renovation of a private industrial site. In the case of the matrix representation of  $\text{Maximin}_h$  stability, we applied the proposed methods to the analysis of Phase 3 of the conflict between the Sun Belt and the Government of British Columbia, and demonstrated the efficiency of the matrix method and the computational time when applying the Prisoner's Dilemma conflict to  $n$  DMs. Finally, in the case of the matrix representation of stability  $L_h$ , three applications were made: the Prisoner's Dilemma for 2 decision makers to illustrate the method, the analysis of the 4 cognitive phases of the technological choice conflict up to the horizon  $h = 3$ , and we explored the existence and sizes of cycles in stability  $L_h$  applied to all games in normal form  $2 \times 2$ . As expected, the proposed matrix representations showed greater efficiency and ease in stability computations compared to the logical system.

**Keywords:** Graph Model, Stability Notions, Matrix Representation, Variable Horizon, Cycles.

## LISTA DE FIGURAS

<b>Figura 2.1 – Ilustração do problema do Dilema do prisioneiro</b>	27
<b>Figura 2.2 – Modelo de Grafos do conflito do Dilema do prisioneiro</b>	28
<b>Figura 2.3 – Árvore de decisão do DM 1 a partir de <math>s_1</math> - 3-SEQ</b>	33
<b>Figura 2.4 – Árvore de decisão do DM 1 a partir de <math>s_1</math> - <math>L_3</math></b>	35
<b>Figura 2.5 – Árvore de decisão do DM 1 a partir de <math>s_1</math> - Maximin<sub>3</sub></b>	37
<b>Figura 2.6 – Árvores de decisão do DM 1 - Maximin<sub>3</sub><sup>c</sup> - DM Focal</b>	39
<b>Figura 3.1 – Ilustração do SEQ não credível</b>	45
<b>Figura 3.2 – Forma de grafo do jogo Matching Pennies</b>	52
<b>Figura 4.1 – Cronologia do litígio com a Sun Belt</b>	72
<b>Figura 4.2 – Modelo de grafo para o conflito Sun Belt vs British Comumbia Government - Fase 3.</b>	73
<b>Figura 4.3 – Matriz de payoff do Dilema dos Prisioneiros para <math>n</math> jogadores</b>	76
<b>Figura 4.4 – Matriz de payoff para <math>n</math> jogadores</b>	76
<b>Figura 5.1 – Árvores de decisão do DM 1 - <math>L_3</math></b>	95
<b>Figura 5.2 – Modelo de grafo para o conflito de seleção de tecnologia de neurociência na China</b>	97
<b>Figura 5.3 – Legenda de cores da Tabela de jogos <math>2 \times 2</math></b>	101
<b>Figura 5.4 – Diagrama da Topologia dos Jogos <math>2 \times 2</math></b>	103
<b>Figura 5.5 – Diagrama da Topologia dos Jogos <math>2 \times 2</math> por ciclos e horizontes</b>	104

## LISTA DE TABELAS

<b>Tabela 3.1 – Estados estáveis do jogo Matching Pennies de acordo com a estabilidade <math>m\text{-SEQ}</math></b> . . . . .	56
<b>Tabela 3.2 – Estados viáveis no conflito de aquisição</b> . . . . .	57
<b>Tabela 3.3 – Classificação dos estados do conflito de aquisição</b> . . . . .	57
<b>Tabela 3.4 – Resultado da análise de estabilidade do conflito de renovação de instalação industrial privada</b> . . . . .	59
<b>Tabela 4.1 – Análise de estabilidade <math>\text{Maximin}_h</math> para o DM <math>i</math></b> . . . . .	68
<b>Tabela 4.2 – DMs, opções e estados viáveis do conflito estratégico - Fase 3</b> . . . . .	72
<b>Tabela 4.3 – Análise de estabilidade <math>\text{Maximin}_h</math> até o horizonte 20 na Fase 3 do conflito</b> . . . . .	74
<b>Tabela 4.4 – Relação dos possíveis estados e suas composições - 3DMs</b> . . . . .	77
<b>Tabela 4.5 – <math>K'_i</math>s do Dilema dos Prisioneiros com 3DMs</b> . . . . .	78
<b>Tabela 4.6 – Análise de estabilidade <math>\text{Maximin}_h</math> - 3 Decisores</b> . . . . .	78
<b>Tabela 4.7 – Relação dos possíveis estados e suas composições - 4 DMs</b> . . . . .	79
<b>Tabela 4.8 – <math>K_i</math>s do Dilema dos Prisioneiros com 4 DMs</b> . . . . .	80
<b>Tabela 4.9 – Análise de estabilidade <math>\text{Maximin}_h</math> - 4 Decisores</b> . . . . .	80
<b>Tabela 4.10 – Tempo de execução <math>\text{Maximin}_h</math> - <math>n</math> Decisores</b> . . . . .	81
<b>Tabela 5.1 – Análise de estabilidade <math>\mathbf{L}_h</math>, para <math>h \leq 3</math> - Dilema dos Prisioneiros</b> . . . . .	94
<b>Tabela 5.2 – DMs, opções e estados viáveis do conflito de seleção tecnológica</b> . . . . .	96
<b>Tabela 5.3 – Análise de estabilidade <math>\mathbf{L}_h</math>, para <math>h \leq 3</math> - Fase 1</b> . . . . .	97
<b>Tabela 5.4 – Análise de estabilidade <math>\mathbf{L}_h</math>, para <math>h \leq 3</math> - Fase 2</b> . . . . .	98
<b>Tabela 5.5 – Análise de estabilidade <math>\mathbf{L}_h</math>, para <math>h \leq 3</math> - Fase 3</b> . . . . .	99
<b>Tabela 5.6 – Análise de estabilidade <math>\mathbf{L}_h</math>, para <math>h \leq 3</math> - Fase 4</b> . . . . .	99
<b>Tabela 5.7 – Forma normal do jogo ChNc</b> . . . . .	103

## LISTA DE SÍMBOLOS

<i>DM</i>	Decision maker / Tomador de decisão
<i>GMCR</i>	Graph model for conflict resolution / Modelo de grafos para resolução de conflitos
<i>GMR</i>	Estabilidade metarracionalidade general
<i>SMR</i>	Estabilidade metarracionalidade simétrica
<i>SEQ</i>	Estabilidade sequencial
<i>SSEQ</i>	Estabilidade sequencial simétrica
<i>m-SEQ</i>	Estabilidade sequencial de ordem superior
<i>h</i>	horizonte
<i>Maximin<sub>h</sub></i>	Estabilidade maximin no horizonte h
<i>L<sub>h</sub></i>	Estabilidade movimento limitado no horizonte h
<i>n</i> DMs	Múltiplos tomadores de decisão
<i>MRSC</i>	Matrix representation of solution concepts / Representação Matricial de conceitos de solução
<i>UI</i>	Unilateral Improvement / Melhoria Unilateral
<i>UM</i>	Unilateral Movement / Movimento Unilateral
<i>FUIs</i>	Fuzzy Unilaterals Improvements / Movimentos Unilaterais fuzzy
<i>D<sub>i</sub></i>	Grafo direcionado para o DM <i>i</i>
<i>S</i>	Conjunto de estados do conflito
<i>s</i>	Estado <i>s</i>
<i>A<sub>i</sub></i>	Conjunto de arcos para o DM <i>i</i>
<i>N</i>	Conjunto dos DMs
<i>H</i>	Subconjunto dos DMs, ou seja, uma coalizão
<i>J<sub>i</sub></i>	Matriz de acessibilidade ao DM <i>i</i>
<i>R<sub>i</sub></i>	Lista de acessibilidade ao DM <i>i</i>
<i>J<sub>i</sub><sup>+</sup></i>	Matriz de melhorias unilaterais ao DM <i>i</i>
<i>R<sub>i</sub><sup>+</sup></i>	Lista de melhorias unilaterais ao DM <i>i</i>

$J_H$	Matriz de acessibilidade a coalizão H
$R_H$	Lista de acessibilidade a coalizão H
$J_H^+$	Matriz de melhorias unilaterais a coalizão H
$J_{i,H}^r$	Matriz dos estados atingidos em exatamente $r$ movimentos legais.
$J_{i,H}^{r,+}$	Matriz dos estados atingidos em exatamente $r$ movimentos legais de melhoria unilateral.
$R_H^+$	Lista de melhorias unilaterais a coalizão H a partir do estado $s$
$R_H^{+,m}$	conjunto de estados alcançáveis pelos DMs em $H$ através de uma sequência plausível de UIs a partir do estado $s$
$P_i^+$	Matriz de relação de preferência estrita do DM $i$
$P_i^-$	Matriz de menor preferência do DM $i$
$P_i^=$	Matriz de indiferença do DM $i$
$P_i^{-,=}$	Matriz de relação de preferência não estrita do DM $i$
$E$	Matriz de entradas iguais a 1
$e_k$	Vetor com $k$ -ésimo elemento igual a 1 e os demais elementos iguais a zero.
$I$	Matriz identidade
$\succ_i$	Relação de preferência estrita entre estados do conflito para o DM $i$
$\sim_i$	Relação de indiferença entre estados do conflito para o DM $i$
$\succeq_i$	Relação de preferência fraca entre estados do conflito para o DM $i$
$\not\succ_i$	Relação de preferência não estrita entre estados do conflito para o DM $i$
$S_i^{NASH}$	Conjunto de todos os estados Nash estáveis para DM $i$
$S_i^{GMR}$	Conjunto de todos os estados GMR estáveis para DM $i$
$S_i^{SMR}$	Conjunto de todos os estados SMR estáveis para DM $i$
$S_i^{SEQ}$	Conjunto de todos os estados SEQ estáveis para DM $i$
$S_i^{SSEQ}$	Conjunto de todos os estados SSEQ estáveis para DM $i$
$S_i^{m-SEQ}$	Conjunto de todos os estados m-SEQ estáveis para DM $i$
$K_i$	Cardinalidade do conjunto de estados que são piores ao estado $s$ para o DM $i$
$G_h$	Estado final antecipado no conflito de acordo com o conceito $L_h$
$M_h$	Algum estado $s'_1 \in R_i(s)$

$G_h^i$	Estado final antecipado por DM $i$ de acordo com o conceito Maximin $_h$
$M_h^i$	Algum estado $s'_1 \in R_i(s)$
$G_h^{i,F^c}$	Estado final antecipado por DM $i$ em que o DM focal realiza somente movimentos de melhorias unilaterais
$G_h^{i,O^c}$	Estado final antecipado por DM $i$ em que o oponente realiza somente movimentos de melhorias unilaterais
$G_h^{i,T^c}$	Estado final antecipado por DM $i$ em que todos realizam somente movimentos de melhorias unilaterais
$W$	Matriz de ordem $ S $
$Z$	Matriz 0-1 de ordem $ S $
$\delta$	o número máximo de movimentos necessários para atingir um estado em $R_H(s)$
$M_i^{NASH}$	Conjunto de matrizes de todos os estados Nash estáveis para DM $i$
$M_i^{GMR}$	Conjunto de matrizes de todos os estados GMR estáveis para DM $i$
$M_i^{SMR}$	Conjunto de matrizes de todos os estados SMR estáveis para DM $i$
$M_i^{SEQ}$	Conjunto de matrizes de todos os estados SEQ estáveis para DM $i$
$M_i^{SSEQ}$	Conjunto de matrizes de todos os estados SSEQ estáveis para DM $i$
$M_i^{m-SEQ}$	Conjunto de matrizes de todos os estados m-SEQ estáveis para DM $i$
$PO$	Proprietário da propriedade
$CG$	Governo municipal
$PR$	Empresa imobiliária ou um promotor imobiliário
$\mathbf{K}_i$	Matriz coluna com dimensão $ S $
$Min(A)$	Menor elemento presente na linha $k$ da matriz $A$
$Max(A)$	Maior elemento presente na linha $k$ da matriz $A$
$B_h^i$	Ganho antecipado que o DM $i$ espera receber após um horizonte de conflito $h$
$C_h^i$	Ganho máximo que o DM $i$ pode obter escolhendo ficar em $s$ ou afastar-se de $s$ e o que antecipa quando o DM $j$ se move a seguir e o horizonte é $h - 1$
$C_i$	Ação de cooperar para o decisior $i$

$D_i$	Ação de delatar para o decisor $i$
$BCG$	Governo da Colúmbia Britânica
$NAFTA$	Acordo de Livre Comércio da América do Norte
$NIPD$	Dilema dos Prisioneiros considerando $n$ -jogadores
$\mathcal{B}_h^i$	Matriz de ganho antecipado que o DM $i$ espera receber após um horizonte de conflito $h$ , no conceito do movimento limitado
$\mathcal{C}_h^i$	Ganho máximo que o DM $i$ pode obter escolhendo ficar em $s$ ou afastar-se de $s$ e o que antecipa quando o DM $j$ se move a seguir e o horizonte é $h - 1$ , no conceito do movimento limitado

## SUMÁRIO

<b>1</b>	<b>INTRODUÇÃO . . . . .</b>	17
1.1	OBJETIVO GERAL . . . . .	21
1.2	OBJETIVOS ESPECÍFICOS . . . . .	21
1.3	MÉTODOS E PROCEDIMENTOS . . . . .	22
1.4	ESTRUTURA DA TESE . . . . .	22
1.5	SUPORTE COMPUTACIONAL . . . . .	23
<b>2</b>	<b>REFERENCIAL TEÓRICO . . . . .</b>	24
2.1	GMCR . . . . .	24
2.2	CONCEITOS DE SOLUÇÕES NO GMCR . . . . .	26
2.3	ALGUMAS REPRESENTAÇÕES MATRICIAIS DE CONCEITOS DE ESTABILIDADE NO GMCR . . . . .	40
2.4	CONCEITOS CLÁSSICOS: REPRESENTAÇÃO MATRICIAL . . . . .	43
<b>3</b>	<b>REPRESENTAÇÃO MATRICIAL DAS ESTABILIDADES SEQUENCIAIS DE ORDEM SUPERIOR NO MODELO GRAFO PARA RESOLUÇÃO DE CONFLITOS . . . . .</b>	45
3.1	INTRODUÇÃO . . . . .	45
3.2	REPRESENTAÇÕES MATRICIAIS DO CONCEITOS DE SOLUÇÃO <i>m</i> -SEQ . . . . .	46
<b>3.2.1</b>	<b>Caso Bilateral . . . . .</b>	47
<b>3.2.2</b>	<b>Caso Multilateral . . . . .</b>	49
3.3	APLICAÇÕES . . . . .	51
<b>3.3.1</b>	<b>Matching Pennies . . . . .</b>	52
<b>3.3.2</b>	<b>Conflito de Renovação de Instalação Industrial Privada . . . . .</b>	56
3.4	CONCLUSÃO . . . . .	59
<b>4</b>	<b>REPRESENTAÇÃO MATRICIAL DA ESTABILIDADE MAXIMIN<sub><i>h</i></sub> NO MODELO GRAFO PARA RESOLUÇÃO DE CONFLITOS . . . . .</b>	60
4.1	INTRODUÇÃO . . . . .	60
4.2	REPRESENTAÇÕES MATRICIAIS DA ESTABILIDADE MAXIMIN <sub><i>h</i></sub> NO GMCR . . . . .	61
<b>4.2.1</b>	<b>Representações matriciais da estabilidade Maximin<sub><i>h</i></sub> para conflitos bilaterais . . . . .</b>	61
<b>4.2.2</b>	<b>Representações matriciais de extensões do conceito Maximin<sub><i>h</i></sub> . . . . .</b>	69

4.3	APLICAÇÃO . . . . .	70
<b>4.3.1</b>	<b>Sun Belt Vs. British Columbia Government . . . . .</b>	70
4.3.1.1	Fases do conflito . . . . .	71
4.3.1.2	Análise de estabilidade $\text{Maximin}_h$ da fase 3 do conflito . . . . .	72
<b>4.3.2</b>	<b>Dilema dos Prisioneiros para <math>n</math> jogadores . . . . .</b>	75
4.3.2.1	Dilema dos Prisioneiros para 3 jogadores . . . . .	76
4.3.2.2	Dilema dos Prisioneiros para 4 jogadores . . . . .	79
4.4	CONCLUSÃO . . . . .	82
<b>5</b>	<b>REPRESENTAÇÃO MATRICIAL DA ESTABILIDADE DE MOVIMENTO LIMITADO (<math>L_h</math>) NO MODELO DE GRAFOS PARA RESOLUÇÃO DE CONFLITOS COM 2 DECISORES . . . . .</b>	83
5.1	INTRODUÇÃO . . . . .	83
5.2	REPRESENTAÇÕES MATRICIAIS DA ESTABILIDADE $L_h$ NO GMCR .	84
<b>5.2.1</b>	<b>Dilema dos Prisioneiros . . . . .</b>	91
<b>5.2.2</b>	<b>Conflito de seleção de tecnologia de neurociência na China . . . . .</b>	95
5.2.2.1	Fase 1 - Intuição . . . . .	96
5.2.2.2	Fase 2 - Emoção . . . . .	98
5.2.2.3	Fase 3 - Racionalidade em pequena escala . . . . .	98
5.2.2.4	Fase 4 - Racionalidade em grande escala . . . . .	99
<b>5.2.3</b>	<b>Ciclos na Estabilidade <math>L_h</math> . . . . .</b>	100
5.3	CONCLUSÃO . . . . .	105
<b>6</b>	<b>CONSIDERAÇÕES FINAIS . . . . .</b>	106
	<b>REFERÊNCIAS . . . . .</b>	108
	<b>APÊNDICE A – CÓDIGOS COMPUTACIONAIS . . . . .</b>	112
A.1	SCRIPT DO R - CONFLITO PRIVADO DE RENOVAÇÃO DE BROWNFIELD - CÓDIGO M-SEQ . . . . .	112
A.2	SCRIPT DO R - FASE 3 - WATER EXPORT CONFLICT - CÓDIGO $\text{MAXIMIN}_h$ . . . . .	117
A.3	SCRIPT DO R - DILEMA DOS PRISIONEIROS N-DMS - CÓDIGO $\text{MAXIMIN}_h$ . . . . .	125
A.4	SCRIPT DO R - DILEMA DOS PRISIONEIROS - CÓDIGO $L_h$ . . . . .	129
A.5	SCRIPT DO R - CONFLITO DE SELEÇÃO DE TECNOLOGIA DE NEUROCIÊNCIA NA CHINA - CÓDIGO $L_h$ . . . . .	135



## 1 INTRODUÇÃO

Diariamente lidamos com a necessidade de tomadas de decisões em nossa vida pessoal, profissional ou acadêmica, buscando diversas formas que possam ajudar em nossas escolhas. A partir do momento em que cada decisor toma caminhos diferentes, isso pode afetá-los mutualmente, gerando possíveis conflitos. Em uma tomada de decisão racional, o tomador de decisão (decision maker - DM) precisa definir quais objetivos ele deseja alcançar e avaliar, de forma estratégica, quais possíveis movimentos ele pode realizar a fim de que obtenha o melhor ganho para ele.

O uso de métodos de resolução de conflitos pode facilitar a finalização de conflitos, a fim de obter ganhos para todos, podendo ser utilizado em mediações e negociações. Esses métodos baseados em resultados de análise de estabilidade do modelo fornecem previsões, sugestões e possíveis soluções que auxiliam na tomada de decisões, avaliando as possíveis estratégias de resolução de conflitos.

Levando em consideração conceitos de análise de conflitos e teoria dos jogos, foi proposto, por Kilgour *et al.* em 1987, um modelo matemático que torna capaz a modelagem e análise de situações de conflitos estratégicos. Esse modelo é conhecido como modelo de grafo para resolução de conflitos (GMCR) e visa acomodar diversos comportamentos presentes nos DMs em sua análise de estabilidade, podendo ser adaptado para situações diversas.

Para tomar decisões mais coerentes e aumentar o ganho em relação à escolha realizada, um DM precisa estar ciente de suas principais características e ter noção dos possíveis comportamentos que os seus oponentes podem ter no decurso de um conflito. A fim de preservar que nenhum DM em um determinado conflito desvie da solução sugerida, a análise de estabilidade busca possíveis soluções para garantir isso em um conflito.

Dada uma escolha de ação para cada um dos DMs envolvidos no conflito, temos um cenário do conflito, que é denominado estado do conflito. A análise de estabilidade visa determinar, para cada estado, os possíveis DMs que tenham incentivo de mudar ou não as suas possíveis ações. Como existem diversos critérios que avaliam este incentivo, também existem diferentes definições de estabilidade que visam capturar diferentes tipos de comportamentos que podem surgir ao longo de um conflito estratégico. Em situações em que um DM não tem incentivo para se desviar de um estado, este estado é conhecido como estado estável para este DM. No caso em que nenhum dos DMs, envolvidos no conflito, têm incentivo para se desviar

de um estado de acordo com uma definição de estabilidade, então esse estado é chamado de equilíbrio para esta noção de estabilidade.

As definições de estabilidades mais usuais na literatura sobre o modelo de grafo para resolução de conflitos (GMCR) são: Nash (NASH, 1950; NASH, 1951), metarracionalidade geral (GMR) (HOWARD, 1971), metarracionalidade simétrica (SMR) (HOWARD, 1971), estabilidade sequencial (SEQ) (FRASER; HIPEL, 1984), estabilidade sequencial simétrica (SSEQ) (RÊGO; VIEIRA, 2016), sequencial de ordem superior ( $m$ -SEQ) (RÊGO; OLIVEIRA, 2020), estabilidade maximin no horizonte  $h$  ( $\text{Maximin}_h$ ) (RÊGO; VIEIRA, 2019) e a estabilidade movimento limitado no horizonte  $h$  ( $L_h$ ) (KILGOUR, 1985). Intuitivamente, na estabilidade de Nash, cada DM, ignorando as possíveis reações que os oponentes podem ter, verifica se ele pode ou não alcançar um estado mais preferível para ele. Nas estabilidades GMR e SEQ, o DM focal, ou seja, decisor ou agente cujas preferências e estratégias estão sendo analisadas em um momento específico no conflito, verifica se os oponentes podem sancioná-lo levando o conflito a um estado que não é preferível ao estado inicial para o DM focal, sendo que esses conceitos diferem entre si pelo fato de que no conceito SEQ as reações dos adversários devem sempre trazer uma melhora para a situação deles, enquanto que no conceito GMR isso não necessariamente ocorre. A estabilidade SEQ é, portanto, um conceito de estabilidade mais forte no sentido de que as reações ao movimento inicial de DM focal são mais plausíveis. Já nos conceitos SMR e SSEQ, além do DM focal analisar as respostas que podem ser dadas pelos seus oponentes, exatamente como ocorre nos conceitos GMR e SEQ, respectivamente, o DM focal também analisa se ele consegue escapar, da situação imposta pelos seus oponentes, para uma situação que seja melhor do que o estado inicial em que o DM focal se encontrava.

Porém, na estabilidade SEQ os oponentes podem reagir, saindo de um estado que é SEQ estável para eles apenas para punir o DM focal. Esse movimento torna questionável a plausibilidade de tais reações. No entanto, a estabilidade  $m$ -SEQ evita que essas reações aconteçam, impossibilitando que um DM deixe um estado SEQ estável para sancionar o DM focal, se tornando uma ação mais plausível. Já para o caso do conceito solução  $L_h$ , o DM focal antecipa  $h$  passos a frente qual será o cenário final do conflito, levando em consideração que os DMs sempre irão mudar as suas ações a fim de obter o melhor cenário possível para eles. No conceito  $\text{maximin}_h$ , o DM focal também antecipa  $h$  passos a frente qual será o estado final do conflito, mas diferente da estabilidade  $L_h$ , o DM focal acredita que os oponentes sempre se movem para o pior cenário para o DM focal.

Apesar das diversas vantagens que o GMCR apresenta, em circunstâncias onde o

número de estados ou DMs é expressivamente grande (ou até em alguns casos considerados pequenos) realizar a análise de estabilidade dos estados de um conflito manualmente pode tornar-se uma tarefa exaustiva. Desta forma, faz-se necessário o uso de métodos computacionais para buscar estados estáveis no modelo, com o intuito de facilitar e auxiliar as análises de forma mais rápida e eficiente. Estes métodos computacionais são baseados em representações matriciais de conceitos de solução para o GMCR, que podem ser codificados conforme a necessidade de cada representação matricial.

Atualmente na literatura sobre o GMCR é possível encontrar diversos trabalhos que apresentam representações matriciais de vários conceitos de estabilidades do GMCR. Por exemplo, no trabalho da Xu *et al.* em 2007 e em 2009 foram propostas representações matriciais de modelos grafos com vários níveis de preferência para o caso de conflitos com dois DMs e, mais tarde, em outro trabalho Xu *et al.* em 2010 expandiram estes resultados para múltiplos DMs. Xu *et al.* em 2011 propuseram representações matriciais dos conceitos solução utilizando GMCR em conflitos onde eram considerados múltiplos decisores com preferência incerta. Wu *et al.* em 2021, utilizou expressões matriciais para representar relações de preferência recíproca de DMs, movimentos unilaterais (UMs) e melhorias unilaterais fuzzy (FUIs). Em 2021 Rêgo e Vieira, propuseram representações matriciais para obtenção de estabilidades no GMCR com preferências probabilísticas, analisando para quais valores dos parâmetros  $\alpha$ ,  $\beta$  e  $\gamma$  os estados satisfazem certas noções de estabilidade. Vale ressaltar que as ideias relacionadas a representações matriciais propostas por Xu *et al.* em 2007, também foram adaptados para outras extensões do GMCR, tais como: GMCR com preferências incertas (XU; KILGOUR; HIPEL, 2007), (XU; KILGOUR; HIPEL, 2011), para análise de status quo (XU *et al.*, 2009), para aprimorar a implementação de análises de estabilidade mista (ZHAO *et al.*, 2019), e também para desenvolver um método baseado em matriz para uma análise inversa (WANG *et al.*, 2018). A representação matricial de conceitos de solução com horizonte variável é pouco explorada na literatura do GMCR.

As representações matriciais existentes no GMCR auxiliam também na avaliação da estabilidade e na implantação de novos conceitos de estabilidade por meio do desenvolvimento de algoritmos através da conversão do sistema lógico usual para um sistema matricial. Aplicando a codificação de matrizes no âmbito do GMCR, por meio de operações matriciais, as análises de estabilidade são rapidamente encontradas. A partir da ideia dos artigos mencionados no parágrafo anterior motivou-se o desenvolvimento de representações matriciais para os conceitos de estabilidades sequenciais de ordem superior ( $m - SEQ$ ), estabilidade Maximin <sub>$h$</sub>  e a estabilidade movimento limitado ( $L_h$ ).

A primeira contribuição dessa tese foi propor representações matriciais para o conceito de estabilidade sequencial de ordem superior no âmbito do GMCR, considerando conflitos bilaterais e multilaterais. Com base nos sistemas lógicos já existentes na literatura, foram desenvolvidos sistemas matriciais para auxiliar na obtenção de estabilidade, de acordo com este conceito, em conflitos com dois e com múltiplos decisores. Após o desenvolvimento dos sistemas matriciais, foram realizadas aplicações a fim de ilustrar os procedimentos encontrados. Para a aplicação da representação matricial  $m - SEQ$  para o caso de uma disputa com dois DMs, consideramos o jogo clássico “Matching Pennies” (GIBBONS, 1992) e, para o caso com n-DMs, consideramos o Conflito de Renovação de Instalação Industrial Privada (WALKER; BOUTILIER; HIPEL, 2010). Com base nessas aplicações, mostramos como a representação matricial proposta é mais eficiente, no sentido de facilitar e otimizar a obtenção de estados estáveis de acordo com esse conceito.

A segunda contribuição dessa tese foi o desenvolvimento de métodos matriciais para determinar estados estáveis de acordo com o conceito de estabilidade  $Maximin_h$  e algumas de suas variantes. Neste conceito de estabilidade, não é necessário ter conhecimento prévio sobre as preferências de outros DMs no conflito, e é facilmente adequado para modelagem de conflitos nos quais os DMs têm perfis cautelosos. Os conceitos clássicos de estabilidade, Nash, *GMR* e *SMR* são casos particulares da estabilidade  $Maximin_h$ , para horizonte igual a 1, 2 e 3, respectivamente (RÊGO; VIEIRA, 2019). Com os métodos propostos neste trabalho, a análise de estabilidade com horizonte variável em conflitos envolvendo um grande número de estados ou DMs pode ser feita eficientemente. Analisamos um conflito real descrito na literatura do GMCR, conhecido como o confronto entre o Sun Belt e o Governo de British Columbia (OBEIDI; HIPEL, 2005). Além disso, abordamos um conflito amplamente estudado na teoria dos jogos, o Dilema dos Prisioneiros, adaptado para múltiplos jogadores. O objetivo, desta última aplicação, é examinar o tempo necessário para realizar análises de estabilidade com base nos resultados matriciais que serão apresentados, à medida que o número de DMs aumenta.

A terceira contribuição dessa tese foi a representação matricial da estabilidade movimento limitado ( $L_h$ ). Neste conceito o DM antecipa, um certo número de passos a frente, qual será o cenário final do conflito, considerando que os DMs mudam sempre as suas ações para alcançar o melhor cenário final possível para eles. Diferente do  $Maximin_h$ , é necessário ter um conhecimento completo sobre as preferências dos outros DMs. Demonstramos que as estabilidades  $L_h$  podem ser derivadas das representações matriciais fornecidas e implementamos essas operações computacionalmente. A metodologia é detalhadamente ilustrada na aplicação do

Dilema dos Prisioneiros, e na análise do conflito real de seleção tecnológica em neurociência na China (ZHOU; WANG, 2018) utilizando o conceito  $L_h$ . Esta abordagem também nos permitiu explorar o comportamento dinâmico e variável associado à estabilidade  $L_h$  (FANG; HIPEL; KILGOUR, 1993) em todos os jogos  $2 \times 2$ , conforme descrito na tabela periódica (BRUNS, 2015b), incluindo a identificação dos respectivos ciclos em cada jogo.

### 1.1 OBJETIVO GERAL

O objetivo principal desta tese é desenvolver representações matriciais de alguns conceitos de estabilidade com horizontes variáveis no âmbito do modelo de grafos para resolução de conflitos. Dessa forma, as representações matriciais são propostas para determinar, eficientemente, os estados estáveis de um conflito conforme os conceitos de estabilidades sequenciais de ordem superior, estabilidade  $\text{Maximin}_h$  e a estabilidade do movimento limitado com horizonte  $h$ .

### 1.2 OBJETIVOS ESPECÍFICOS

No intuito de alcançar o objetivo geral desta tese, temos como objetivos específicos:

- Revisar a literatura referente ao GMCR e acerca de trabalhos que fornecem representações matriciais de conceitos de estabilidades desse modelo, como também às definições de estabilidade  $m - \text{SEQ}$ ,  $\text{Maximin}_h$  e  $L_h$ ;
- Desenvolver a representação matricial das estabilidades sequenciais de ordem superior para conflitos com dois e  $n - \text{DMs}$ ;
- Desenvolver a representação matricial para o conceito de estabilidade  $\text{Maximin}$  com horizonte  $h$  e algumas de suas variantes para conflitos bilaterais e multilaterais;
- Desenvolver a representação matricial para o conceito de estabilidade do movimento limitado com horizonte  $h$  para conflitos bilaterais;
- Desenvolver e aplicar análises cíclicas do conceito de estabilidade  $L_h$ ;
- Implementar as representações matriciais dos conceitos de estabilidade que foram desenvolvidos nesta tese utilizando o software R;
- Aplicar os resultados obtidos em conflitos estratégicos, com o intuito de ilustrar a utilidade das ferramentas desenvolvidas.

### 1.3 MÉTODOS E PROCEDIMENTOS

Para elaboração desta tese, realizamos um amplo estudo acerca de trabalhos existentes na literatura sobre o GMCR. Identificamos que, recentemente, a área de análise de estabilidade relacionada ao GMCR tem recebido muita atenção ao longo dos últimos anos, com vários conceitos de estabilidades sendo propostos para conflitos com múltiplos DMs. Dessa forma, observamos as complexidades existentes quando é necessário realizar análises de estabilidade de acordo com alguns desses conceitos, em conflitos maiores, em termos de números de DMs ou estados, por conta da exaustão e inviabilidade dos cálculos utilizando as formas lógicas desses conceitos de estabilidades.

Motivados e inspirados pelos trabalhos Xu *et al.* nos anos de 2009 e 2010, que apresentam formas mais eficazes de obter estados estáveis de acordo com as noções de estabilidades mais usuais na literatura do GMCR, ou seja, (Nash, *GMR*, *SMR* e *SEQ*) por meio de representações matriciais, observamos a necessidade de ampliar essa ideia de representações matriciais para otimizar a obtenção de estados estáveis de acordo com algumas dessas noções de estabilidade com horizonte variável propostas no GMCR.

### 1.4 ESTRUTURA DA TESE

Incluindo este capítulo introdutório, esta tese está dividida em seis capítulos. No Capítulo 2, realizamos uma revisão da literatura sobre os principais conceitos que serão abordados neste trabalho, ou seja, as principais componentes do GMCR, algumas representações matriciais de conceitos clássicos e, também, os conceitos de soluções que serão utilizados ao longo da pesquisa.

No Capítulo 3, são desenvolvidas representações matriciais para a estabilidade sequencial de ordem superior tanto para o caso bilateral, como para o caso multilateral. Apresentamos também os teoremas obtidos, especificando como as estabilidades, de acordo com essa noção, podem ser calculadas a partir das representações propostas. Adicionalmente, são apresentadas duas aplicações a fim de ilustrar o uso das representações matriciais propostas.

No Capítulo 4, apresentamos as representações matriciais relacionadas ao conceito de estabilidade  $\text{Maximin}_h$  para conflitos com dois e múltiplos DMs. As adaptações necessárias para lidar com conflitos em que considera-se a credibilidade da estabilidade  $\text{Maximin}_h$  também são

descritas neste capítulo. Ilustramos também as representações matriciais obtidas para representar o conceito de  $\text{Maximin}_h$  no conflito entre Sun Belt e o Governo da Colúmbia Britânica e no Dilema dos prisioneiros para  $n$  DMs.

No Capítulo 5, apresentamos os resultados obtidos acerca do trabalho que desenvolvemos para obter representações matriciais para a estabilidade do movimento limitado. Os teoremas apresentados, são referentes a adaptação da forma lógica deste conceito em representações matriciais. Com o intuito de auxiliar no entendimento da praticidade da forma matricial do  $L_h$ , ilustramos este conceito no conflito referente a seleção da tecnologia neurocientífica na China, consideradas nesse conflito e no Dilema dos prisioneiros considerando o horizonte  $h = 3$ . Além disso, analisamos os ciclos na estabilidade  $L_h$  e ilustramos essa análise cíclica utilizando os jogos da tabela periódica para jogos  $2 \times 2$ .

No Capítulo 6, são apresentadas as principais conclusões obtidas ao longo do desenvolvimento desta tese. Uma breve recapitulação sistemática dos resultados apresentados nos capítulos anteriores é realizada e, também, apresentamos as considerações finais e as sugestões para trabalhos futuros.

## 1.5 SUPORTE COMPUTACIONAL

O principal instrumento utilizado para a construção desta tese foi uma ferramenta de produção de textos matemáticos e científicos com elevada qualidade tipográfica conhecida como  $\text{\LaTeX}$ <sup>1</sup>. Foi utilizada uma versão online do  $\text{\LaTeX}$  oferecida pelo site Overleaf, facilitando a construção da tese em tempo real, já que o orientador, o co-orientador e a doutoranda encontravam-se em diferentes estados do Brasil, facilitando no trabalho remoto da tese. Também foi utilizado o software estatístico R<sup>2</sup> na construção dos algoritmos necessários para a representação matricial das estabilidades.

---

<sup>1</sup> Para mais informações e detalhes sobre o sistema de tipografia LATEX visitar <http://www.tex.ac.uk/CTAN/latex>

<sup>2</sup> (R Core Team, 2020)

## 2 REFERENCIAL TEÓRICO

Neste capítulo, serão apresentadas algumas definições importantes com o intuito de facilitar a compreensão dos resultados que apresentaremos nos próximos capítulos desta tese. Descrevemos os componentes básicos da GMCR, os conceitos de estabilidades mais usuais e, também, os conceitos de estabilidade  $m - SEQ$ , estabilidade  $Maximin_h$  e estabilidade  $L_h$ . Revisamos também algumas representações matriciais, de conceitos sobre o GMCR, que serão utilizadas ao longo deste trabalho.

### 2.1 GMCR

Os modelos de conflito consistem numa estrutura sistemática que visa captar as principais características de um conflito estratégico e podem ser utilizados para realizar análises de estabilidade com o intuito de identificar cenários estáveis que são candidatos a uma resolução de conflito viável (HIPEL; KILGOUR; FANG, 2011). De acordo com Hipel *et al.* (2011), podemos definir um conflito estratégico como um problema de decisão que envolve vários DMs, cada um dos quais apresenta preferências distintas relacionadas com possíveis cenários/estados que podem ocorrer no resultado final de um conflito.

A fim de definir uma metodologia mais abrangente e sistemática, Kilgour *et al.* em 1987, propuseram o Modelo de Grafos para Resolução de Conflitos (GMCR) em que a interação entre DMs é modelada através de possíveis movimentos e contra-movimentos que estes podem fazer.

O GMCR é formado por uma coleção de grafos direcionados, cada um representando as possíveis formas em que um DM pode alterar o estado do conflito numa única etapa. Todos estes grafos têm o mesmo conjunto de vértices que representam o conjunto de estados viáveis do conflito. Além destes grafos, são necessárias preferências relativas para cada DM sobre o conjunto de estados viáveis para medir o grau de satisfação dos DMs com cada possível estado do conflito (FANG; HIPEL; KILGOUR, 1993; FANG *et al.*, 2003a; XU *et al.*, 2018). Um estado é considerado estável para um DM se este preferir não se afastar dele, com base em alguma definição de estabilidade que acomoda um determinado comportamento que os DMs possam ter no decurso de um conflito.

A fim de fornecer as informações necessárias para compreender os resultados deste

documento, a definição formal do GMCR e dos conceitos de estabilidade relevantes serão apresentadas a seguir. Para uma visão mais detalhada sobre estes tópicos, consultar (KILGOUR; HIPEL; FANG, 1987; FANG; HIPEL; KILGOUR, 1989; FANG; HIPEL; KILGOUR, 1993; KILGOUR; HIPEL, 2005; HIPEL; KILGOUR; FANG, 2011).

Para descrever um conflito, através do GMCR, é necessário especificar os seus principais componentes. Neste modelo, o conjunto  $N$  representa os DMs atuantes no conflito, e as combinações possíveis de ações que podem ser tomadas pelos decisores são chamadas de estados viáveis e denotada pelo conjunto  $S$ . Outro componente do GMCR é uma coleção de grafos direcionados, denotados por  $D_i = (S, A_i)$ ,  $i \in N$ , onde o conjunto comum de nós dos grafos corresponde aos estados de  $S$ . Os arcos em  $A_i$  são utilizados para representar a relação de acessibilidade entre estados, eles especificam para quais estados o DM  $i$  pode mover-se de um determinado estado para outro. Esta relação de acessibilidade pode ser representada por meio de um conjunto de movimentos unilaterais (UMs), representados por  $R_i(s)$ , um estado pertence a este conjunto se for acessível ao decisor  $i$  a partir do estado  $s$  em um único movimento. Formalmente, este conjunto é definido como  $R_i(s) = \{s' \in S : (s, s') \in A_i\}$ .

No GMCR, as avaliações dos estados viáveis do conflito são representadas por uma estrutura de preferências. Na maioria dos trabalhos referentes ao GMCR, assume-se que a estrutura de preferências utilizada pelos DMs é uma relação binária assimétrica, denotada por  $\succ_i$ , onde  $s \succ_i s'$ , para  $i \in N$ , significa que DM  $i$  prefere estritamente o estado  $s$  ao  $s'$ .

A partir das relações de preferência estritas, pode-se derivar uma outra relação de preferência, denominada de preferência fraca, denotada por  $\gtrsim_i$ . Uma preferência fraca pode ser definida como a ausência da preferência estrita, em que  $s \gtrsim_i s'$  se  $s' \not\succ_i s$ , ou seja, se o DM  $i$  não prefere estritamente o estado  $s'$  ao estado  $s$ .

Uma vez definidas as preferências, podemos descrever um subconjunto do conjunto de UMs, denominado conjunto de melhoramento unilateral (UI). Este conjunto, representado por  $R_i^+(s)$ , contém apenas os estados em  $R_i(s)$  que podem ser alcançado através de movimentos de melhoria, realizados pelo DM  $i$  a partir do estado  $s$ , sendo esse conjunto formalmente definido como  $R_i^+(s) = \{s' \in R_i(s) : s' \succ_i s\}$ .

Na subseção seguinte, relembramos três definições de estabilidade que serão utilizadas nesta tese e também os casos clássicos usualmente utilizados na análise de estabilidade do GMCR.

## 2.2 CONCEITOS DE SOLUÇÕES NO GMCR

A análise de estabilidade verifica, para cada estado, quais DMs têm interesse em alterar ou não as suas ações. A fim de avaliar o interesse dos DMs em mover-se a partir de um estado, as definições de estabilidade apresentam vários critérios que visam capturar diferentes tipos de comportamentos que DMs podem adotar em situações de conflito. Neste capítulo, iremos apresentar definições de estabilidades mais comumente usadas na análise de estabilidade do GMCR. Além disso, também apresentaremos as estabilidades que estamos particularmente interessados nesta pesquisa, ou seja, que darão base para as representações matriciais desenvolvidas nesta tese.

Nesta tese, também iremos considerar conflitos multilaterais, isto é, conflitos com mais de dois DMs. Nesse tipo de conflito, os DMs podem antecipar o que a coalizão composta por seus oponentes pode fazer em resposta a um de seus movimentos. No GMCR, um conjunto não vazio de DMs é chamado de coalizão e, ao considerar quais estados podem ser alcançados por uma coalizão, restringe-se a sequência de movimentos para ser legal, onde uma sequência legal de movimentos é aquela em que os DMs podem se mover mais de uma vez, mas não duas vezes consecutivas.

Desta forma, para uma coalizão  $H \subseteq N$ , faz-se necessário definir dois outros conjuntos importantes,  $R_H(s)$  e  $R_H^+(s)$ . Uma sequência legal de movimentos realizadas por DMs em  $H$ , é uma sequência alternada de DMs e estados, ou seja, uma sequência da forma  $(s_0, i_1, s_1, \dots, i_{k+1}, s_{k+1})$ , em que  $s_0 = s$ ,  $i_j \in H$ ,  $i_{j+1} \neq i_j$  e  $s_{j+1} \in R_{i_{j+1}}(s_j)$  para  $j = 0, 1, 2, \dots, k$ . Uma UM para a coalizão  $H$ , a partir do estado  $s$ , é um estado final de uma sequência legal de movimentos realizadas por DMs em  $H$ , partindo de  $s$ . O conjunto de todas as UMs por  $H$  a partir de  $s$  é denotado por  $R_H(s)$ . De forma similar, pode-se definir o conjunto de UIs para a coalizão  $H$ , a partir do estado  $s$ , denotado por  $R_H^+(s)$ . Para isso, basta substituir  $R_{j+1}$  por  $R_{j+1}^+$  na definição do conjunto  $R_H(s)$ .

A seguir, apresentamos um exemplo, conhecido na literatura da teoria dos jogos como *"Dilema do Prisioneiro"* (AXELROD, 1984), a fim de ilustrar o comportamento dos tomadores de decisão em situações de conflito, além de apresentar os possíveis movimentos e contramovimentos feitos pelos DMs em conflitos estratégicos utilizando as análises de estabilidades.

O conflito consiste em dois indivíduos que são suspeitos de cometerem um crime

e são presos pela polícia. Porém, a polícia não tem provas suficientes para condená-los. Desta forma, a polícia decide separá-los em salas diferentes e propor a eles o mesmo acordo. O acordo é estabelecido da seguinte forma, como ilustrado na Figura 2.1.

**Figura 2.1 – Ilustração do problema do Dilema do prisioneiro**



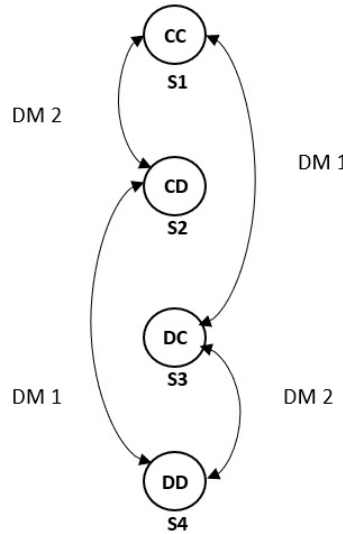
Adaptado - Foggion (2015)

- Se um deles cooperar (C) e o outro delatar (D), o traidor ficará livre e o cooperador, que ficou calado, receberá a pena de 10 anos de prisão;
- Se ambos cooperarem entre si, cada um dos presos receberá a pena de 6 meses de prisão;
- Se ambos traírem, ou seja, delatarem, cada um receberá a pena de 5 anos de prisão.

Neste jogo, os decisores possuem duas estratégias, formando um total de quatro possíveis cenários ou estados de decisão e pode ser representado por meio de modelo de grafo, em que as escolhas disponíveis para cada um dos DMs podem ser representadas utilizando nós e arcos. Na Figura 2.2 os estados de decisão são representados por  $s_1$  (CC),  $s_2$  ( CD),  $s_3$  (DC) e  $s_4$  (DD). A partir do modelo de grafos, podemos observar que DM 1 pode mudar sua decisão do estado CC para o estado DC, ou entre o estado CD e o estado DD. No caso do DM 2, ele pode usar sua estratégia para mudar do estado CC para o estado CD ou entre o estado de decisão DC e DD.

Os arcos que conectam os estados de decisão, ou seja, os nós  $s_1$  e  $s_3$  representam a possibilidade que o DM 1 tem de decidir a mudança do estado  $s_1$  (CC) para o estado  $s_3$  (DC) ou

**Figura 2.2 – Modelo de Grafos do conflito do dilema do prisioneiro**



vice-versa. O mesmo ocorre com as possibilidade de decisão do DM 2 com o movimento entre os estados de decisão  $s_2$  e  $s_4$ , representado pelos arcos que conectam os nós  $s_2$  e  $s_4$ .

A relação de preferência neste conflito para DM 1 é denotada por  $s_3(DC) \succ_1 s_1(CC) \succ_1 s_4(DD) \succ_1 s_2(CD)$  e para DM 2  $s_2(CD) \succ_2 s_1(CC) \succ_2 s_4(DD) \succ_2 s_3(DC)$ . Observe que o estado de decisão preferencial para o DM 1 é o estado  $s_3$  (DC), neste estado o DM 1 estará livre, pois não colaborou e o DM 2 receberá uma pena de 10 anos de prisão por ter cooperado. Para DM 2, o estado de decisão mais preferido é o estado  $s_2$  (CD) e o estado menos preferido é o estado  $s_3$  (DC).

A fim de analisar os conflitos estratégicos, iremos recordar as noções de estabilidade mais utilizadas na literatura do GMCR e as noções que iremos utilizar nesta tese. Para todas as noções de estabilidade, se algum estado é estável para todo DM, ele é chamado de equilíbrio de acordo com essa noção de estabilidade.

### Estabilidade de Nash

Intuitivamente, um estado é Nash (NASH, 1950) estável para o DM  $i$ , se este não pode se mover unilateralmente, a partir desse estado, para um outro estado que seja mais preferível. Denote por  $S_i^{NASH}$  o conjunto de todos os estados Nash estáveis para DM  $i$ .

**Definição 2.2.1 (NASH, 1950)** Seja  $i \in N$ , o estado  $s \in S$  é Nash estável (ou individualmente racional) ( $R$ ) para o DM  $i$  se, e somente se,  $R_i^+(s) = \emptyset$ .

No exemplo do Dilema do Prisioneiro, o estado  $s_3$  (DC) é Nash estável para DM

1, pois não há estado mais preferível que ele. O estado  $s_1$  (CC) é considerado Nash instável porque existe outro estado que é mais preferível e acessível para DM 1. Analisando todas as possibilidades de decisão para a estabilidade de Nash em relação a ambos os jogadores, vemos que o estado de decisão  $s_4$  (DD) é o único equilíbrio de Nash, já que nenhum DM pode se mover unilateralmente para um estado melhor do que o estado  $s_4$ . Todos os outros estados são Nash instáveis para pelo menos um DM, que sempre pode melhorar sua situação ao não cooperar com o outro DM, ou seja, delatando.

### Estabilidade Metarracionalidade Geral

No conceito de estabilidade metarracionalidade geral (*GMR*) (HOWARD, 1971), intuitivamente, o DM focal analisa seus possíveis movimentos de forma conservadora, considerando todas as possíveis reações aos seus movimentos, ignorando suas próprias possíveis contra-reações. O conjunto de todos os estados estáveis *GMR* para DM  $i$  é denotado por  $S_i^{GMR}$ .

**Definição 2.2.2 (HOWARD, 1971)** *Seja  $i \in N$ , o estado  $s \in S$  é GMR estável para o DM  $i$  se, e somente se, para todo  $s_1 \in R_i^+(s)$  existe  $s_2 \in R_{N-\{i\}}(s_1)$  tal que  $s \succsim_i s_2$ .*

No caso do Dilema do Prisioneiro, do estado  $s_1$ , o DM 1 tem um movimento de melhoria unilateral para o estado  $s_3$ . No entanto, DM 2 pode punir DM 1 passando do estado  $s_3$  para o estado  $s_4$ , que é menos preferível ao DM 1 do que o estado  $s_1$ . Assim, o estado  $s_1$  (CC) é GMR estável para DM 1. Por simetria, este estado também é GMR estável para DM 2, portanto um equilíbrio GMR. Analisando todos os estados, é possível concluir que os estados  $s_1$  e  $s_4$  são equilíbrios de acordo com o conceito GMR.

### Estabilidade Metarracionalidade Simétrica

Na noção de estabilidade Metarracional Simétrica (*SMR*) (HOWARD, 1971), intuitivamente, o DM focal considera não apenas seus próprios movimentos possíveis e as reações de seus oponentes a cada um desses movimentos, mas também sua própria contra-reação, sendo, portanto, uma definição de estabilidade mais restritiva do que a estabilidade metarracionalidade geral. O conjunto de todos os estados *SMR* estáveis para DM  $i$  é denotado por  $S_i^{SMR}$ .

Conforme este conceito, o DM focal tem a capacidade de analisar três movimentos à frente, enquanto que segundo o conceito da estabilidade metarracionalidade geral, observa apenas dois movimentos à frente e de acordo com o conceito de Nash, apenas um movimento à frente.

**Definição 2.2.3 (HOWARD, 1971)** *Seja  $i \in N$ , o estado  $s \in S$  é SMR para o DM  $i$  se, e somente se, para todo  $s_1 \in R_i^+(s)$  existe  $s_2 \in R_{N-\{i\}}(s_1)$  tal que  $s \succsim_i s_2$  e  $s \succsim_i s_3$ , para todo  $s_3 \in R_i(s_2)$ .*

Observando o conflito do Dilema do Prisioneiro, vemos que quando DM 1 se move do estado de decisão  $s_1$  para o estado  $s_3$ , o DM 2 pode reagir movendo-se do estado  $s_3$  para o estado  $s_4$ , onde o estado  $s_4$  não é preferível ao estado  $s_1$  pelo DM 1. Para escapar desta punição, o DM 1 só pode passar do estado  $s_4$  para o estado  $s_2$ , que também não é preferível ao estado  $s_1$  para DM 1. Assim, o estado  $s_1$  é SMR estável para o DM 1. O estado  $s_1$  também é SMR estável para o DM 2 e, consequentemente, um equilíbrio SMR, juntamente com o estado  $s_4$ . Vale a pena notar que em uma análise de estabilidade SMR, o DM focal deve considerar que seu adversário pode reagir se punindo com o intuito de forçar o DM focal a não se mover para um estado de decisão mais preferível.

### Estabilidade Sequencial

O conceito de estabilidade Sequencial (SEQ) (FRASER; HIPEL, 1979) é semelhantemente à noção GMR, porém segundo essa noção, as reações dos oponentes também são benéficas para eles, ou seja, assume-se que os movimentos dos oponentes do DM focal sejam credíveis. O conjunto de todos os estados SEQ estáveis para DM  $i$  é denotado por  $S_i^{SEQ}$ .

**Definição 2.2.4 (FRASER; HIPEL, 1979)** *Seja  $i \in N$ , o estado  $s \in S$  é sequencialmente estável (SEQ) para DM  $i$  se, e somente se, para todo  $s_1 \in R_i^+(s)$  existe  $s_2$  em  $R_{N-\{i\}}^+(s_1)$  tal que  $s \succsim_i s_2$ .*

No caso do Dilema do Prisioneiro, ao analisar a estabilidade SEQ do estado  $s_1$  para DM 1, vemos que ele tem um movimento de melhora unilateral para o estado  $s_3$ . Por outro lado, DM 2 tem um movimento de melhora unilateral do estado  $s_3$  para estado  $s_4$ , que é menos preferível do que o estado  $s_1$  por DM 1. Assim, o estado de decisão  $s_1$  (CC) é SEQ estável para DM 1 e, da mesma forma, SEQ estável para DM 2. Assim, o estado  $s_1$  é um equilíbrio SEQ. O estado  $s_4$  é Nash estável para ambos os jogadores e, consequentemente, também um equilíbrio sequencial.

## Estabilidade Sequencial Simétrica

A estabilidade sequencial simétrica (*SSEQ*) (RÊGO; VIEIRA, 2016) é um tipo de estabilidade sequencial, na qual o DM focal, ao planejar se mover, considera não apenas a reação de seus oponentes, mas também sua própria contra-reação. Vale a pena notar que a contra-reação não leva necessariamente a uma melhoria unilateral para o DM focal, mas sim que o estado resultante, após sua contra-reação, não seja melhor do que o estado inicial para que este último seja estável. O conjunto de todos os estados *SSEQ* estáveis para DM  $i$  é denotado por  $S_i^{SSEQ}$ .

**Definição 2.2.5 (RÊGO; VIEIRA, 2016)** *Seja  $i \in N$ , o estado  $s \in S$  é *SSEQ* para DM  $i$  se, e somente se, para todo  $s_1 \in R_i^+(s)$  existe  $s_2 \in R_{N-\{i\}}^+(s_1)$  tal que  $s \succsim_i s_2$  e  $s \succsim_i s_3$  para todo  $s_3 \in R_i(s_2)$ .*

Vamos observar agora a estabilidade *SSEQ* no caso do conflito do Dilema do Pioneiro. Podemos verificar um resultado semelhante ao *SEQ*, mas é necessário analisar a contra-resposta do DM 1. Portanto, o estado  $s_1$  do conflito (CC) também é *SSEQ* estável para DM 1 e DM 2 e, consequentemente, um equilíbrio *SSEQ*, já que os DMs não conseguem neutralizar a punição do oponente. Além disso, como o estado  $s_4$  (DD) é Nash estável, também é *SSEQ* estável. Através da análise de estabilidade, vemos que apenas os estados  $s_1$  e  $s_4$  são possíveis equilíbrios, sendo o estado  $s_4$  um equilíbrio de acordo com o maior número de conceitos de estabilidade.

## Estabilidade Sequencial de Ordem superior

Em 2020, Rêgo e Oliveira demonstraram que alguns equilíbrios *SEQ* dependem de DMs deixarem um estado estável de acordo com esse conceito para que possam sancionar o DM focal. A plausibilidade de tais equilíbrios *SEQ* é questionável, já que, de acordo com a essa noção, os DMs não devem sair de estados *SEQ* estáveis. Este tipo de sanção pode ser considerado não credível, ou seja, uma sanção que não será implementada pelos oponentes.

Para superar este problema, Rêgo e Oliveira (2020) propuseram uma nova família de conceitos de solução para conflitos bilaterais no GMCR, conhecida como higher-order sequential stabilities (estabilidades sequenciais de ordem superior), que essencialmente proíbe um DM de deixar um estado *SEQ* estável para sancionar o DM focal, fazendo com que tais sanções sejam

mais plausíveis. Eles mostraram também que as estabilidades sequenciais de ordem superior são refinamentos da estabilidade  $SEQ$  para conflitos bilaterais. Em 2023, Rêgo e Oliveira estenderam este conceito para o caso de conflitos multilaterais.

Intuitivamente, um estado  $s$  é sequencialmente estável de ordem  $m$ , denotado por  $m - SEQ$ , para um DM focal, se cada UI que possa ser realizada pelo DM focal, a partir do estado  $s$ , puder ser sancionada por uma sequência legal de UIs realizada pelos oponentes do DM focal, onde nenhum DM se move de um estado que é  $(m - 1) - SEQ$  estável para ele na sequência. Formalmente, seja  $S_i^{m-SEQ}$  o conjunto de todos os estados estáveis de  $m - SEQ$  para DM  $i \in N$ , onde  $1 - SEQ$  é o mesmo que a estabilidade  $SEQ$ .

Para recordarmos o conceito  $m - SEQ$ , necessitamos também relembrar um importante conjunto. Seja  $R_H^{+m}(s)$  o conjunto de estados alcançáveis pelos DMs em  $H$  através de uma sequência plausível de UIs a partir do estado  $s$ , em que uma sequência de UIs é legal se os DMs não puderem mover-se duas vezes consecutivas na sequência e é  $m$ -ordem plausível se nenhum DM deixar um estado que seja  $(m - 1) - SEQ$  estável para ele (RÊGO; OLIVEIRA, 2023). A noção de estabilidade  $m - SEQ$  para  $m \geq 2$  é definida indutivamente como se segue:

**Definição 2.2.6** (RÊGO; OLIVEIRA, 2020) *Para  $m \geq 2$ , o estado  $s \in S$  satisfaaz a  $m$ -ésima ordem da estabilidade sequencial para o DM  $i$  se, e somente se,  $\forall s_1 \in R_i^+(s)$ , existe  $s_2 \in R_{N-\{i\}}^{+m}(s_1)$  de tal forma que  $s \succsim_i s_2$ .*

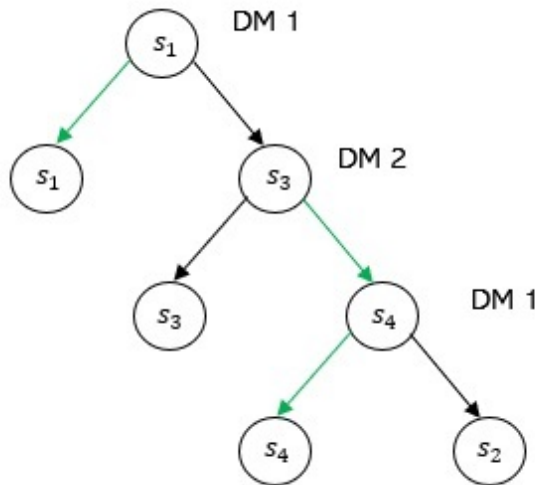
Rêgo e Oliveira (2020 e 2023) estabeleceram o resultado enunciado no Teorema 2.2.7 relativamente às implicações entre estabilidades  $m$ -SEQ para vários valores de  $m$ .

**Teorema 2.2.7** *Considere  $i \in N$  e dois inteiros positivos:  $m$  e  $m_1$ . Para  $m_1$  par, segue que  $S_i^{m_1-SEQ} \subseteq S_i^{m-SEQ}$ , para todo  $m_1 \leq m$ . Para  $m_1$  ímpar, segue que  $S_i^{m-SEQ} \subseteq S_i^{m_1-SEQ}$ , para todo  $m_1 \leq m$ .*

De acordo com a estabilidade  $m$ -SEQ, as sanções dos adversários não podem deixar um estado estável  $(m - 1)$ -SEQ para eles, onde  $1$ -SEQ é a estabilidade  $SEQ$  original. Assim, para verificar se um estado é  $2$ -SEQ para um DM, conhecido como o DM focal, é necessário verificar se todos os estados que ele pode alcançar e que são melhorias para ele, são  $SEQ$  estáveis para os adversários. Para verificar se um estado é  $SEQ$  estável para um DM, analisa-se o conflito dois passos à frente, o movimento inicial e as possíveis sanções. Assim, devem ser considerados três movimentos para a estabilidade  $2$ -SEQ: o movimento inicial do DM focal e os dois movimentos para analisar se as sanções dos adversários partem de estados  $SEQ$  para eles ou não. Este número

de movimentos e contra-movimentos é designado por horizonte. Assim, por indução, pode ver-se que para analisar a estabilidade  $m$ -SEQ é necessário considerar um horizonte igual a  $m + 1$ . Como o horizonte de conflito depende de  $m$ , a estabilidade sequencial de ordem superior é um conceito de estabilidade de horizonte variável.

**Figura 2.3 – Árvore de decisão do DM 1 a partir de  $s_1$  - 3-SEQ**



Iremos utilizar árvore de decisão (Figura 2.3), para analisar a estabilidade 3-SEQ no conflito do Dilema dos Prisioneiros. Observe que a última etapa corresponde a estabilidade sequencial de primeira ordem, a antepenúltima será a de segunda ordem e assim por diante, ou seja, a ordem é analisada de trás para a frente.

Analisando a estabilidade 3-SEQ no conflito do Dilema dos Prisioneiros, vemos que na ordem 1 o DM 1 tem a escolha de permanecer no estado  $s_4$  ou mover-se para o estado  $s_2$ , como  $s_4$  é mais preferível para o DM 1 do que o estado  $s_2$ , ele preferirá permanecer em  $s_4$ . Logo, o estado  $s_4$  é Nash e, consequentemente, 1-SEQ para o DM 1. No passo anterior, como  $s_4$  é melhor que  $s_3$  para o DM 2 e  $s_4$  é 1-SEQ para o DM 1, temos que  $s_3$  não é 2-SEQ para o DM 2. Finalmente, no passo inicial, apesar de  $s_3$  ser melhor que  $s_1$  para o DM 1, como  $s_3$  não é 2-SEQ para o DM 2, o DM 2 prefere sair de  $s_3$  para  $s_4$  e  $s_4$  é pior que  $s_1$  para o DM 1, temos que  $s_1$  é 3-SEQ para o DM 1.

### Estabilidade do Movimento Limitado com horizonte $h$

O conceito de estabilidade movimento limitado com horizonte  $h$ , denotado por  $L_h$ , é uma noção na qual é permitido realizar vários movimentos de reações e contra-reações, por parte dos decisores que estão envolvidos em um determinado conflito. Neste conceito de estabilidade,

o DM focal antecipa,  $h$  passos à frente, qual será o cenário final do conflito, considerando que os decisores mudam sempre as suas ações para chegar ao melhor cenário possível para eles, fazendo-se necessário o conhecimento prévio sobre as preferências dos DMs envolvidos no conflito. Nesta tese, focaremos em recordar a definição do conceito  $L_h$  somente para o caso de dois DMs, pois as definições existentes para o caso de  $n$  DMs não serão abordadas neste trabalho.

Neste conceito, assume-se que as preferências são completas, transitivas, e assimétricas em  $S$ . Para podermos recordar esse conceito, seja  $K_i(s)$  a cardinalidade do conjunto de estados que são piores do que o estado  $s$  para o DM  $i$ , ou seja,  $K_i(s) = |\{s' \in S : s \succ_i s'\}|$ . Seja  $G_h(i, s) \in S$ ,  $i \in N$ , o estado que DM  $i$  acredita que será o estado final do conflito, considerando um horizonte  $h$ , quando o conflito inicia-se no estado  $s$  e o DM  $i$  se move primeiro neste estado e os DMs alternam movimentos. Neste conceito, assume-se, por convenção, que  $G_0(\cdot, s) = s$  e o estado  $G_h(i, s)$ , para  $h \geq 1$  é construído indutivamente da seguinte forma:

$$G_h(i, s) = \begin{cases} s, & \text{se } R_i(s) = \emptyset \\ s, & \text{se } K_i(s) \geq A_h(i, s) \\ G_{h-1}(j, M_h(i, s)), & \text{caso contrário,} \end{cases}$$

em que  $M_h(i, s)$  é algum estado  $s'_1 \in R_i(s)$  que satisfaz  $K_i(G_{h-1}(j, s'_1)) = \max\{K_i(G_{h-1}(j, s_1)) : s_1 \in R_i(s)\}$ ,  $j \neq i$ , e  $A_h(i, s) = K_i(G_{h-1}(j, M_h(i, s)))$ .

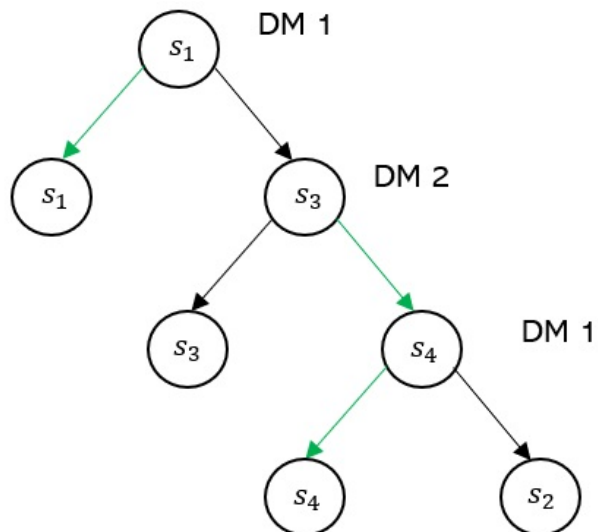
Em outras palavras, podemos intuir que  $G_h(i, s)$ , o estado antecipado pelo DM  $i$  quando este se move primeiro no estado  $s$ , considerando um horizonte  $h$ , será igual a  $s$  caso  $i$  não possa se afastar de  $s$ , ou se  $s$  for pelo menos tão bom quanto o melhor estado  $G_{h-1}(j, M_h(i, s))$  que pode ser antecipado com o horizonte  $h - 1$ . Esse melhor estado é aquele alcançável pelo DM  $i$  ao se afastar do estado  $s$ , considerando que seu oponente se move posteriormente dentro do horizonte  $h - 1$ . Caso contrário, temos que  $G_h(i, s) = G_{h-1}(j, M_h(i, s))$ .

No conceito de estabilidade  $L_h$ , assume-se que é de conhecimento comum entre os DMs que eles realizam movimentos que sejam benéficos para si mesmo, em cada horizonte  $h'$  menor que  $h$  e, para isto, é necessário considerar que ambos os DMs conheçam as preferências um do outro. Formalmente, o conceito  $L_h$  para o caso de conflitos bilaterais é apresentado a seguir:

**Definição 2.2.8 (KILGOUR, 1985)** Um estado  $s \in S$  é estável de acordo com o conceito movimento limitado com horizonte  $h$  ( $L_h$ ) para DM  $i \in N$  se, e somente se,  $G_h(i, s) = s$ .

Vamos analisar o Dilema dos prisioneiros com a estabilidade do movimento limitado considerando um horizonte de 3 passos, ou seja,  $h = 3$ . Para facilitar a compreensão, utilizaremos uma árvore de decisão e realizaremos a análise por indução reversa. Primeiramente, observe o que ocorre com o estado  $s_1$ , quando o DM 1 antecipa os próximos 3 passos em relação ao estado final do conflito, levando em conta que ele tem conhecimento das preferências dos DMs envolvidos. A árvore de decisão correspondente é mostrada na Figura 2.4.

**Figura 2.4 – Árvore de decisão do DM 1 a partir de  $s_1 - L_3$**



No último passo, o DM deve escolher entre permanecer em  $s_4$  ou mover-se para  $s_2$ . Como  $s_4 \succ_i s_2$ , ele optará por permanecer em  $s_4$ . No passo anterior, como  $s_4$  é preferível a  $s_3$  para o DM 2, temos que o DM 2 sairá de  $s_3$  para  $s_4$ . Finalmente, no estado inicial  $s_1$ , como  $s_1$  é melhor que  $s_4$  para o DM 1, temos que o DM 1 irá permanecer em  $s_1$ . Logo, podemos concluir que o estado  $s_1$  (CC) é estável no movimento limitado para  $h = 3$ . Além disso, como o estado  $s_4$  (DD) é estável em Nash, ele também é estável em  $L_3$ .

## Estabilidade Maximin<sub>h</sub>

Proposta por Wald (1945), a regra de decisão maximin escolherá a ação que, na pior das hipóteses, proporciona a melhor consequência possível. Ou seja, o decisivo observará qual seria a pior consequência que poderia obter em relação a cada uma das suas possíveis ações e, diante disso, escolherá a ação que, na pior das hipóteses, lhe oferece a melhor consequência. Na Teoria dos Jogos (NEUMANN; MORGENSTERN, 2007), o caso em que ambos os jogadores escolhem simultaneamente uma estratégia que consegue o melhor retorno no pior caso, mas que

não permite o comportamento prospectivo dos DMs chama-se equilíbrio maximin.

Rêgo e Vieira em 2019, inspirados na regra de decisão maximin, propuseram uma nova noção de estabilidade dentro do GMCR, chamada estabilidade  $\text{Maximin}_h$ . Este conceito é inspirado na noção de estabilidade movimento limitada ( $L_h$ ) (KILGOUR, 1985) e pode ser útil em situações em que os DMs agem cautelosamente, ou seja, quando não possuem necessariamente conhecimento das preferências dos seus oponentes.

Além de não requerer conhecimento sobre as preferências dos adversários, a estabilidade  $\text{Maximin}_h$  proporciona algumas vantagens interessantes, pois é flexível no que diz respeito ao horizonte do conflito, e fornece conhecimentos a outros conceitos de solução comumente utilizados na literatura da GMCR, uma vez que alguns destes são equivalentes a casos especiais da estabilidade  $\text{Maximin}_h$ .

Considere um modelo grafo com dois DMs, digamos  $i$  e  $j$ , de modo que quando DM  $i$  analisa o conflito considerando um horizonte  $h$ , ele acredita que DM  $j$  se deslocará para o pior cenário possível em relação ao DM  $i$ , admitindo que DM  $i$  se deslocará sempre para o melhor cenário possível considerando um horizonte  $h' < h$ .

Uma vez que de acordo com a estabilidade  $\text{Maximin}_h$  o DM focal, prevê o conflito  $h$  passos à frente, é também necessário definir o estado que ela acredita que será o estado final do conflito após  $h$  movimentos. Seja  $G_h^i(j, s) \in S, i, j \in N$  o estado final antecipado pelo DM  $i$ , com um movimento inicial de DM  $j$  a partir do estado  $s$  considerando um horizonte  $h$ . Por convenção, assume-se que  $G_0^i(\cdot, s) = s$  e, o estado  $G_h^i(i, s)$ , é formalmente definido indutivamente, como:

$$G_h^i(i, s) = \begin{cases} s, & \text{se } R_i(s) = \emptyset \\ s, & \text{se } K_i(s) \geq A_h^i(i, s) \\ G_{h-1}^i(j, M_h^i(i, s)), & \text{caso contrário,} \end{cases} \quad (2.1)$$

em que  $M_h^i(i, s)$  é algum estado  $s'_1 \in R_i(s)$  que satisfaz  $K_i(G_{h-1}^i(j, s'_1)) = \max\{K_i(G_{h-1}^i(j, s_1)) : s_1 \in R_i(s)\}, j \neq i$ , e  $A_h^i(i, s) = K_i(G_{h-1}^i(j, M_h^i(i, s)))$ .

Além disso,  $G_h^i(j, s)$  é definido da forma:

$$G_h^i(j, s) = \begin{cases} s, & \text{se } R_j(s) = \emptyset \\ s, & \text{se } K_i(s) \leq A_h^i(j, s) \\ G_{h-1}^i(i, M_h^i(j, s)), & \text{caso contrário,} \end{cases} \quad (2.2)$$

em que  $M_h^i(j, s)$  é algum estado  $s'_1 \in R_j(s)$  que satisfaz  $K_i(G_{h-1}^i(i, s'_1)) = \min\{K_i(G_{h-1}^i(i, s_1)) : s_1 \in R_j(s)\}$ ,  $j \neq i$ , e  $A_h^i(j, s) = K_i(G_{h-1}^i(i, M_h^i(j, s)))$ .

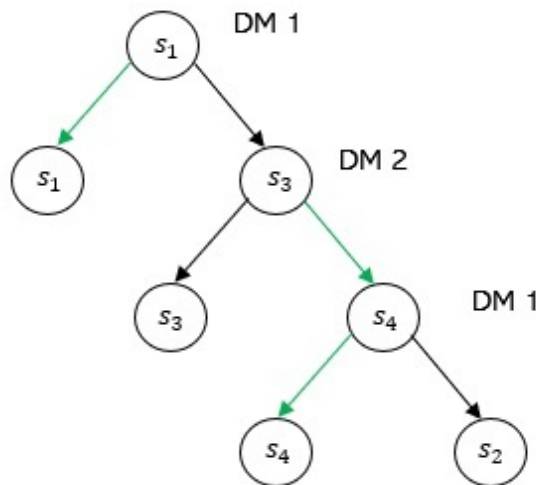
Assim, a definição formal da estabilidade  $\text{Maximin}_h$  é a seguinte:

**Definição 2.2.9 (RÊGO; VIEIRA, 2019)** Para qualquer inteiro positivo  $h$ , o estado  $s \in S$  é maximin estável com horizonte  $h$  ( $\text{Maximin}_h$ ) para  $DM$  i se, e somente se,  $G_h^i(i, s) = s$ .

No caso de conflitos multilaterais, a estabilidade  $\text{Maximin}_h$  é definida de forma semelhante ao caso bilateral. A única alteração necessária é a substituição do conjunto  $R_j$  por  $R_{N-i}$  (RÉGO; VIEIRA; KILGOUR, 2022).

Diferentemente do  $L_h$ , onde todos os DMs buscam maximizar suas preferências, no caso do  $\text{Maximin}_h$ , quando o DM 2 faz sua escolha, ele não leva em conta suas próprias preferências. Em vez disso, ele minimiza as preferências do DM 1, que está tentando maximizar suas próprias escolhas. Note que o DM 2 tem a opção de permanecer em  $s_3$ , o que maximiza o resultado para o DM 1, ou mover-se para  $s_4$ , que minimiza esse resultado. Como resultado, o DM 2 opta por se mover para o estado  $s_4$ . Em seguida, o DM 1 deve decidir entre permanecer no estado  $s_1$  ou migrar para  $s_3$ , antecipando que o conflito irá acabar em  $s_4$ . Como  $s_1$  é preferível a  $s_4$  para o DM 1, o DM 1 prefere ficar em  $s_1$ . Isso torna o estado  $\text{Maximin}_3$  estável para o DM 1. Temos também que o estado  $s_4$  (DD) é um equilíbrio de Nash, o que confirma a estabilidade do  $\text{Maximin}_3$  (Figura 2.5).

**Figura 2.5 – Árvore de decisão do DM 1 a partir de  $s_1$  - Maximin<sub>3</sub>**



## Estabilidade Maximin<sub>h</sub> Credível

Mais recentemente, Rêgo *et al.* em 2022 propuseram três variações do conceito de estabilidade Maximin<sub>h</sub>, denominado maximin credível. Estas variações diferem entre si pela possibilidade do DM focal ou seus oponentes adotarem apenas movimentos credíveis, ao analisar o conflito de acordo com o conceito Maximin<sub>h</sub>. Essas variações generalizam, para horizontes variáveis, as estabilidades sequencial e sequencial simétrica. A seguir, recordaremos, brevemente, essas variações da estabilidade Maximin<sub>h</sub>.

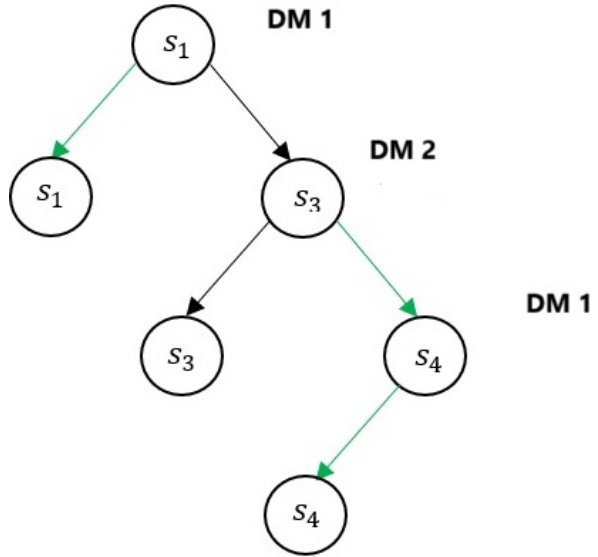
### Estabilidade Maximin com DM Focal Credível

Neste conceito de estabilidade, o DM focal, ao analisar a estabilidade de um estado de acordo com a noção Maximin<sub>h</sub>, não pode fazer movimentos unilaterais que não sejam melhorias unilaterais. Dessa forma, o estado antecipado pelo DM  $i$ , quando ele se move primeiro no estado  $s$  e o conflito é analisado  $h$  passos à frente, denotado por,  $G_h^{i,Fc}(i, s)$ , em que  $Fc$  representa que o DM focal realiza somente movimentos de melhorias unilaterais, é definido de maneira análoga ao estado  $G_h^i(i, s)$ , sendo que a única diferença necessária é substituir  $R_i(s)$  por  $R_i^+(s)$  na definição do estado  $G_h^i(i, s)$  apresentada na Equação 2.1. Além disso, assumindo que  $N - \{i\} = N_i$ , o estado  $G_h^{i,Fc}(N_i, s)$  é definido exatamente da mesma que o estado  $G_h^i(N_i, s)$ , apresentado na Equação 2.2. Formalmente, um estado maximin com DM focal credível estável é definido da seguinte maneira:

**Definição 2.2.10** (*RÊGO; VIEIRA; KILGOUR, 2022*) *Para qualquer inteiro positivo  $h$ , o estado  $s \in S$  satisfaz a estabilidade maximin com DM focal credível com horizonte  $h$  ( $Maximin^c(h)$ ) para DM  $i \in N$ , se, e somente se,  $G_h^{i,Fc}(i, s) = s$ .*

Observe que, na Figura 2.6 o DM 1 não pode fazer movimentos unilaterais que não sejam melhorias unilaterais. Portanto, em  $s_4$ , o DM 1 só tem a opção de permanecer em  $s_4$ . Logo, de forma análoga à análise para o conflito do Dilema dos prisioneiros para a estabilidade Maximin<sub>3</sub>, temos que para  $h = 3$  o estado  $s_1$  (CC) é Maximin<sub>3</sub> com DM Focal Credível estável e  $s_4$  (DD) é Nash estável, logo Maximin<sub>3</sub> com DM Focal Credível estável. A análise é semelhante para as estabilidades Maximin<sub>3</sub> com Oponente Credível e Total Credível.

**Figura 2.6 – Árvores de decisão do DM 1 - Maximin<sub>3</sub><sup>c</sup> - DM Focal**



Estabilidade Maximin<sub>h</sub> com Oponente Credível

Em situações em que os oponentes do DM focal podem realizar apenas melhorias unilaterais, ao analisar a estabilidade de um estado de acordo com a noção Maximin<sub>h</sub>, denotamos o estado antecipado pelo DM  $i$ , quando ele se move primeiro no estado  $s$  e o conflito é analisado  $h$  passos à frente, por  $G_h^{i,Oc}(i, s)$ , em que  $Oc$  representa o oponente, que também é definido de maneira análoga ao estado  $G_h^i(i, s)$ , sendo necessário realizar uma substituição do  $R_{N_i}(s)$  por  $R_{N_i}^+(s)$  na definição do estado  $G_h^i(N_i, s)$  apresentada na Equação 2.2. Ademais, o estado  $G_h^{i,Oc}(i, s)$  é definido semelhantemente ao estado  $G_h^i(i, s)$ , apresentado na Equação 2.1. A definição da estabilidade maximin com oponente credível é apresentada formalmente a seguir.

**Definição 2.2.11 (RÊGO; VIEIRA; KILGOUR, 2022)** *Para qualquer inteiro positivo  $h$ , o estado  $s \in S$  satisfaz a estabilidade maximin com oponente credível com horizonte  $h$  (CMaximin( $h$ )) para DM  $i \in N$ , se e somente se  $G_h^{i,Oc}(i, s) = s$ .*

Estabilidade Maximin<sub>h</sub> Credível Total

Neste conceito de solução, todos os DMs não podem fazer movimentos unilaterais que não sejam melhorias unilaterais para eles. Conforme a noção de estabilidade Maximin<sub>h</sub>,  $G_h^{i,Tc}(i, s)$  denota o estado antecipado pelo DM  $i$ , quando ele se move primeiro no estado  $s$  e o conflito é analisado  $h$  passos à frente. Ele é definido de forma semelhante ao estado  $G_h^i(i, s)$ , sendo que a única diferença necessária é substituir  $R_i(s)$  por  $R_i^+(s)$  na definição do estado  $G_h^i(i, s)$  apresentada na Equação 2.1. Temos também que, o estado  $G_h^{i,Tc}(N_i, s)$  é definido exatamente da

mesma forma que o estado  $G_h^i(N_i, s)$ , apresentado na Equação 2.2, exceto pela substituição do  $R_{N_i}(s)$  por  $R_{N_i}^+(s)$ . A definição formal de estabilidade maximin credível total pode ser observada na definição a seguir.

**Definição 2.2.12** (RÉGO; VIEIRA; KILGOUR, 2022) *Para qualquer inteiro positivo  $h$ , o estado  $s \in S$  satisfaz a estabilidade maximin credível total com horizonte  $h$  ( $C\text{Maximin}^c(h)$ ) para DM  $i \in N$ , se somente se  $G_h^{i,Tc}(i, s) = s$ .*

## 2.3 ALGUMAS REPRESENTAÇÕES MATRICIAIS DE CONCEITOS DE ESTABILIDADE NO GMCR

A representação matricial não elimina a necessidade de buscas exaustivas em problemas complexos, mas proporciona uma base sólida para realizar essa análise de forma mais eficiente, organizada e visualmente comprehensível. Isso a torna uma ferramenta indispensável na modelagem e solução de problemas de decisão e teoria dos jogos.

Em Xu (2007 e 2008), são propostos métodos matriciais para se determinar estabilidade de acordo com alguns dos conceitos clássicos de solução no GMCR com dois e múltiplos DMs, respectivamente. Estes resultados matriciais auxiliam na utilização de códigos computacionais para determinar estabilidades de estados mais rapidamente, sendo cruciais para a análise de conflitos com numerosos DMs ou estados. Recordamos, a seguir, algumas dessas representações, que serão importantes para o desenvolvimento de resultados desta tese.

Em 2007, Xu *et al.* definiram duas matrizes para expressar as acessibilidades e melhorias unilaterais dos DMs. Essas matrizes são chamadas de matriz de acessibilidade, denotada por  $J_i$ , e a matriz de melhoria unilateral, denotada por  $J_i^+$ . Formalmente,  $J_i$  e  $J_i^+$  são matrizes 0 – 1, de ordem  $|S|$ , cujas entradas  $(s, s')$  são definidas, respectivamente, como se segue:

$$J_i(s, s') = \begin{cases} 1 & \text{se } s' \in R_i(s) \\ 0 & \text{caso contrário,} \end{cases} \quad (2.3)$$

e

$$J_i^+(s, s') = \begin{cases} 1 & \text{se } J_i(s, s') = 1 \text{ e } s' \succ_i s, \\ 0 & \text{caso contrário.} \end{cases} \quad (2.4)$$

Note que na matriz  $J_i$  (resp.  $J_i^+$ ) a entrada  $(s, s')$  recebe o valor 1 se o estado  $s'$  for unilateralmente alcançável (resp. uma melhoria unilateral) a partir do estado  $s$  pelo DM  $i$ . Caso contrário, a entrada de  $(s, s')$  da matriz  $J_i$  (resp.  $J_i^+$ ) recebe o valor 0.

Diversas matrizes relacionadas as representações das preferências dos DMs também foram propostas por Xu *et al.* em 2007. A matriz de preferências estritas, denotada por  $P_i^+$ , é uma matriz de ordem  $|S|$  cujo elemento  $(s, s')$  é:

$$P_i^+(s, s') = \begin{cases} 1 & \text{se } s' \succ_i s, \\ 0 & \text{caso contrário.} \end{cases} \quad (2.5)$$

Enquanto isso, as matrizes de menor preferência ( $P_i^-$ ) e indiferença ( $P_i^=$ ) são definidas da seguinte forma por:

$$P_i^-(s, s') = \begin{cases} 1 & \text{se } s \succ_i s', \\ 0 & \text{caso contrário.} \end{cases} \quad (2.6)$$

$$P_i^=(s, s') = \begin{cases} 1 & \text{se } s \sim_i s', \\ 0 & \text{caso contrário.} \end{cases} \quad (2.7)$$

Por meio da matriz  $P_i^+$ , define-se a matriz de preferências não estrita,  $P_i^{-,=}$ , cujo elemento  $(s, s')$  é dado por:

$$P_i^{-,=}(s, s') = 1 - P_i^+(s, s'). \quad (2.8)$$

Esta definição de  $P_i^{-,=}$  foi proposta por Rêgo e Vieira (2021), pois a definição original dada por Xu em 2007 fazia com que os elementos da diagonal principal de  $P_i^{-,=}$  fossem nulos, podendo não representar corretamente as definições de estabilidades lógicas se os oponentes puderem sancionar o DM focal regressando ao estado original.

Podemos também relacionar as definições das matrizes UM ( $J_i$ ) e UI ( $J_i^+$ ) e a matriz de preferência ( $P_i^+$ ), esta relação é dada por:

$$J_i^+ = J_i \circ P_i^+, \quad (2.9)$$

em que  $\circ$  é o produto Hadamard, ou seja,  $J_i^+(s, s') = J_i(s, s')P_i^+(s, s')$ .

Outra matriz utilizada em Xu *et al.* em 2007 é a matriz sinal, denotada por  $sinal(\cdot)$ . Seja  $W$  uma matriz de ordem  $|S|$ , desta forma,  $sinal(W)$  é uma matriz de ordem  $|S|$  tal que a entrada  $(s, s')$  é:

$$sinal[W](s, s') = \begin{cases} 1 & \text{se } W(s, s') > 0, \\ 0 & \text{se } W(s, s') = 0, \\ -1 & \text{se } W(s, s') < 0. \end{cases} \quad (2.10)$$

Da mesma forma, ao aplicar a função sinal,  $sinal(\cdot)$ , a um número real  $y$ , o resultado será -1, 0 ou 1, dependendo se  $y$  for menor que 0, igual a 0, ou maior que 0, respectivamente.

Ao lidar com conflitos com múltiplos DMs, Xu *et al.* em 2008 forneceram representações matriciais que correspondem aos conjuntos de estados alcançáveis através de uma sequência legal de UMs,  $R_H$ , ou UIs,  $R_H^+$ . As matrizes com estes objetivos, indicadas respectivamente por  $J_H$  (matriz de movimentos conjuntos) e  $J_H^+$  (matriz de melhoramento conjunto), são matrizes de ordem  $|S|$  tais que suas entradas  $(s, s')$  são definidas da seguinte forma:

$$J_H(s, s') = \begin{cases} 1 & \text{se } s' \in R_H(s), \\ 0 & \text{caso contrário} \end{cases} \quad (2.11)$$

e

$$J_H^+(s, s') = \begin{cases} 1 & \text{se } s' \in R_H^+(s), \\ 0 & \text{caso contrário.} \end{cases} \quad (2.12)$$

Xu *et al.* em 2008 mostraram que as matrizes  $J_H$  e  $J_H^+$  podem ser calculadas a partir das matrizes  $J_i$  e  $J_i^+$ , respectivamente. Para isso, assuma que  $Z_1$  e  $Z_2$  sejam matrizes 0 – 1 de ordem  $|S|$  e que  $Z = Z_1 \vee Z_2$  seja uma matriz tal que a sua entrada  $(s, s')$  seja definida da seguinte forma:

$$Z(s, s') = \begin{cases} 1 & \text{se } Z_1(s, s') + Z_2(s, s') \neq 0 \\ 0 & \text{caso contrário.} \end{cases} \quad (2.13)$$

Seja  $\delta = |\cup_{i \in N} \cup_{s \in S} R_i(s)|$  (resp.  $\delta^+ = |\cup_{i \in N} \cup_{s \in S} R_i^+(s)|$ ) um limite superior para o número de movimentos legais necessários para obter todos os estados em alguma lista  $R_H(s)$ ,

para qualquer  $s \in S$ , (resp.  $R_H^+(s)$ ), e seja  $J_{i,H}^r$  (resp.  $J_{i,H}^{r,+}$ ) a matriz com entrada  $(s, s')$  igual a 1 se o DM  $i$  faz o primeiro movimento e  $s'$  é alcançável a partir do estado  $s$  em exatamente  $r \geq 1$  movimentos legais (resp.  $r$  movimentos legais de melhoria unilateral) de DMs em  $H$ ; caso contrário, ela é igual a 0. Assim, segue-se que:

$$J_{i,H}^r = \text{sinal} \left( J_i \cdot \left( \bigvee_{j \in H-i} J_{j,H}^{(r-1)} \right) \right) \quad (2.14)$$

e

$$J_{i,H}^{r,+} = \text{sinal} \left( J_i^+ \cdot \left( \bigvee_{j \in H-i} J_{j,H}^{(r-1,+)} \right) \right), \quad (2.15)$$

em que  $J_{i,H}^1 = J_i$  e  $J_{i,H}^{1,+} = J_i^+$ . Desta forma, Xu et al. (XU; HIPEL; KILGOUR, 2008) estabeleceram que

$$J_H = \bigvee_{r=1}^{\delta} \bigvee_{i \in H} J_{i,H}^{(r)} \quad (2.16)$$

e

$$J_H^+ = \bigvee_{r=1}^{\delta^+} \bigvee_{i \in H} J_{i,H}^{(r,+)}. \quad (2.17)$$

Em Xu et al. (2008), há exemplos de como as matrizes  $J_{i,H}^r$ ,  $J_{i,H}^{r,+}$ ,  $J_H$  e  $J_H^+$  podem ser calculadas.

Por fim, as representações matriciais também fazem uso de uma matriz quadrada de ordem  $|S|$  com todas entradas iguais a 1, denotada por  $E$ . Vale ressaltar também que  $e_k$  é um vetor coluna  $|S|$ -dimensional com o  $k$ -ésimo elemento igual a 1 e todos os outros elementos iguais a zero.

## 2.4 CONCEITOS CLÁSSICOS: REPRESENTAÇÃO MATRICIAL

Apresentaremos, a matriz de conceitos de solução (MRSC) de alguns casos clássicos fortemente conhecidos na literatura para conflitos bilaterais. O método MRSC, incorpora um conjunto de matrizes de ordem  $|S|$ ,  $M_i^{Nash}$ ,  $M_i^{GMR}$ ,  $M_i^{SMR}$ ,  $M_i^{SEQ}$  e  $M_i^{SSEQ}$ . As quatro primeiras formas matriciais dos conceitos que serão apresentadas a seguir, foram obtidas por (XU et al.,

2018) e (XU *et al.*, 2019). A quinta forma matricial foi proposta em (RÊGO; VIEIRA, 2021). Nesses trabalhos são apresentadas as devidas provas desses resultados.

1. Matriz Nash:  $M_i^{Nash} = J_i^+ E$
2. Matriz GMR:  $M_i^{GMR} = J_i^+ [E - \text{sinal}(J_j(P_i^{-,=})^\top)] \quad j \in N, j \neq i$
3. Matriz SMR:  $M_i^{SMR} = J_i^+ [E - \text{sinal}(J_j[(P_i^{-,=})^\top \circ (E - \text{sinal}(J_i(P_i^+))^\top)])] \quad j \in N, j \neq i$
4. Matriz SEQ:  $M_i^{SEQ} = J_i^+ [E - \text{sinal}(J_j^+(P_i^{-,=})^\top)] \quad j \in N, j \neq i$
5. Matriz SSEQ:  $M_i^{SSEQ} = J_i^+ [E - \text{sinal}(J_j^+[(P_i^{-,=})^\top \circ (E - \text{sinal}(J_i(P_i^+))^\top)])] \quad j \in N, j \neq i$

Para  $X \in \{Nash, GMR, SMR, SEQ, SSEQ\}$ , o estado  $s$  satisfaz a estabilidade  $X$  para o DM  $i$  se e somente se  $M_i^X(s, s) = 0$ .

No caso da matriz Nash, a multiplicação entre essas matrizes retorna uma matriz tal que seu elemento  $(s, s')$ ,  $M_i^{Nash}(s, s')$ , é igual a linha  $s$  da matriz  $J_i^+$  multiplicada pela coluna  $s$  dessa matriz  $E$  que é uma coluna de 1's. Ou seja, estamos somando todos os elementos da linha  $s$  da matriz  $J_i^+$  (melhorias unilaterais). Então, estamos somando a quantidade de estados acessíveis e melhores que  $s$ , logo, ele será Nash se esta soma for nula.

Na  $M_i^{GMR}$  estamos deixando de somar o valor resultante do sinal entre  $J_j$  e  $(P_i^{-,=})^\top$ , significando que o  $j$  consegue acessar um estado que não é preferível para o DM  $i$ . Quando o DM  $j$  consegue acessar um estado que seja pior ou igual para o DM  $i$ , essa matriz sinal será 1. Ou seja, é uma retaliação, então mesmo que o DM  $i$  tenha uma melhoria do estado  $s$  para o estado  $s'$ , a partir de  $s'$ , o DM  $j$  vai levar o conflito para um cenário pior ou igual para o DM  $i$ . Desta forma, a melhoria de  $s$  para  $s'$  não entra na soma dos elementos com a  $J_i^+$ . No caso do SMR, o último termo está capturando justamente as suas próprias contra-reações e a matriz SEQ é semelhante ao GMR, a única diferença é que ele consegue capturar que o DM  $j$  só se move para estados de melhorias para ele.

No caso de conflitos multilaterais, basta usar as matrizes  $J_{N-\{i\}}$  e  $J_{N-\{i\}}^+$  no lugar de  $J_j$  e  $J_j^+$ , respectivamente.

No capítulo a seguir fornecemos representações matriciais para obtenção de estabilidades de acordo com a noção sequencial de ordem superior no modelo de grafos para resolução de conflitos, em casos bilaterais e multilaterais. Também fornecemos aplicações para ilustrar a utilidade das representações obtidas.

### 3 REPRESENTAÇÃO MATRICIAL DAS ESTABILIDADES SEQUENCIAIS DE ORDEM SUPERIOR NO MODELO GRAFO PARA RESOLUÇÃO DE CONFLITOS

#### 3.1 INTRODUÇÃO

Na estabilidade SEQ, ao considerar a mudança para um estado mais preferido, o DM prevê se o oponente pode reagir levando o conflito a um estado menos preferível do que o atual, desde que a reação do oponente também beneficie a ele. No entanto, existem situações em que, para realizar tal reação, o oponente deve deixar um estado SEQ estável para ele, o que torna essa ameaça não credível.

O exemplo a seguir ilustra um cenário de análise do conceito SEQ, focando na reação ao DM focal relacionado à situação em que o adversário sai de um estado que é SEQ para ele mesmo não sendo Nash estável.

**Figura 3.1 – Ilustração do SEQ não credível**



Analizando a estabilidade do jogo, vemos que o estado  $s_1$  é considerado SEQ (e SSEQ) para o DM 1, indicando que, nesse cenário, o DM 1 está em uma situação de equilíbrio. Por outro lado, o DM 2 apresenta um melhoramento a partir do estado  $s_2$ , o que provoca um conflito que resulta no estado  $s_3$ . No entanto, o estado  $s_3$  é menos favorável para o DM 1 do que o estado  $s_1$ , tornando-o uma opção inferior. Além disso, a punição do DM 2 ao sair do estado  $s_2$  e ir para o estado  $s_3$  não é considerada crível, uma vez que o estado  $s_2$  é um SEQ para o DM 2, sugerindo que ele prefere permanecer nesse estado.

Desta forma, Rêgo e Oliveira (2020 e 2023) propuseram a estabilidade sequencial de ordem superior, modificando o conceito de estabilidade sequencial a fim de mitigar o problema das ameaças não credíveis inerente a esse conceito. Isto retifica o fato de que, na estabilidade SEQ, um DM pode deixar um estado que é SEQ para ele apenas para punir o seu oponente.

A estabilidade sequencial de ordem superior identifica quais são as possíveis sanções plausíveis que os oponentes do DM focal podem impor a ele. Ou seja, DMs não devem deixar os estados que são SEQ para eles. A fim de evitar uma definição circular, é necessário definir múltiplas ordens de estabilidade SEQ.

Em conflitos complexos, caracterizados por um grande número de estados ou vários DMs, a análise de estabilidade utilizando definições lógicas torna-se inviável. Nesse contexto, a construção de representações matriciais pode tornar a obtenção de estados estáveis mais eficaz, uma vez que proporciona uma análise de estabilidade mais rápida, baseada em estruturas algébricas flexíveis, e convertendo a análise de estabilidade de uma estrutura lógica para um sistema matricial. Mesmo em conflitos menores, a análise pode ser exaustiva, o que torna o desenvolvimento de métodos computacionais para encontrar estados estáveis extremamente relevante.

Neste capítulo, nosso principal objetivo é fornecer métodos matriciais para determinar estabilidades sequenciais de ordem superior no modelo de grafos para a resolução de conflitos com dois ou múltiplos DMs. A fim de capturar estabilidades sequenciais de ordem superior, são derivadas equações matriciais recursivas. Desta forma, na Seção 3.2 serão apresentadas as propriedades e definições das representações matriciais para este conceito. Adicionalmente, na Seção 3.3, com o objetivo de ilustrar a utilidade das representações obtidas, realizamos aplicações dos métodos propostos a conflitos já existentes na literatura sobre o GMCR, considerando tanto 2-DMs quanto  $n$ -DMs. Vale ressaltar que este trabalho encontra-se submetido no periódico *Group Decision and Negotiation*.

### 3.2 REPRESENTAÇÕES MATRICIAIS DO CONCEITOS DE SOLUÇÃO $m$ -SEQ

Nesta seção, são desenvolvidos métodos matriciais para determinar estados estáveis  $m$ -SEQ no GMCR considerando conflitos com dois e  $n$  DMs.

### 3.2.1 Caso Bilateral

Sabemos que para que o estado seja estável  $m$ -SEQ, a reação do seu oponente, além de ser uma melhoria unilateral, não deve desviar-se de um estado estável  $(m-1)$ -SEQ. Como veremos no Teorema 3.2.1, podemos obter estados estáveis de acordo com esse conceito a partir da seguinte representação matricial,  $M_i^{m-SEQ}$ , para o  $m$ -SEQ, que é dada por:

$$M_i^{m-SEQ} = J_i^+ [E - \text{sinal}(J_j^{(m,+)}(P_i^{-,=})^T)] , j \in N, j \neq i \quad (3.1)$$

em que,  $J_j^{(m,+)}$  é dado por:

$$J_j^{(m,+)} = \text{sinal}(I \circ M_j^{((m-1)-SEQ)}) J_j^+ \quad \forall m \geq 2, \quad (3.2)$$

em que  $I$  é a matriz identidade de ordem  $|S|$  e  $M_j^{(1-SEQ)} = M_j^{SEQ}$ , uma vez que o conceito  $1-SEQ$  é por definição igual a  $SEQ$ .

O Teorema 3.2.1 a seguir estabelece que um estado  $s$  é  $m-SEQ$  estável para um DM  $i$  se e somente se o elemento que se encontra na linha  $s$  e na coluna  $s$  da matriz  $M_i^{m-SEQ}$  for igual a zero.

**Teorema 3.2.1** Seja  $s \in S$  e  $i \in N$ , então  $s$  é  $m-SEQ$  para DM  $i$  se, e somente se,  $M_i^{(m-SEQ)}(s, s) = 0$ .

**Prova:** A prova será feita por indução em  $m$ . Primeiro, suponhamos que  $m = 2$ . Nesse caso,

$$\begin{aligned} M_i^{2-SEQ}(s, s) &= \sum_{s_1 \in S} J_i^+(s, s_1) [E - \text{sinal}(J_j^{(2,+)}(P_i^{-,=})^T)](s_1, s) \\ &= \sum_{s_1 \in S} J_i^+(s, s_1) [1 - \text{sinal}(\sum_{s_2 \in S} J_j^{(2,+)}(s_1, s_2)(P_i^{-,=})^T(s_2, s))] \\ &= \sum_{s_1 \in S} J_i^+(s, s_1) [1 - \text{sinal}(\sum_{s_2 \in S} J_j^{(2,+)}(s_1, s_2)P_i^{-,=}(s, s_2))] \end{aligned}$$

Portanto, segue-se que  $M_i^{2-SEQ}(s, s) = 0$  se somente se, para todo  $s_1 \in R_i^+(s)$  existir  $s_2 \in S$  tal que  $J_j^{(2,+)}(s_1, s_2) = 1$  e  $P_i^{-,=}(s, s_2) = 1$ .

Note que  $P_i^{-,=}(s, s_2) = 1$  se somente se  $s \succsim_i s_2$ . Além disso, temos que

$$\begin{aligned}
J_j^{(2,+)}(s_1, s_2) &= \sum_{s_3 \in S} \text{sinal}(I \circ M_j^{SEQ})(s_1, s_3) J_j^+(s_3, s_2) \\
&= \sum_{s_3 \in S} \text{sinal}(I(s_1, s_3) M_j^{SEQ}(s_1, s_3)) J_j^+(s_3, s_2) \\
&= \text{sinal}(M_j^{SEQ}(s_1, s_1)) J_j^+(s_1, s_2)
\end{aligned}$$

Assim,  $J_j^{(2,+)}(s_1, s_2) = 1$  se somente se  $M_j^{SEQ}(s_1, s_1) \neq 0$  e  $J_j^+(s_1, s_2) = 1$ . Em outras palavras,  $J_j^{(2,+)}(s_1, s_2) = 1$  se somente se  $s_1 \notin S_j^{SEQ}$  e  $s_2 \in R_j^+(s_1)$ .

Portanto,  $M_i^{2-SEQ}(s, s) = 0$  se somente se para todo  $s_1 \in R_i^+(s)$  existir  $s_2 \in S$  tal que  $s \succ_i s_2$ ,  $s_1 \notin S_j^{SEQ}$  e  $s_2 \in R_j^+(s_1)$ . Consequentemente,  $M_i^{2-SEQ}(s, s) = 0$  se somente se  $s \in S_i^{2-SEQ}$ .

Assumindo agora a hipótese de indução de que  $M_i^{(m-1)-SEQ}(s, s) = 0$  se somente se  $s \in S_i^{(m-1)-SEQ}$ ,  $\forall i \in N$ . Temos que:

$$\begin{aligned}
M_i^{m-SEQ}(s, s) &= \sum_{s_1 \in S} J_i^+(s, s_1) [E - \text{sinal}(J_j^{(m,+)}(P_i^{-,=})^T)](s_1, s) \\
&= \sum_{s_1 \in S} J_i^+(s, s_1) [1 - \text{sinal}(\sum_{s_2 \in S} J_j^{(m,+)}(s_1, s_2) (P_i^{-,=})^T(s_2, s))] \\
&= \sum_{s_1 \in S} J_i^+(s, s_1) [1 - \text{sinal}(\sum_{s_2 \in S} J_j^{(m,+)}(s_1, s_2) P_i^{-,=}(s, s_2))]
\end{aligned}$$

Assim, segue-se que  $M_i^{m-SEQ}(s, s) = 0$  se somente se para todo  $s_1 \in R_i^+(s)$  existir  $s_2 \in S$  tal que  $J_j^{(m,+)}(s_1, s_2) = 1$  e  $P_i^{-,=}(s, s_2) = 1$ .

Posteriormente, note que

$$\begin{aligned}
J_j^{(m,+)}(s_1, s_2) &= \sum_{s_3 \in S} \text{sinal}(I \circ M_j^{(m-1)-SEQ})(s_1, s_3) J_j^+(s_3, s_2) \\
&= \sum_{s_3 \in S} \text{sinal}(I(s_1, s_3) M_j^{(m-1)-SEQ}(s_1, s_3)) J_j^+(s_3, s_2) \\
&= \text{sinal}(M_j^{(m-1)-SEQ}(s_1, s_1)) J_j^+(s_1, s_2)
\end{aligned}$$

Assim,  $J_j^{(m,+)}(s_1, s_2) = 1$  se somente se  $M_j^{(m-1)-SEQ}(s_1, s_1) \neq 0$  e  $J_j^+(s_1, s_2) = 1$ .

Logo, pela hipótese de indução,  $J_j^{(m,+)}(s_1, s_2) = 1$  se somente se  $s_1 \notin S_j^{(m-1)-SEQ}$  e  $s_2 \in R_j^+(s_1)$ .

Logo,  $M_i^{m-SEQ}(s, s) = 0$  se somente se para todo  $s_1 \in R_i^+(s)$  existir  $s_2 \in S$  tal que  $s \succ_i s_2$ ,  $s_1 \notin S_j^{(m-1)-SEQ}$  e  $s_2 \in R_j^+(s_1)$ . Consequentemente,  $M_i^{m-SEQ}(s, s) = 0$  se somente se  $s \in S_i^{m-SEQ}$ . ■

### 3.2.2 Caso Multilateral

Na estabilidade  $m - SEQ$  para conflitos multilaterais, os oponentes de um DM podem realizar uma sequência de melhorias plausíveis UIs de ordem  $m - 1$  para sancionar o movimento inicial de algum DM, em que uma UI é considerada plausível de ordem  $m - 1$  se o DM não deixar um estado estável  $(m - 1) - SEQ$  para ele. Agora definimos a matriz conjunta de movimentos de melhoria plausíveis de ordem  $m - 1$ ,  $J_H^{(m,+)}$ , que representa o conjunto  $R_H^{+m}$ . A entrada  $(s, s_1)$  da matriz  $J_H^{(m,+)}$  é dada por

$$J_H^{(m,+)}(s, s_1) = \begin{cases} 1 & \text{se } s_1 \in R_H^{+m}(s), \\ 0 & \text{caso contrário.} \end{cases}$$

Seja  $\delta^m$  o número máximo de movimentos em uma sequência legal UIs plausíveis de ordem  $m - 1$  a partir de  $s$  realizados pelos DMs em  $H$  necessários para alcançar um estado em  $R_H^{+m}(s)$ .  $\delta^m$  é, no máximo, igual ao número total de UIs existentes no conflito, que é dado por  $L = \sum_{i \in N} \sum_{s \in S} \sum_{s_1 \in S} J_i^+(s, s_1)$ .

Como a sequência de movimentos de sanção de UIs plausíveis de ordem  $m - 1$  realizada pelos oponentes do DM focal pode ter comprimentos diferentes, seja  $J_{i,H}^{(m,t,+)}$  uma matriz de ordem  $|S|$  que representa os estados alcançáveis por uma sequência de exatamente  $t$  UIs plausíveis de ordem  $m - 1$  realizadas pelos DMs em  $H$ , onde o DM  $i$  faz o primeiro movimento. O elemento  $(s, s_1)$  de  $J_{i,H}^{(m,t,+)}$  é formalmente definido como:

$$J_{i,H}^{(m,t,+)}(s, s_1) = \begin{cases} 1 & \begin{array}{l} \text{se, de } s \in S, s_1 \in S \text{ pode ser alcançado} \\ \text{exatamente em } t \text{ UIs legais e DM } i \text{ é o primeiro a se mover,} \\ \text{em que nenhuma das UI deixa um } (m - 1) - SEQ \\ \text{estado estável para o DM que se move,} \end{array} \\ 0 & \text{caso contrário.} \end{cases} \quad (3.3)$$

O Lema 3.2.1 mostra como obter  $J_{i,H}^{(m,t,+)}$  de forma indutiva.

**Lema 3.2.1** *Para  $m \geq 2$  e  $t \geq 2$ ,  $J_{i,H}^{(m,t,+)}$  é dado recursivamente por*

$$J_{i,H}^{(m,t,+)} = \text{sign} \left( J_i^{(m,+)} \left( \bigvee_{j \in H - \{i\}} J_{j,H}^{(m,t-1,+)} \right) \right), \quad (3.4)$$

em que  $J_{j,H}^{(m,1,+)} = J_j^{(m,+)} = \text{sinal}(D \circ M_j^{((m-1)-SEQ)}) J_j^+, \forall j \in N$ .

**Prova:** Como o caso  $t = 2$  tem um formato especial, vamos prová-lo primeiro.

$$\begin{aligned} J_{i,H}^{(m,2,+)} &= \text{sinal} \left( J_i^{(m,+)} \left( \bigvee_{j \in H - \{i\}} J_{j,H}^{(m,1,+)} \right) \right) \\ &= \text{sinal} \left( J_i^{(m,+)} \left( \bigvee_{j \in H - \{i\}} J_j^{(m,+)} \right) \right). \end{aligned}$$

Consequentemente,

$$\begin{aligned} J_{i,H}^{(m,2,+)}(s, s_2) &= \text{sinal} \left( \sum_{s_1 \in S} J_i^{(m,+)}(s, s_1) \left( \bigvee_{j \in H - \{i\}} J_j^{(m,+)} \right) (s_1, s_2) \right) \\ &= \text{sinal} \left( \sum_{s_1 \in S} J_i^{(m,+)}(s, s_1) \text{sinal} \left( \sum_{j \in H - \{i\}} J_j^{(m,+)}(s_1, s_2) \right) \right). \end{aligned}$$

Assim,  $J_{i,H}^{(m,2,+)}(s, s_2) = 1$  se e somente se existir  $s_1 \in S$  e  $j \in H - \{i\}$  tal que  $J_i^{(m,+)}(s, s_1) = 1$  e  $J_j^{(m,+)}(s_1, s_2) = 1$ . Na prova do Teorema 3.2.1, mostramos que  $J_j^{(m,+)}(s_1, s_2) = 1$  se e somente se  $s_1 \notin S_j^{(m-1)-SEQ}$  e  $s_2 \in R_j^+(s_1)$ . Portanto,  $J_{i,H}^{(m,2,+)}(s, s_2) = 1$  se e somente se existir  $s_1 \in S$  e  $j \in H - \{i\}$  tal que  $s \notin S_i^{(m-1)-SEQ}$ ,  $s_1 \in R_i^+(s)$ ,  $s_1 \notin S_j^{(m-1)-SEQ}$  e  $s_2 \in R_j^+(s_1)$ . Assim,  $J_{i,H}^{(m,2,+)}(s, s_2) = 1$  se e somente se existir uma sequência de melhorias plausíveis de ordem  $m - 1$  e comprimento 2, com o primeiro movimento sendo do DM  $i$ .

Para o caso geral, observe que qualquer sequência plausível de UIs de ordem  $m$  e comprimento  $t$ , com o primeiro movimento sendo do DM  $i$ , consiste em um primeiro movimento plausível de ordem  $m - 1$  do DM  $i$ , seguido por uma sequência de melhorias plausíveis de ordem  $m - 1$  e comprimento  $t - 1$ , com o primeiro movimento sendo de qualquer outro DM em  $H$  diferente de  $i$ .

Desde que

$$\begin{aligned} J_{i,H}^{(m,t,+)}(s, s_t) &= \text{sinal} \left( \sum_{s_1 \in S} J_i^{(m,+)}(s, s_1) \left( \bigvee_{j \in H - \{i\}} J_j^{(m,t-1,+)} \right) (s_1, s_t) \right) \\ &= \text{sinal} \left( \sum_{s_1 \in S} J_i^{(m,+)}(s, s_1) \text{sinal} \left( \sum_{j \in H - \{i\}} J_j^{(m,t-1,+)}(s_1, s_t) \right) \right), \end{aligned}$$

Temos que  $J_{i,H}^{(m,t,+)}(s, s_t) = 1$  se e somente se existir  $s_1 \in S$  e  $j \in H - \{i\}$  tal que  $J_i^{(m,+)}(s, s_1) = 1$  e  $J_j^{(m,t-1,+)}(s_1, s_t) = 1$ . Portanto,  $J_{i,H}^{(m,t,+)}(s, s_t) = 1$  se e somente se existir

$s_1 \in S$  e  $j \in H - \{i\}$  tal que  $s \notin S_i^{(m-1)-SEQ}$ ,  $s_1 \in R_i^+(s)$ , e  $s_t$  pode ser alcançado a partir de uma sequência plausível de UIs de ordem  $m-1$  e comprimento  $t-1$  a partir de  $s_1$ , onde o primeiro movimento é do DM  $j$ .

Assim,  $J_{i,H}^{(m,t,+)}(s, s_t) = 1$  se e somente se existir uma sequência plausível de UIs de ordem  $m-1$  e comprimento  $t$  de  $s$  para  $s_t$ , onde o primeiro movimento é do DM  $i$ . ■

O Teorema 3.2.2 mostra como obter a matriz  $J_H^{m,+}$  a partir das matrizes  $J_i^{(m,+)}$ , para  $i \in H$ .

**Teorema 3.2.2** *Seja  $\emptyset \neq H \subseteq N$ . A matriz  $J_H^{m,+}$  pode ser derivada da seguinte forma:*

$$J_H^{m,+} = \left( \bigvee_{t=1}^L \bigvee_{i \in H} J_{i,H}^{(m,t,+)} \right). \quad (3.5)$$

**Prova:** Note que  $J_H^{m,+}(s, s_1) = 1$  se e somente se existir algum  $t \geq 1$  e  $i \in H$  tal que  $J_{i,H}^{(m,t,+)}(s, s_1) = 1$ . Portanto,  $J_H^{m,+}(s, s_1) = 1$  se e somente se existir alguma sequência plausível de UIs de ordem  $m-1$  de  $s$  para  $s_1$  pelos DMs em  $H$ . ■

O Teorema 3.2.3 estabelece a representação matricial  $m$ -SEQ para conflitos multilaterais.

**Teorema 3.2.3** *Defina a matriz  $M_i^{m-SEQ_n}$  de ordem  $|S|$  como*

$$M_i^{m-SEQ_n} = J_i^+ [E - \text{sinal}(J_{N-\{i\}}^{(m,+)}(P_i^{-,=})^T)].$$

*Para  $i \in N$ ,  $s \in S$  e  $m \geq 2$ , o estado  $s$  é considerado sequencial estavelmente de ordem  $m$  ( $m$ -SEQ) para o DM  $i$  se e somente se  $M_i^{m-SEQ_n}(s, s) = 0$ .*

**Prova:** Usando um argumento idêntico ao utilizado na prova do Teorema 3.2.1, segue que  $M_i^{m-SEQ_n}(s, s) = 0$  se e somente se para todo  $s_1 \in R_i^+(s)$  existe  $s_2 \in S$  tal que  $J_{N-\{i\}}^{(m,+)}(s_1, s_2) = 1$  e  $P_i^{-,=}(s, s_2) = 1$ .

Por definição de  $J_{N-\{i\}}^{(m,+)}$  e  $P_i^{-,=}$ , temos que  $M_i^{m-SEQ_n}(s, s) = 0$  se e somente se para todo  $s_1 \in R_i^+(s)$  existe  $s_2 \in S$  tal que  $s_2 \in R_{N-\{i\}}^{+m}(s_1)$  e  $s \succsim_i s_2$ . ■

### 3.3 APLICAÇÕES

Apresentaremos, nesta seção, duas aplicações com a finalidade de ilustrar as representações matriciais para a estabilidade  $m$ -SEQ obtidas neste capítulo. A primeira aplicação

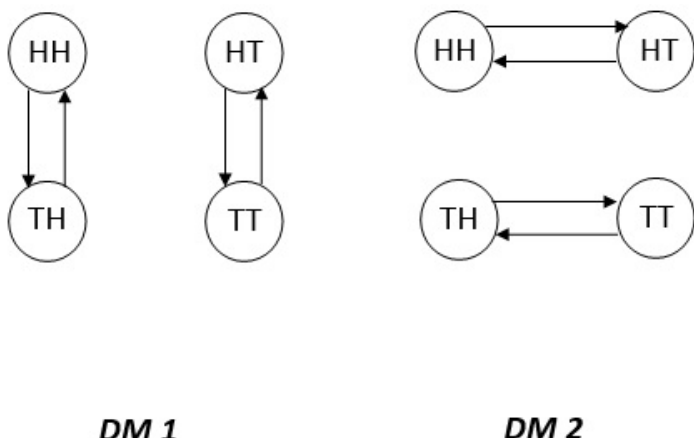
que consideramos foi o jogo Matching Pennies (GIBBONS, 1992) que refere-se ao caso de dois DMs. A outra aplicação, que envolve múltiplos DMs, consiste no conflito de renovação de instalações industriais privadas (WALKER; BOUTILIER; HIPEL, 2010). A partir dessas aplicações, enfatiza-se a importância da representação matricial para a estabilidade  $m - SEQ$ , na qual os métodos matriciais apresentam maior agilidade na resolução de conflitos.

### 3.3.1 Matching Pennies

O jogo Matching Pennies (GIBBONS, 1992) é considerado um exemplo clássico de um jogo de soma zero, em que num jogo de soma zero o ganho de um jogador é exatamente a perca do outro. Neste jogo, uma vez que em todas as situações possíveis, um dos jogadores tem um incentivo para mudar de estratégia, então não existem equilíbrios de Nash em estratégias puras.

Neste jogo, dois jogadores, que chamaremos de DM 1 e DM 2, movem-se de maneira simultânea, sendo que cada jogador terá uma moeda e deve escolher se quer exibir a “cara” ( $H$ ) ou “coroa” ( $T$ ) virada para cima. No caso em que as moedas corresponderem, o primeiro jogador ganha e fica com a moeda do outro jogador, mas se as moedas não corresponderem, o segundo jogador ganha e fica com a moeda. Este conflito é composto por quatro estados, a saber:  $HH(s_1)$ ,  $HT(s_2)$ ,  $TH(s_3)$ , e  $TT(s_4)$ . As preferências dos DMs 1 e 2 são dadas, respectivamente, por  $HH \sim_1 TT \succ_1 HT \sim_1 TH$  e  $HT \sim_2 TH \succ_2 HH \sim_2 TT$ . A Figura 3.2 ilustra a forma de grafo desse conflito.

**Figura 3.2 – Forma de grafo do jogo Matching Pennies**



As matrizes de movimento unilateral (UM) para o DM 1 e para o DM 2, relacionadas

com o jogo Matching Pennies no modelo de grafo apresentado na Figura 3.2 são dadas por:

$$J_1 = \begin{pmatrix} 0 & 0 & 1 & 0 \\ 0 & 0 & 0 & 1 \\ 1 & 0 & 0 & 0 \\ 0 & 1 & 0 & 0 \end{pmatrix} \quad J_2 = \begin{pmatrix} 0 & 1 & 0 & 0 \\ 1 & 0 & 0 & 0 \\ 0 & 0 & 0 & 1 \\ 0 & 0 & 1 & 0 \end{pmatrix} \quad (3.6)$$

De acordo com a Definição 2.5, as matrizes de preferência dos DMs 1 e 2 são, respectivamente, dadas por:

$$P_1^+ = \begin{pmatrix} 0 & 0 & 0 & 0 \\ 1 & 0 & 0 & 1 \\ 1 & 0 & 0 & 1 \\ 0 & 0 & 0 & 0 \end{pmatrix} \quad P_2^+ = \begin{pmatrix} 0 & 1 & 1 & 0 \\ 0 & 0 & 0 & 0 \\ 0 & 0 & 0 & 0 \\ 0 & 1 & 1 & 0 \end{pmatrix} \quad (3.7)$$

Temos também que as matrizes de melhorias unilaterais (UI) dos DMs 1 e 2 são, respectivamente, dadas por:

$$J_1^+ = \begin{pmatrix} 0 & 0 & 0 & 0 \\ 0 & 0 & 0 & 1 \\ 1 & 0 & 0 & 0 \\ 0 & 0 & 0 & 0 \end{pmatrix} \quad J_2^+ = \begin{pmatrix} 0 & 1 & 0 & 0 \\ 0 & 0 & 0 & 0 \\ 0 & 0 & 0 & 0 \\ 0 & 0 & 1 & 0 \end{pmatrix} \quad (3.8)$$

Para obtermos as matrizes de preferências não estritas dos DMs 1 e 2, utilizamos  $P_i^{-,=} = E - P_i^+$ . Tais matrizes são dadas, respectivamente, por:

$$P_1^{-,=} = \begin{pmatrix} 1 & 1 & 1 & 1 \\ 1 & 1 & 1 & 1 \\ 1 & 1 & 1 & 1 \\ 1 & 1 & 1 & 1 \end{pmatrix} - \begin{pmatrix} 0 & 0 & 0 & 0 \\ 1 & 0 & 0 & 1 \\ 1 & 0 & 0 & 1 \\ 0 & 0 & 0 & 0 \end{pmatrix} = \begin{pmatrix} 1 & 1 & 1 & 1 \\ 0 & 1 & 1 & 0 \\ 0 & 1 & 1 & 0 \\ 1 & 1 & 1 & 1 \end{pmatrix} \quad (3.9)$$

$$P_2^{-,=} = \begin{pmatrix} 1 & 1 & 1 & 1 \\ 1 & 1 & 1 & 1 \\ 1 & 1 & 1 & 1 \\ 1 & 1 & 1 & 1 \end{pmatrix} - \begin{pmatrix} 0 & 1 & 1 & 0 \\ 0 & 0 & 0 & 0 \\ 0 & 0 & 0 & 0 \\ 0 & 1 & 1 & 0 \end{pmatrix} = \begin{pmatrix} 1 & 0 & 0 & 1 \\ 1 & 1 & 1 & 1 \\ 1 & 1 & 1 & 1 \\ 1 & 0 & 0 & 1 \end{pmatrix} \quad (3.10)$$

Vamos inicialmente analisar a estabilidade 1-SEQ, que é equivalente a SEQ. Para isso, calculamos a matriz  $M_i^{(1-SEQ)} = M_i^{SEQ} = J_i^+(E - \text{sinal}(J_j^+(P_i^{-,=})^\top))$  para ambos DMs:

$$M_1^{1-SEQ} = \begin{pmatrix} 0 & 0 & 0 & 0 \\ 0 & 0 & 0 & 1 \\ 1 & 0 & 0 & 0 \\ 0 & 0 & 0 & 0 \end{pmatrix} \left[ \begin{pmatrix} 1 & 1 & 1 & 1 \\ 1 & 1 & 1 & 1 \\ 1 & 1 & 1 & 1 \\ 1 & 1 & 1 & 1 \end{pmatrix} - \text{sinal} \left( \begin{pmatrix} 0 & 1 & 0 & 0 \\ 0 & 0 & 0 & 0 \\ 0 & 0 & 0 & 0 \\ 0 & 0 & 1 & 0 \end{pmatrix} \begin{pmatrix} 1 & 0 & 0 & 1 \\ 1 & 1 & 1 & 1 \\ 1 & 1 & 1 & 1 \\ 1 & 0 & 0 & 1 \end{pmatrix} \right) \right]$$

$$= \begin{pmatrix} 0 & 0 & 0 & 0 \\ 0 & 0 & 0 & 0 \\ 0 & 0 & 0 & 0 \\ 0 & 0 & 0 & 0 \end{pmatrix}$$

e

$$M_2^{1-SEQ} = \begin{pmatrix} 0 & 1 & 0 & 0 \\ 0 & 0 & 0 & 0 \\ 0 & 0 & 0 & 0 \\ 0 & 0 & 1 & 0 \end{pmatrix} \left[ \begin{pmatrix} 1 & 1 & 1 & 1 \\ 1 & 1 & 1 & 1 \\ 1 & 1 & 1 & 1 \\ 1 & 1 & 1 & 1 \end{pmatrix} - \text{sinal} \left( \begin{pmatrix} 0 & 0 & 0 & 0 \\ 0 & 0 & 0 & 1 \\ 1 & 0 & 0 & 0 \\ 0 & 0 & 0 & 0 \end{pmatrix} \begin{pmatrix} 1 & 1 & 1 & 1 \\ 0 & 1 & 1 & 0 \\ 0 & 1 & 1 & 0 \\ 1 & 1 & 1 & 1 \end{pmatrix} \right) \right]$$

$$= \begin{pmatrix} 0 & 0 & 0 & 0 \\ 0 & 0 & 0 & 0 \\ 0 & 0 & 0 & 0 \\ 0 & 0 & 0 & 0 \end{pmatrix}.$$

Assim, todos os estados são 1-SEQ estáveis para ambos os DMs. Da Equação 3.1, sabemos que a representação matricial para o  $m$ -SEQ do DM  $i$  é

$$M_i^{m-SEQ} = J_i^+ [E - \text{sinal}(J_j^{(m,+)}(P_i^{-,=})^T)],$$

em que  $J_j^{(m,+)} = \text{sinal}(I \circ M_j^{((m-1)-SEQ)}) J_j^+$ . Assim, temos que para  $m = 2$ :

$$\begin{aligned}
J_1^{(2,+)} &= \left[ \text{sinal} \left( \begin{pmatrix} 1 & 0 & 0 & 0 \\ 0 & 1 & 0 & 0 \\ 0 & 0 & 1 & 0 \\ 0 & 0 & 0 & 1 \end{pmatrix} \circ \begin{pmatrix} 0 & 0 & 0 & 0 \\ 0 & 0 & 0 & 0 \\ 0 & 0 & 0 & 0 \\ 0 & 0 & 0 & 0 \end{pmatrix} \right) \right] \begin{pmatrix} 0 & 0 & 0 & 0 \\ 0 & 0 & 0 & 1 \\ 1 & 0 & 0 & 0 \\ 0 & 0 & 0 & 0 \end{pmatrix} \\
&= \begin{pmatrix} 0 & 0 & 0 & 0 \\ 0 & 0 & 0 & 0 \\ 0 & 0 & 0 & 0 \\ 0 & 0 & 0 & 0 \end{pmatrix}
\end{aligned}$$

e

$$\begin{aligned}
J_2^{(2,+)} &= \left[ \text{sinal} \left( \begin{pmatrix} 1 & 0 & 0 & 0 \\ 0 & 1 & 0 & 0 \\ 0 & 0 & 1 & 0 \\ 0 & 0 & 0 & 1 \end{pmatrix} \circ \begin{pmatrix} 0 & 0 & 0 & 0 \\ 0 & 0 & 0 & 0 \\ 0 & 0 & 0 & 0 \\ 0 & 0 & 0 & 0 \end{pmatrix} \right) \right] \begin{pmatrix} 0 & 1 & 0 & 0 \\ 0 & 0 & 0 & 0 \\ 0 & 0 & 0 & 0 \\ 0 & 0 & 1 & 0 \end{pmatrix} \\
&= \begin{pmatrix} 0 & 0 & 0 & 0 \\ 0 & 0 & 0 & 0 \\ 0 & 0 & 0 & 0 \\ 0 & 0 & 0 & 0 \end{pmatrix}.
\end{aligned}$$

Consequentemente,  $M_i^{2-SEQ}$ ,  $i = 1, 2$ , são dadas por:

$$\begin{aligned}
M_1^{2-SEQ} &= \begin{pmatrix} 0 & 0 & 0 & 0 \\ 0 & 0 & 0 & 1 \\ 1 & 0 & 0 & 0 \\ 0 & 0 & 0 & 0 \end{pmatrix} \left[ \begin{pmatrix} 1 & 1 & 1 & 1 \\ 1 & 1 & 1 & 1 \\ 1 & 1 & 1 & 1 \\ 1 & 1 & 1 & 1 \end{pmatrix} - \text{sinal} \left( \begin{pmatrix} 0 & 0 & 0 & 0 \\ 0 & 0 & 0 & 0 \\ 0 & 0 & 0 & 0 \\ 0 & 0 & 0 & 0 \end{pmatrix} \begin{pmatrix} 1 & 0 & 0 & 1 \\ 1 & 1 & 1 & 1 \\ 1 & 1 & 1 & 1 \\ 1 & 0 & 0 & 1 \end{pmatrix} \right) \right] \\
&= \begin{pmatrix} 0 & 0 & 0 & 0 \\ 1 & 1 & 1 & 1 \\ 1 & 1 & 1 & 1 \\ 0 & 0 & 0 & 0 \end{pmatrix}
\end{aligned}$$

e

**Tabela 3.1 – Estados estáveis do jogo Matching Pennies de acordo com a estabilidade  $m$ -SEQ**

$m$ -SEQ	$HH (s_1)$	$HT (s_2)$	$TH (s_3)$	$TT (s_4)$
$m$ par	1	2	2	1
$m$ ímpar	1,2	1,2	1,2	1,2

$$\begin{aligned}
 M_2^{2-SEQ} &= \begin{pmatrix} 0 & 1 & 0 & 0 \\ 0 & 0 & 0 & 0 \\ 0 & 0 & 0 & 0 \\ 0 & 0 & 1 & 0 \end{pmatrix} \left[ \begin{pmatrix} 1 & 1 & 1 & 1 \\ 1 & 1 & 1 & 1 \\ 1 & 1 & 1 & 1 \\ 1 & 1 & 1 & 1 \end{pmatrix} - \text{sinal} \left( \begin{pmatrix} 0 & 0 & 0 & 0 \\ 0 & 0 & 0 & 0 \\ 0 & 0 & 0 & 0 \\ 0 & 0 & 0 & 0 \end{pmatrix} \begin{pmatrix} 1 & 1 & 1 & 1 \\ 0 & 1 & 1 & 0 \\ 0 & 1 & 1 & 0 \\ 1 & 1 & 1 & 1 \end{pmatrix} \right) \right] \\
 &= \begin{pmatrix} 1 & 1 & 1 & 1 \\ 0 & 0 & 0 & 0 \\ 0 & 0 & 0 & 0 \\ 1 & 1 & 1 & 1 \end{pmatrix}.
 \end{aligned}$$

Portanto, os estados  $s_1$  e  $s_4$  são 2-SEQ estáveis para DM 1 e, consequentemente, pelo Teorema 2.2.7, são  $m$ -SEQ estáveis para todos os  $m \geq 2$  para DM 1. Por outro lado, os estados  $s_2$  e  $s_3$  são 2-SEQ estáveis para DM 2 e, consequentemente, pelo Teorema 2.2.7, são  $m$ -SEQ estáveis para todos os  $m \geq 2$  para DM 2.

A Tabela 3.1 mostra os resultados obtidos de acordo com o Teorema 3.2.1 para todos os valores de  $m \geq 1$ . Como esperado, os resultados encontrados através da representação matricial foram os mesmos encontrados em Oliveira (2018) usando as definições lógicas.

### 3.3.2 Conflito de Renovação de Instalação Industrial Privada

Vamos agora ilustrar as representações matriciais obtidas neste capítulo em uma aplicação apresentada em Walker *et al.* (2010), envolvendo três DMs. O conflito consiste na transformação em área residencial de instalações industriais da empresa Kaufman Footwear na cidade de Kitchener, Ontário, Canadá, e é conhecido como conflito de renovação de instalação industrial privada. Neste conflito, tem-se que os decisores envolvidos são:

- Proprietário da propriedade ( $PO$ );
- Governo municipal ( $CG$ );
- Empresa imobiliária ou um promotor imobiliário ( $D$ ).

O cenário de conflito é dado pelo fato de o proprietário do imóvel e a administração municipal estarem tentando atrair o comprador para adquirir o imóvel. O DM  $D$ , por outro lado,

está interessado em comprar o imóvel pelo preço mais baixo possível e obter o maior benefício possível do DM *CG*, ao mesmo tempo que DM *PO* tenta aumentar o máximo possível o preço do imóvel. As opções para cada DM e os possíveis estados são apresentados na Tabela 3.2 a seguir.

**Tabela 3.2 – Estados viáveis no conflito de aquisição**

	Vender caro	N	Y	N	N	Y	N	N	Y	N	N	Y	N	-	-
PO	Vender barato	N	N	Y	N	N	Y	N	N	Y	N	N	Y	-	-
	Desistir	N	N	N	N	N	N	N	N	N	N	N	N	-	Y
CG	Incentivos	N	N	N	Y	Y	Y	N	N	N	Y	Y	Y	-	-
D	Comprar	N	N	N	N	N	N	Y	Y	Y	Y	Y	Y	-	-
	Desistir	N	N	N	N	N	N	N	N	N	N	N	N	Y	-
	Estado	<i>s</i> <sub>1</sub>	<i>s</i> <sub>2</sub>	<i>s</i> <sub>3</sub>	<i>s</i> <sub>4</sub>	<i>s</i> <sub>5</sub>	<i>s</i> <sub>6</sub>	<i>s</i> <sub>7</sub>	<i>s</i> <sub>8</sub>	<i>s</i> <sub>9</sub>	<i>s</i> <sub>10</sub>	<i>s</i> <sub>11</sub>	<i>s</i> <sub>12</sub>	<i>s</i> <sub>13</sub>	<i>s</i> <sub>13</sub>

Fonte: (WALKER; BOUTILIER; HIPEL, 2010)

As opções disponíveis para os DMs são:

1. O proprietário (PO) pode vender a propriedade por um preço alto ou baixo;
2. O governo municipal (CG) pode oferecer incentivos para a compra da propriedade;
3. O promotor (D) tem a opção de comprar a instalação industrial;
4. O promotor (D) e o proprietário (PO) têm a opção de desistir da negociação, porém se escolherem esta opção, independentemente das opções tomadas pelos outros DMs, o promotor e o proprietário não podem voltar à negociação e o conflito vai terminar no estado 13 (como apresentado na tabela acima), ou seja, a única opção irreversível no conflito é quando o DM PO ou DM D decidem desistir;
5. Os outros DMs podem mudar o estado do conflito alterando as suas próprias opções, mantendo as opções dos outros DMs fixas.

As preferências relacionadas com os estados para cada DM são apresentadas na Tabela 3.3 abaixo. A classificação dos estados, para cada DM, é listada da esquerda para a direita, da mais preferível para a menos preferível. Os estados que estão entre parênteses são considerados igualmente preferidos.

**Tabela 3.3 – Classificação dos estados do conflito de aquisição**

DM	Ranking dos estados
PO	( <i>s</i> <sub>8</sub> , <i>s</i> <sub>11</sub> ), ( <i>s</i> <sub>1</sub> , <i>s</i> <sub>2</sub> , <i>s</i> <sub>4</sub> , <i>s</i> <sub>5</sub> , <i>s</i> <sub>7</sub> , <i>s</i> <sub>10</sub> ), ( <i>s</i> <sub>3</sub> , <i>s</i> <sub>6</sub> , <i>s</i> <sub>13</sub> ), ( <i>s</i> <sub>9</sub> , <i>s</i> <sub>12</sub> )
CG	( <i>s</i> <sub>8</sub> , <i>s</i> <sub>9</sub> ), ( <i>s</i> <sub>11</sub> , <i>s</i> <sub>12</sub> ), ( <i>s</i> <sub>1</sub> , <i>s</i> <sub>2</sub> , <i>s</i> <sub>3</sub> , <i>s</i> <sub>7</sub> ), ( <i>s</i> <sub>4</sub> , <i>s</i> <sub>5</sub> , <i>s</i> <sub>6</sub> , <i>s</i> <sub>10</sub> ), <i>s</i> <sub>13</sub>
D	<i>s</i> <sub>12</sub> , <i>s</i> <sub>9</sub> , <i>s</i> <sub>11</sub> , <i>s</i> <sub>10</sub> , <i>s</i> <sub>6</sub> , <i>s</i> <sub>5</sub> , ( <i>s</i> <sub>3</sub> , <i>s</i> <sub>4</sub> ), ( <i>s</i> <sub>1</sub> , <i>s</i> <sub>2</sub> , <i>s</i> <sub>7</sub> , <i>s</i> <sub>13</sub> ), <i>s</i> <sub>8</sub>

Fonte: (WALKER; BOUTILIER; HIPEL, 2010)

Com base nos movimentos unilaterais e nas classificações de preferências disponíveis para cada DM, analisaremos, a seguir, representação matricial da estabilidades sequenciais

de ordem superior para cada DM desse conflito. As matrizes de movimentos unilaterais para os DMs PO, CG e D, são, respectivamente, dadas por:

Temos ainda que as matrizes de preferência dos DMs PO, CG e D, são, respectivamente, dadas por:

Com base no Teorema 3.2.3, a Tabela 3.4 a seguir apresenta os resultados obtidos para cada estado e cada DM das análises de estabilidade do conflito de renovação de instalação industrial privada.

Note que embora o estado  $s_{10}$  seja um equilíbrio sequencial, não é  $m$ -SEQ estável para DM PO e DM CG, para  $m > 1$ , o mesmo acontece com o estado  $s_6$  para o DM CG, ou seja,

**Tabela 3.4 – Resultado da análise de estabilidade do conflito de renovação de instalação industrial privada**

	m-SEQ		
	PO	CG	D
$s_1$	$\forall m$	$\forall m$	$\forall m$
$s_2$	$\forall m$	$\forall m$	$\forall m$
$s_3$	-	$\forall m$	$\forall m$
$s_4$	$\forall m$	-	$m \neq 2$
$s_5$	$\forall m$	-	$m = 1$
$s_6$	-	$m = 1$	$\forall m$
$s_7$	$\forall m$	$\forall m$	$\forall m$
$s_8$	$\forall m$	$\forall m$	-
$s_9$	-	$\forall m$	$\forall m$
$s_{10}$	$m = 1$	$m = 1$	$\forall m$
$s_{11}$	$\forall m$	$\forall m$	$\forall m$
$s_{12}$	-	$\forall m$	$\forall m$
$s_{13}$	$\forall m$	$\forall m$	$\forall m$

ele é estado sequencialmente estável, porém não  $m$ -SEQ para DM CG, pois, as sanções não são credíveis uma vez que envolvem o DM D ter que deixar o estado  $s_3$  que é 2-SEQ estável para ele. Podemos observar também que o estado  $s_4$  é SEQ e  $m$ -SEQ para DM D para todo  $m \neq 2$ , no entanto não é 2-SEQ para DM D. Desta forma, obtivemos os mesmos resultados encontrados através da representação matricial que foram apresentados em Oliveira (2018).

### 3.4 CONCLUSÃO

Neste capítulo, propusemos representações matriciais para facilitar a obtenção de estados estáveis  $m$ -SEQ, como proposto por Rêgo e Oliveira (2020 e 2023), aplicáveis a conflitos bilaterais e multilaterais. Este conceito de estabilidade é valioso para mitigar problemas de ameaças não credíveis que podem surgir na estabilidade SEQ.

A representação matricial do  $m$ -SEQ expande a análise de conflitos, permitindo a avaliação de cenários mais complexos, com mais ordens e estados, além de proporcionar maior eficiência em termos de esforço computacional e custo de tempo na resolução de conflitos. Para validar as representações matriciais do  $m$ -SEQ, realizamos uma análise de estabilidade em dois conflitos do mundo real, Matching Pennies e o conflito de renovação de instalação industrial privado.

## 4 REPRESENTAÇÃO MATRICIAL DA ESTABILIDADE MAXIMIN<sub>h</sub> NO MODELO GRAFO PARA RESOLUÇÃO DE CONFLITOS

### 4.1 INTRODUÇÃO

Rêgo e Vieira (2019), propuseram uma nova noção de estabilidade com horizonte variável. Tal noção, denominada por estabilidade Maximin<sub>h</sub>, considera que o DM focal não precisa ter necessariamente informação sobre as preferências de outros DMs. Esta estabilidade foi inspirada na regra de decisão maximin, também conhecida como a regra de decisão de Wald (Wald, 1945). Esta é uma regra de decisão, não probabilística, segundo a qual um decisor deve avaliar uma ação de acordo com as piores consequências que podem ser obtidas se essa ação for escolhida. A regra maximin prescreve a escolha da ação com a melhor consequência obtida no pior cenário possível e é útil para modelar DMs pessimistas ou cautelosos.

O conceito de estabilidade Maximin<sub>h</sub> também tem o atrativo de ter horizonte variável, ou seja, pode ser utilizado para analisar um conflito com  $h$  passos à frente, onde  $h$  é um inteiro não-negativo. Além disso, em Rêgo e Vieira (2019) forneceram resultados que estabelecem que a estabilidade de Nash, a metarracionalidade geral e a metarracionalidade simétrica, que são conceitos de solução frequentemente utilizados na literatura da GMCR, são equivalentes a casos particulares do conceito de estabilidade Maximin<sub>h</sub>, para  $h = 1, 2, 3$ , respectivamente.

Motivados pela dificuldade de se solucionar, de forma manual, conflitos onde existe um alto número de estados ou DMs, este capítulo tem como principal objetivo propôr métodos matriciais para representar o conceito de estabilidade Maximin<sub>h</sub> em conflitos com dois e múltiplos DMs. Com a ajuda das representações matriciais obtidas, conflitos maiores podem ser analisados, de maneira mais viável, utilizando esse conceito. Indicamos também como modificar os métodos de matriz propostos para representar também as variações credíveis do conceito Maximin<sub>h</sub>. Além disso, para demonstrar a utilidade dos resultados obtidos neste capítulo, analisamos um conflito real, conhecido na literatura do GMCR como o Sun Belt Vs. British Columbia Government (OBEIDI; HIPEL, 2005). Vale ressaltar que este capítulo encontra-se submetido no periódico *IEEE Transactions on Systems Man Cybernetics-Systems*.

Este capítulo está estruturado da seguinte forma: na Seção 4.2, são apresentadas as representações matriciais relacionadas ao conceito de estabilidade Maximin<sub>h</sub> para conflitos bilaterais. As adaptações necessárias para lidar com conflitos multilaterais ou com as estabilidades

maximin credíveis também são abordadas nesta seção. Posteriormente, na Seção 4.3, ilustramos as representações matriciais obtidas para representar o conceito  $\text{Maximin}_h$  no conflito de Sun Belt Vs. British Columbia Government (OBEIDI; HIPEL, 2005) considerando a terceira fase deste conflito e também analisamos o dilema dos prisioneiros para 2, 3 e 4 DMs, com o intuito de mensurar o crescimento do esforço computacional necessário para obtenção das estabilidades.

## 4.2 REPRESENTAÇÕES MATRICIAIS DA ESTABILIDADE $\text{MAXIMIN}_h$ NO GMCR

Nesta seção, fornecemos as representações matriciais para obter a estabilidade  $\text{Maximin}_h$  para conflitos bilaterais e multilaterais. Mostramos também como adaptá-los de modo a representar estabilidades  $\text{Maximin}_h$  credíveis. Começamos com as representações matriciais para conflitos bilaterais.

### 4.2.1 Representações matriciais da estabilidade $\text{Maximin}_h$ para conflitos bilaterais

Para atingir o nosso objetivo principal, precisamos introduzir algumas novas matrizes, que serão utilizadas na representação proposta. Primeiro, considere que  $I$  seja a matriz identidade de ordem  $|S|$  e  $E' = \begin{bmatrix} 1 & 1 & 1 & \dots & 1 \end{bmatrix}$  uma matriz linha com dimensão  $|S|$ . Considere também que se  $F$  for uma matriz 0 – 1, então  $F^c$  representa o complemento da matriz binária  $F$ , o que significa que  $F^c(s_1, s_2) = 1 - F(s_1, s_2)$ . Finalmente, seja  $\mathbf{K}_i$  uma matriz coluna com dimensão  $|S|$  dada por  $\mathbf{K}_i = [E' \cdot P_i^+]^T$ . O Lema 4.2.1 estabelece uma relação entre a matriz  $\mathbf{K}_i$  e a função  $K_i$  que foi definida na Seção 2.2. O Lema 4.2.1 estabelece uma relação entre a matriz  $\mathbf{K}_i$  e a função  $K_i$ .

**Lema 4.2.1** *Seja  $i \in N$ ,  $s$  e  $q \in S$ . Então  $\mathbf{K}_i(q, 1) = K_i(q)$ .*

**Prova:** Note que

$$\mathbf{K}_i(q, 1) = [E' \cdot P_i^+]^T(q, 1) = \sum_{s \in S} P_i^+(s, q) = K_i(q).$$

■

Agora vamos definir dois vetores importantes, a saber:  $\text{Min}(A)$  e  $\text{Max}(A)$ .

**Definição 4.2.1** Seja  $A = [a_{tk}]$  uma matriz de ordem  $|S|$ , então  $\text{Min}(A)$  e  $\text{Max}(A)$  são duas matrizes coluna com dimensão  $|S|$  tais que  $\text{Min}(A)[(k, 1)] = \min\{a_{k1}, a_{k2}, \dots, a_{k|S|}\}$  e  $\text{Max}(A)[(k, 1)] = \max\{a_{k1}, a_{k2}, \dots, a_{k|S|}\}$ , respectivamente.

Intuitivamente, o número que aparece na linha  $k$  do vetor  $\text{Min}(A)$  é o menor número que aparece na linha  $k$  da matriz  $A$ , no caso do  $\text{Max}(A)$  consideramos o maior número que aparece na linha  $k$  da matriz  $A$ .

Por exemplo, se considerarmos a matriz  $A = \begin{bmatrix} 3 & 1 & 4 & 6 \\ 2 & 0 & 4 & 4 \\ 5 & 2 & 2 & 3 \\ 0 & 4 & 1 & 2 \end{bmatrix}$ , então

$$\text{Min}(A) = \begin{bmatrix} 1 \\ 0 \\ 2 \\ 0 \end{bmatrix} \text{ e } \text{Max}(A) = \begin{bmatrix} 6 \\ 4 \\ 5 \\ 4 \end{bmatrix}.$$

Definimos agora duas matrizes,  $B_h^i$  e  $B_h^j$ , que em geral representam o ganho antecipado, ou seja, o valor do estado final antecipado que o DM  $i$  espera receber após um horizonte de conflito  $h$  se ele ou o adversário, respectivamente, for o primeiro a se mover. Cada linha destas matrizes contém o que o DM  $i$  prevê receber no final do conflito se o estado de conflito mudar do estado da linha para o estado da coluna. Se o estado da coluna não for alcançável a partir do estado da linha e não for igual ao estado da linha, então a entrada correspondente será zero em  $B_h^i$  e será igual a  $|S|$  em  $B_h^j$ , uma vez que no primeiro caso, onde o DM focal se move, consistirá em um movimento de maximização e, no segundo, um movimento de minimização.

Formalmente, temos:

$$B_h^i = \left( (J_i \circ (C_{h-1}^j \cdot E')^\top + I \circ (\mathbf{K}_i \cdot E')^\top) \right) \quad (4.1)$$

e

$$B_h^j = |S| \times (J_j + I)^c + (J_j \circ (C_{h-1}^i \cdot E')^\top + I \circ (\mathbf{K}_j \cdot E')^\top), \quad (4.2)$$

em que,  $C_0^i = C_0^j = \mathbf{K}_i$ ,  $C_h^i = \text{Max}(B_h^i)$  e  $C_h^j = \text{Min}(B_h^j)$ ,  $\forall h \geq 1$ .

Lema 4.2.2 estabelece que a entrada  $(s, 1)$  da matriz coluna  $C_h^i$  é igual ao ganho máximo que o DM  $i$  pode obter escolhendo ficar em  $s$  ou afastar-se de  $s$  e o que antecipa quando

o DM  $j$  se move a seguir e o horizonte é  $h - 1$ . Do mesmo modo, a entrada de  $(s, 1)$  da coluna da matriz  $C_h^j$  é igual ao ganho mínimo que DM  $i$  pode obter quando DM  $j$  escolhe ficar em  $s$  ou afastar-se de  $s$  e o que o DM  $i$  antecipa quando se move a seguir e o horizonte é  $h - 1$ .

**Lema 4.2.2** *Para cada estado  $s \in S$  e para cada horizonte  $h \geq 1$ , segue-se que:*

$$C_h^i(s, 1) = \max \{A_h^i(i, s), K_i(s)\}$$

e

$$C_h^j(s, 1) = \min \{A_h^j(j, s), K_i(s)\}.$$

**Prova:** Para provarmos esse resultado vamos usar o primeiro princípio de indução matemática em  $h$ . Dessa forma, é necessário verificar primeiro a etapa base da indução, verificando o caso  $h = 1$ , tanto para  $C_h^i(s, 1)$  como para  $C_h^j(s, 1)$ . Como definido em (RÊGO; VIEIRA, 2019), temos que

$$\begin{aligned} A_1^i(i, s) &= K_i(G_0^i(j, M_h^i(i, s))) \\ &= \max \{K_i(s') : s' \in R_i(s)\}. \end{aligned}$$

Analisamos agora o caso  $h = 1$ . Note-se que  $C_1^i(s, 1) = \max(B_1^i)(s, 1)$ , em que

$$\begin{aligned} B_1^i(s, s') &= [\left( (J_i \circ (\mathbf{K}_i \cdot E')^\top + I \circ (\mathbf{K}_i \cdot E')^\top) \right)](s, s') \\ &= \begin{cases} K_i(s') & \text{se } s' \in R_i(s) \cup \{s\} \\ 0 & \text{caso contrário.} \end{cases} \end{aligned}$$

Assim, segue-se que

$$\begin{aligned} C_1^i(s, 1) &= \max(B_1^i)(s, 1) \\ &= \max \{B_1^i(s, s') : \forall s' \in S\} \forall s \in S. \end{aligned}$$

Ou seja,

$$\begin{aligned} C_1^i(s, 1) &= \max \{K_i(s') : s' \in R_i(s) \cup \{s\}\} \\ &= \max \{A_1^i(i, s), K_i(s)\}. \end{aligned}$$

Também temos que, de acordo com Rêgo e Vieira (2019),

$$\begin{aligned} A_1^i(j, s) &= K_i(G_0^i(i, M_h^i(j, s))) \\ &= \min \{K_i(s') : s' \in R_j(s)\}. \end{aligned}$$

Note também que  $C_1^j(s, 1) = \min(B_1^j)(s, 1)$ , em que

$$\begin{aligned} B_1^j(s, s') &= [|S| \times (J_j + I)^c + \left( (J_j + I) \circ (\mathbf{K}_j \cdot E')^\top \right)](s, s') \\ &= \begin{cases} K_i(s') & \text{se } s' \in R_j(s) \cup \{s\}; \\ |S| & \text{se } s' \notin R_j(s) \cup \{s\}. \end{cases} \end{aligned}$$

Assim, segue-se que

$$\begin{aligned} C_1^j(s, 1) &= \min(B_1^j)(s, 1) \\ &= \min \{B_1^j(s, s'), \forall s' \in S\} \forall s \in S. \end{aligned}$$

Ou seja,

$$\begin{aligned} C_1^j(s, 1) &= \min \{K_i(s') : s' \in R_j(s) \cup \{s\}\} \\ &= \min \{A_1^i(j, s), K_i(s)\}. \end{aligned}$$

Vamos assumir que as igualdades são válidas para  $h - 1$ , ou seja,

$$C_{h-1}^i(s, 1) = \max \{A_{h-1}^i(i, s), K_i(s)\}$$

e

$$C_{h-1}^j(s, 1) = \min \{A_{h-1}^j(j, s), K_i(s)\}.$$

Vamos agora analisar o caso  $h$ . Como definido em Rêgo e Vieira (2019)

$$\begin{aligned} A_h^i(i, s) &= K_i(G_{h-1}^i(j, M_h^i(i, s))) \\ &= \max \{\min\{K_i(s'), A_{h-1}^i(j, s') : s' \in R_i(s)\}\} \end{aligned}$$

e

$$\begin{aligned}
 A_h^i(j, s) &= K_i(G_{h-1}^i(i, M_h^i(j, s))) \\
 &= \min \{ \max \{ K_i(s'), A_{h-1}^i(i, s') : s' \in R_j(s) \} \}.
 \end{aligned}$$

Sabemos que,

$$\begin{aligned}
 B_h^i(s, s') &= [(J_i \circ (C_{h-1}^j \cdot E')^\top + I \circ (\mathbf{K}_i \cdot E')^\top)](s, s') \\
 &= \begin{cases} C_{h-1}^j(s', 1) & \text{se } s' \in R_i(s); \\ K_i(s') & \text{se } s' = s; \\ 0 & \text{se } s' \notin R_i(s) \cup \{s\} \end{cases}
 \end{aligned}$$

e

$$\begin{aligned}
 B_h^j(s, s') &= [|S| \times (J_j + I)^c + (J_j \circ (C_{h-1}^i \cdot E')^\top + I \circ (\mathbf{K}_i \cdot E')^\top)](s, s') \\
 &= \begin{cases} C_{h-1}^i(s') & \text{se } s' \in R_j(s); \\ K_i(s') & \text{se } s' = s; \\ |S| & \text{se } s' \notin R_j(s) \cup \{s\}. \end{cases}
 \end{aligned}$$

Portanto, temos que

$$\begin{aligned}
 C_h^i(s, 1) &= (\max(B_h^i))(s, 1) \\
 &= \max \{ B_h^i(s, s') : \forall s' \in S \} \forall s \in S \\
 &= \max \{ K_i(s) \cup \{ C_{h-1}^j(s', 1) : s' \in R_i(s) \} \} \\
 &= \max \{ K_i(s) \cup \{ \min \{ A_{h-1}^i(j, s'), K_i(s') \} : s' \in R_i(s) \} \} \\
 &= \max \{ A_h^i(i, s), K_i(s) \}
 \end{aligned}$$

e

$$\begin{aligned}
C_h^j(s, 1) &= \left( \min(B_h^j) \right) (s, 1) \\
&= \min \left\{ B_h^j(s, s'), \forall s' \in S \right\} \forall s \in S \\
&= \min \left\{ K_i(s) \cup \left\{ C_{h-1}^i(s', 1) : s' \in R_j(s) \right\} \right\} \\
&= \min \left\{ K_i(s) \cup \left\{ \max \left\{ A_{h-1}^i(i, s), K_i(s) \right\} : s' \in R_j(s) \right\} \right\} \\
&= \min \left\{ A_h^i(j, s), K_i(s) \right\}.
\end{aligned}$$

■

O Teorema 4.2.2 fornece um resultado que permite obter estados Maximin<sub>h</sub> estáveis usando apenas operações matriciais.

**Teorema 4.2.2** *Um estado  $s \in S$  é Maximin<sub>h</sub> para o DM  $i$  se, e somente se,  $(\text{sinal}(\mathbf{K}_i - C_h^i))(s, 1) = 0$ .*

**Prova:** Pelos Lemas 4.2.1 e 4.2.2, segue-se que  $\mathbf{K}_i(s, 1) \leq C_h^i(s, 1)$ . Assim, precisamos considerar dois casos.

Se  $(\text{sinal}(\mathbf{K}_i - C_h^i))(s, 1) = 0$ , então isto implica que  $K_i(s) = \mathbf{K}_i(s, 1) = C_h^i(s, 1)$ . Assim, como  $C_h^i(s, 1) = \max \{A_h^i(i, s), K_i(s)\}$ , temos que  $K_i(s) \geq A_h^i(i, s)$ . Assim, temos  $G_h^i(i, s) = s$ , e, por conseguinte, segue-se que  $s$  é Maximin<sub>h</sub> para o DM  $i$ .

Se  $(\text{sinal}(\mathbf{K}_i - C_h^i))(s, 1) < 0$ , logo isto implica que  $K_i(s) = \mathbf{K}_i(s, 1) < C_h^i(s, 1)$ . Logo,  $C_h^i(s, 1) = A_h^i(i, s)$  e segue-se que  $K_i(s) < A_h^i(i, s)$  e, consequentemente,  $G_h^i(i, s) \neq s$ . Logo,  $s$  é Maximin<sub>h</sub> instável para o DM  $i$ .

■

De acordo com Teorema 4.2.2, se a entrada  $(s, 1)$  do vetor coluna  $\mathbf{K}_i$  for igual à mesma entrada do vetor coluna  $C_h^i$ , então o estado  $s$  é Maximin<sub>h</sub> estável para o DM  $i$ . Esta situação implica que, antecipando um horizonte  $h$  e adotando uma crença pessimista sobre os movimentos do adversário, o DM focal prefere ficar no estado  $s$ . Por outro lado, se a entrada  $(s, 1)$  do vetor coluna  $\mathbf{K}_i$  for inferior à mesma entrada do vetor coluna  $C_h^i$ , então o estado  $s$  não é Maximin<sub>h</sub> estável para DM  $i$ . Isto implica que o DM focal antecipa um ganho melhor ao sair do estado  $s$  considerando um horizonte  $h$  do que ao ficar em  $s$ .

**Exemplo 1** *Para ilustrar a representação matricial obtida neste trabalho, considere um conflito hipotético envolvendo dois tomadores de decisão, DM  $i$  e DM  $j$ , e quatro estados,  $s_1, s_2, s_3$  e  $s_4$ .*

Suponha que os conjuntos de acessibilidade para este conflito sejam:  $R_i(s_1) = \{s_3\}$ ,  $R_i(s_2) = \{s_4\}$ ,  $R_i(s_3) = \{s_1\}$ ,  $R_i(s_4) = \{s_2\}$ ,  $R_j(s_1) = \{s_2\}$ ,  $R_j(s_2) = \{s_1\}$ ,  $R_j(s_3) = \{s_4\}$  e  $R_j(s_4) = \{s_3\}$ . Suponha ainda que as preferências do DM i são  $s_1 \succ_i s_3 \succ_i s_2 \succ_i s_4$  (as preferências de DM j não são necessárias para analisar a estabilidade  $\text{Maximin}_h$  para o DM i). Neste conflito, temos que as matrizes  $J_i$ ,  $J_j$ ,  $P_i^+$  e  $\mathbf{K}_i$  são, respectivamente, dadas por:

$$J_i = \begin{bmatrix} 0 & 0 & 1 & 0 \\ 0 & 0 & 0 & 1 \\ 1 & 0 & 0 & 0 \\ 0 & 1 & 0 & 0 \end{bmatrix}, \quad J_j = \begin{bmatrix} 0 & 1 & 0 & 0 \\ 1 & 0 & 0 & 0 \\ 0 & 0 & 0 & 1 \\ 0 & 0 & 1 & 0 \end{bmatrix},$$

$$P_i^+ = \begin{bmatrix} 0 & 0 & 0 & 0 \\ 1 & 0 & 1 & 0 \\ 1 & 0 & 0 & 0 \\ 1 & 1 & 1 & 0 \end{bmatrix} \quad \text{e} \quad \mathbf{K}_i = \begin{bmatrix} 3 \\ 1 \\ 2 \\ 0 \end{bmatrix}.$$

Por simplicidade, utilizaremos a representação matricial obtida no Teorema 4.2.2 para analisar a estabilidade dos estados de conflito para o DM i, considerando horizontes  $h = 1, 2$  e  $3$ . Neste conflito hipotético, temos

$$B_1^i = \begin{bmatrix} \boxed{3} & 0 & \textcircled{2} & 0 \\ 0 & \boxed{1} & 0 & \textcircled{0} \\ \textcircled{3} & 0 & \boxed{2} & 0 \\ 0 & \textcircled{1} & 0 & \boxed{0} \end{bmatrix}, \quad C_1^i = \begin{bmatrix} \underline{3} \\ \underline{1} \\ 3 \\ 1 \end{bmatrix},$$

$$B_1^j = \begin{bmatrix} \boxed{3} & \textcircled{1} & 4 & 4 \\ \textcircled{3} & \boxed{1} & 4 & 4 \\ 4 & 4 & \boxed{2} & \textcircled{0} \\ 4 & 4 & \textcircled{2} & \boxed{0} \end{bmatrix}, \quad C_1^j = \begin{bmatrix} 1 \\ 1 \\ 0 \\ 0 \end{bmatrix},$$

$$B_2^i = \begin{bmatrix} \boxed{3} & 0 & \textcircled{0} & 0 \\ 0 & \boxed{1} & 0 & \textcircled{0} \\ \textcircled{1} & 0 & \boxed{2} & 0 \\ 0 & \textcircled{1} & 0 & \boxed{0} \end{bmatrix}, \quad C_2^i = \begin{bmatrix} \underline{3} \\ \underline{1} \\ 2 \\ 1 \end{bmatrix},$$

$$B_2^j = \begin{bmatrix} \boxed{3} & \textcircled{1} & 4 & 4 \\ \textcircled{3} & \boxed{1} & 4 & 4 \\ 4 & 4 & \boxed{2} & \textcircled{1} \\ 4 & 4 & \textcircled{3} & \boxed{0} \end{bmatrix}, \quad C_2^j = \begin{bmatrix} 1 \\ 1 \\ 1 \\ 0 \end{bmatrix},$$

$$B_3^i = \begin{bmatrix} \boxed{3} & 0 & \textcircled{1} & 0 \\ 0 & \boxed{1} & 0 & \textcircled{0} \\ \textcircled{1} & 0 & \boxed{2} & 0 \\ 0 & \textcircled{1} & 0 & \boxed{0} \end{bmatrix}, \quad C_3^i = \begin{bmatrix} \underline{3} \\ \underline{1} \\ \underline{2} \\ 1 \end{bmatrix}.$$

Como pode ser observado, todos os elementos diagonais das matrizes  $B_h^i$  ou  $B_h^j$ , que estão destacados dentro de retângulos, correspondem aos valores dos estados apresentados no vetor  $K_i$ . Na matriz  $B_h^i$ , os números circulados representam os valores do estado para o qual o DM  $i$  pode se mover a partir do estado indicado na linha, sendo esses valores derivados de  $C_{h-1}^j$ . Todas as outras posições na matriz  $B_h^i$  são iguais a 0. De forma análoga, na matriz  $B_h^j$ , os números circulados representam os valores do estado para o qual o DM  $j$  pode se deslocar a partir do estado da linha correspondente, com esses valores sendo obtidos a partir de  $C_{h-1}^i$ . Todas as demais posições na matriz  $B_h^j$  são iguais a  $|S| = 4$ . Os números sublinhados nos vetores  $C_h^i$  indicam aqueles que coincidem com o valor do próprio estado, sugerindo que o DM  $i$  preferiria permanecer nesses estados. Consequentemente, esses estados são considerados  $\text{Maximin}_h$  estáveis para o DM  $i$ , enquanto os demais não o são.

Na tabela abaixo, apresentamos os resultados da representação matricial para a estabilidade  $\text{Maximin}_h$  do DM  $i$ , considerando os horizontes  $h = 1, 2$  e  $3$ . As células da tabela correspondem aos valores da matriz de sinais do Teorema 4.2.2 para os estados indicados nas colunas, levando em conta o horizonte especificado nas linhas.

**Tabela 4.1 – Análise de estabilidade  $\text{Maximin}_h$  para o DM  $i$**

	$h$	$s_1$	$s_2$	$s_3$	$s_4$
<b>DM <math>i</math></b>	<b>1</b>	0	0	-1	-1
	<b>2</b>	0	0	0	-1
	<b>3</b>	0	0	0	-1

Rêgo e Vieira (2019) apresentaram um resultado que estabelece que a estabilidade  $\text{Maximin}_{2n+1}$  implica estabilidade  $\text{Maximin}_h$  para todos os  $h \geq 2n+1$ , e que a estabilidade  $\text{Maximin}_{2n}$  implica estabilidade  $\text{Maximin}_{2m}$  para todos os  $m$  tais que  $1 \leq m \leq n$ . Assim, se um estado satisfaz a estabilidade  $\text{Maximin}_3$  para o DM  $i$ , ele também satisfaz a estabilidade

$\text{Maximin}_h$  para cada  $h \geq 3$ . Por outro lado, se um estado não satisfizer a estabilidade  $\text{Maximin}_2$  para o DM  $i$ , ele não satisfará a estabilidade  $\text{Maximin}_h$  para qualquer valor de  $h$ . Usando esse resultado, observamos que, no conflito hipotético mencionado, os estados  $s_1$ ,  $s_2$  e  $s_3$  são  $\text{Maximin}_h$  estáveis para o DM  $i$  para cada  $h \geq 3$ , enquanto o estado  $s_4$  não é  $\text{Maximin}_h$  estável para nenhum valor de  $h$ .

#### 4.2.2 Representações matriciais de extensões do conceito $\text{Maximin}_h$

Os resultados matriciais para determinar estados estáveis de acordo com o conceito de estabilidade  $\text{Maximin}_h$  podem ser facilmente adaptados para o caso de conflitos com múltiplos DMs. Para este fim, como nos conflitos com múltiplos DMs, o DM focal considera as possíveis respostas dos oponentes, então a representação matricial do caso  $n$ -DM para a estabilidade de  $\text{Maximin}_h$  será idêntica ao caso de 2-DMs, substituindo apenas a matriz  $J_j$ , isto é, a matriz de acessibilidade do DM  $j$  pela matriz  $J_{N-i}$ , isto é, pela matriz de movimentos conjuntos de coalizão  $N - i$  na definição de matriz  $B_h^j$  apresentada na Equação 4.2.

Além disso, é importante notar que, na estabilidade de  $\text{Maximin}_h$ , os DMs podem optar por um movimento unilateral que não represente uma melhoria imediata, mas que antecipe um ganho futuro. No entanto, isso pode tornar o conceito de estabilidade  $\text{Maximin}_h$  não credível, uma vez que tais movimentos podem não ser sustentáveis ou confiáveis na prática.

No trabalho de Rêgo *et al.* (2022) foram propostas modificações da estabilidade  $\text{Maximin}_h$ , requerendo que ou o DM focal, os seus oponentes ou todos os envolvidos realizem apenas movimentos de UI. Neste estudo, os autores demonstraram que, quando se exige que o DM focal faça apenas movimentos UIs, os estados estáveis permanecem inalterados. No entanto, a estabilidade dos estados pode ser impactada se os oponentes do DM focal forem obrigados a fazer apenas UIs. Desta forma, é possível obter representações matriciais semelhantes às obtidas na subseção anterior, que facilitam a identificação de estados estáveis conforme o conceito de estabilidade Maximin credível do adversário. Para isso, a única modificação necessária é substituir a matriz  $J_j$ , ou seja, a matriz de acessibilidade de DM  $j$  pela matriz  $J_{N-i}^+$ , que representa a matriz de melhoria conjunta de coalizão  $N - i$  na definição de matriz de  $B_h^j$ , conforme apresentada na Equação 4.2.

## 4.3 APLICAÇÃO

Com o intuito de ilustrar a representação matricial do conceito  $\text{Maximin}_h$  proposto neste trabalho, consideramos um conflito real, conhecido na literatura do GMCR como o Sun Belt Vs. British Columbia Government (OBEIDI; HIPEL, 2005). Adicionalmente, apresentaremos também um conflito muito conhecido na literatura de teoria dos jogos, chamado de Dilema dos Prisioneiros, considerando  $n$  jogadores a fim de observar o custo de tempo para se fazer análise de estabilidade de acordo com os resultados matriciais obtidos neste capítulo a medida que o número de DMs aumenta.

### 4.3.1 Sun Belt Vs. British Columbia Government

A Sun Belt Water Inc., da Califórnia, formou uma parceria com uma empresa canadense, a qual possuía uma licença para exportar 200 acre-feet (247 milhões de litros) de água doce a granel por ano, transportada por caminhões-tanque da Colúmbia Britânica, no Canadá, para os Estados Unidos e outros países. Logo após o início da colaboração, o Goleta Water District, na Califórnia, convidou a Sun Belt para estabelecer um contrato para o fornecimento de água a granel via transporte marítimo.

Diante da perspectiva de aumento na demanda por água, a empresa canadense solicitou uma ampliação de sua autorização anual de fornecimento para 15.000 acre-feet (18,5 milhões de litros). Segundo a Sun Belt, o Governo da Colúmbia Britânica (BCG) informou que, se o pedido da empresa canadense atendesse aos requisitos normais da Lei da Água, a expansão da licença seria aprovada para atender às necessidades de água doce do Goleta Water District. A Goleta selecionou a Sun Belt como fornecedora preferencial para negociar um contrato de compra de água a granel.

No entanto, o BCG impôs uma moratória sobre a emissão de novas ou renovadas licenças de exportação de água, bloqueando assim o potencial negócio da Sun Belt com a Goleta. Em resposta, a Sun Belt contestou as ações do BCG e entrou com uma ação judicial reivindicando indenização por danos decorrentes da moratória.

O BCG concordou em iniciar negociações extrajudiciais separadas com as duas empresas envolvidas na *joint venture* da Sun Belt. Como resultado, foi firmado um acordo monetário de 220.000 com o parceiro canadense da *joint venture*, mas não com a Sun Belt, que reivindicava uma indenização de 46,8 milhões. Posteriormente, a legislatura provincial aprovou a Lei de Proteção da Água de 1995, que proíbe a exportação de água da Colúmbia Britânica em

contentores com dimensões ou capacidades adequadas, colocando assim a atividade da Sun Belt em risco.

Após buscar, sem sucesso, compensação nos tribunais da Colúmbia Britânica, a Sun Belt decidiu recorrer ao processo de resolução de litígios entre investidores e estados previsto no Acordo de Livre Comércio da América do Norte (NAFTA). A empresa apresentou uma notificação de intenção para requerer arbitragem contra o Canadá. Na sua notificação, a Sun Belt alega que o Canadá violou suas obrigações e cometeu diversos atos ilícitos por parte de ministros e funcionários dos governos federal e provincial da Colúmbia Britânica, bem como por parte de juízes (para mais detalhes sobre o caso e referências completas, consulte (OBEIDI, 2002)).

#### 4.3.1.1 Fases do conflito

A Figura 4.1 ilustra a cronologia do litígio com a Sun Belt, destacando a evolução dos eventos e a crescente complexidade do caso que, eventualmente, envolveu o governo federal canadense e outras províncias.

Inicialmente, quando o BCG impôs uma moratória temporária sobre as captações de água a granel, o Goleta Water District e a Sun Belt não possuíam um contrato vinculativo de fornecimento de água, e o NAFTA ainda não havia sido estabelecido. Entre março de 1991 e dezembro de 1998, as principais partes envolvidas no litígio eram a Sun Belt e o BCG.

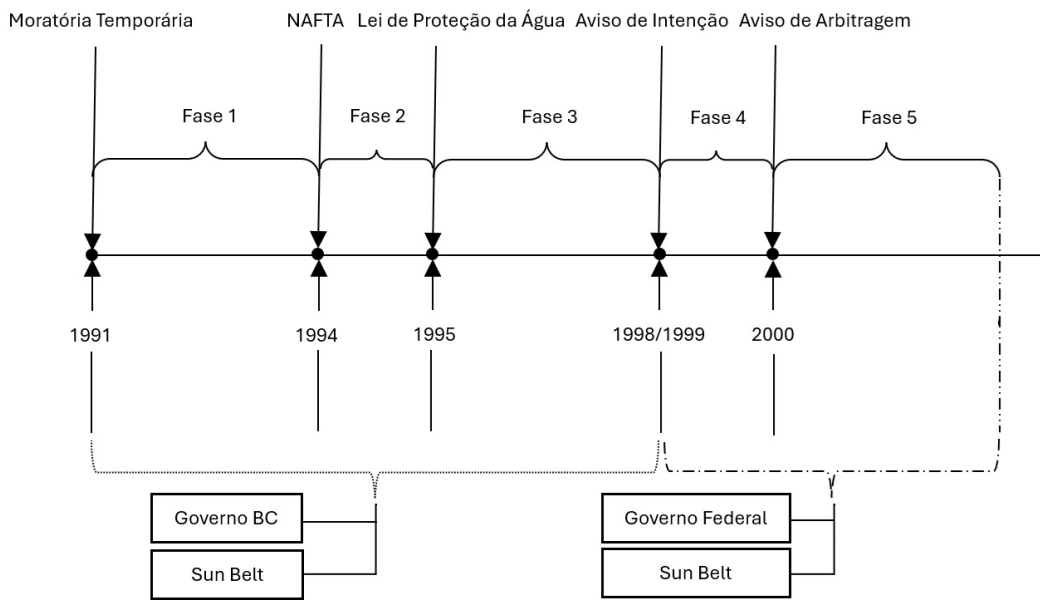
Com a percepção de que não conseguiria obter justiça nos tribunais da Colúmbia Britânica, a Sun Belt decidiu, em 1998, invocar o Capítulo 11 do NAFTA para processar o governo federal canadense. Essa decisão elevou o litígio a um novo patamar, abrangendo a totalidade do Canadá e envolvendo o governo federal na disputa.

Com base na Figura 4.1, o conflito entre a Sun Belt e o BCG pode ser dividido em três fases distintas:

- **Fase 1:** (1991 - 1994), implementação da NAFTA;
- **Fase 2:** (1994 - 1995), o BCG implementou a Lei de Proteção da Água;
- **Fase 3:** (1995 - 1998), A Sun Belt apresentou uma carta de intenções para resolver o litígio.

Para os propósitos deste capítulo, focaremos na Fase 3. Com a promulgação da Lei de Proteção da Água em 1995, o BCG enfrentou duas opções: litigar ou negociar. Neste contexto, ficou evidente que o BCG optou pela via judicial em vez da negociação.

**Figura 4.1 – Cronologia do litígio com a Sun Belt**



Fonte: Adaptado (OBEIDI; HIPEL, 2005)

#### 4.3.1.2 Análise de estabilidade Maximin<sub>h</sub> da fase 3 do conflito

Os estados viáveis da terceira fase do conflito e os grafos direcionados dos DMs envolvidos são apresentados, respectivamente, na Tabela 4.2 e na Figura 4.2. Para mais detalhes sobre o contexto deste conflito, consulte (OBEIDI; HIPEL, 2005).

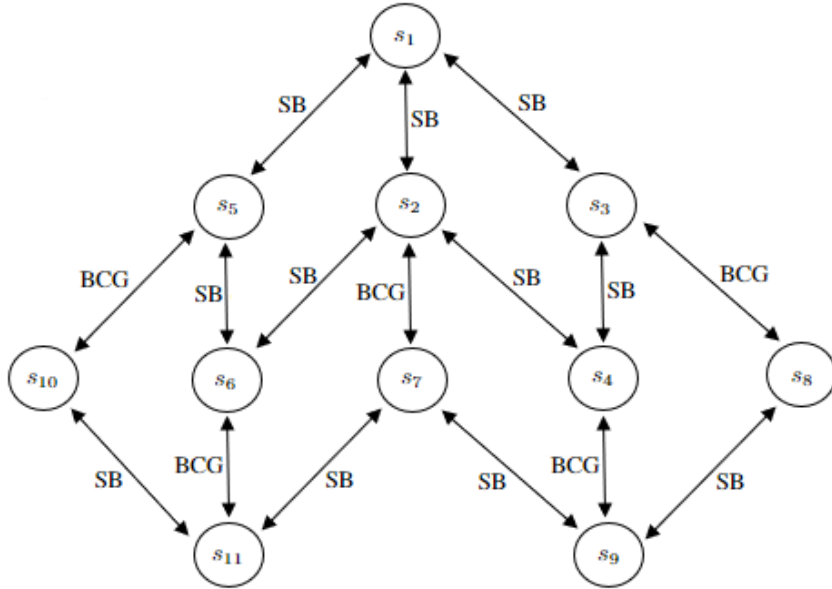
**Tabela 4.2 – DMs, opções e estados viáveis do conflito estratégico - Fase 3**

DMs	Opções	$s_1$	$s_2$	$s_3$	$s_4$	$s_5$	$s_6$	$s_7$	$s_8$	$s_9$	$s_{10}$	$s_{11}$
SB	Litigar	N	N	N	N	Y	Y	N	N	N	Y	Y
	Negociar	N	Y	N	Y	N	Y	Y	N	Y	N	Y
BCG	NAFTA	N	N	Y	Y	N	N	N	Y	Y	N	N
	Litigar	N	N	N	N	Y	Y	N	N	N	Y	Y
	Negociar	N	N	N	N	N	N	Y	Y	Y	Y	Y

Na Fase 3, existem 11 estados viáveis, cuja ordem de preferência para a Sun Belt (SB) é a seguinte:  $s_5 \succ_{SB} s_{11} \succ_{SB} s_6 \succ_{SB} s_3 \succ_{SB} s_{10} \succ_{SB} s_9 \succ_{SB} s_4 \succ_{SB} s_8 \succ_{SB} s_7 \succ_{SB} s_2 \succ_{SB} s_1$ . Nesta fase, o litígio é a opção mais preferida pela Sun Belt, seguido pela negociação e, por último, pela opção de arbitragem sob o NAFTA.

Para o BCG, a ordem de preferência dos estados é a seguinte:  $s_1 \succ_{BCG} s_2 \succ_{BCG} s_5 \succ_{BCG} s_6 \succ_{BCG} s_{11} \succ_{BCG} s_8 \succ_{BCG} s_7 \succ_{BCG} s_3 \succ_{BCG} s_4 \succ_{BCG} s_{10} \succ_{BCG} s_9$ . A BCG prefere a negociação ao litígio e demonstra resistência à ideia de usar o NAFTA para arbitragem.

**Figura 4.2 – Modelo de grafo para o conflito Sun Belt vs British Comumbia Government - Fase 3.**



As matrizes de acessibilidade dos DMs  $SB$  e  $BCG$  são, respectivamente:

$$J_{SB} = \begin{pmatrix} 0 & 1 & 1 & 0 & 1 & 0 & 0 & 0 & 0 & 0 & 0 \\ 1 & 0 & 0 & 1 & 0 & 1 & 0 & 0 & 0 & 0 & 0 \\ 1 & 0 & 0 & 1 & 0 & 0 & 0 & 0 & 0 & 0 & 0 \\ 0 & 1 & 1 & 0 & 0 & 0 & 0 & 0 & 0 & 0 & 0 \\ 1 & 0 & 0 & 0 & 0 & 1 & 0 & 0 & 0 & 0 & 0 \\ 0 & 1 & 0 & 0 & 1 & 0 & 0 & 0 & 0 & 0 & 0 \\ 0 & 0 & 0 & 0 & 0 & 0 & 1 & 0 & 0 & 0 & 0 \\ 0 & 0 & 0 & 0 & 0 & 0 & 0 & 1 & 0 & 0 & 0 \\ 0 & 0 & 0 & 0 & 0 & 0 & 0 & 0 & 1 & 0 & 0 \\ 0 & 0 & 0 & 0 & 0 & 0 & 0 & 0 & 0 & 1 & 0 \end{pmatrix} \quad \text{e} \quad J_{BCG} = \begin{pmatrix} 0 & 0 & 0 & 0 & 0 & 0 & 0 & 0 & 0 & 0 & 0 \\ 0 & 0 & 0 & 0 & 0 & 0 & 1 & 0 & 0 & 0 & 0 \\ 0 & 0 & 0 & 0 & 0 & 0 & 0 & 1 & 0 & 0 & 0 \\ 0 & 0 & 0 & 0 & 0 & 0 & 0 & 0 & 1 & 0 & 0 \\ 0 & 0 & 0 & 0 & 0 & 0 & 0 & 0 & 0 & 1 & 0 \\ 0 & 0 & 0 & 0 & 0 & 0 & 0 & 0 & 0 & 0 & 1 \\ 0 & 0 & 0 & 0 & 0 & 0 & 0 & 0 & 0 & 0 & 0 \\ 0 & 1 & 0 & 0 & 0 & 0 & 0 & 0 & 0 & 0 & 0 \\ 0 & 0 & 1 & 0 & 0 & 0 & 0 & 0 & 0 & 0 & 0 \\ 0 & 0 & 0 & 1 & 0 & 0 & 0 & 0 & 0 & 0 & 0 \\ 0 & 0 & 0 & 0 & 0 & 1 & 0 & 0 & 0 & 0 & 0 \end{pmatrix}.$$

As matrizes de preferência do DM  $SB$  e do DM  $BCG$ , na Fase 3 deste conflito, são, respectivamente, dadas por

$$P_{SB}^+ = \begin{pmatrix} 0 & 1 & 1 & 1 & 1 & 1 & 1 & 1 & 1 & 1 & 1 \\ 0 & 0 & 1 & 1 & 1 & 1 & 1 & 1 & 1 & 1 & 1 \\ 0 & 0 & 0 & 0 & 1 & 1 & 0 & 0 & 0 & 0 & 1 \\ 0 & 0 & 1 & 0 & 1 & 1 & 0 & 0 & 1 & 1 & 1 \\ 0 & 0 & 0 & 0 & 0 & 0 & 0 & 0 & 0 & 0 & 0 \\ 0 & 0 & 0 & 0 & 1 & 0 & 0 & 0 & 0 & 0 & 1 \\ 0 & 0 & 1 & 1 & 1 & 1 & 0 & 1 & 1 & 1 & 1 \\ 0 & 0 & 1 & 1 & 1 & 1 & 0 & 0 & 1 & 1 & 1 \\ 0 & 0 & 1 & 0 & 1 & 1 & 0 & 0 & 0 & 1 & 1 \\ 0 & 0 & 1 & 0 & 1 & 1 & 0 & 0 & 0 & 0 & 1 \\ 0 & 0 & 0 & 0 & 1 & 0 & 0 & 0 & 0 & 0 & 0 \end{pmatrix} \quad \text{e} \quad P_{BCG}^+ = \begin{pmatrix} 0 & 0 & 0 & 0 & 0 & 0 & 0 & 0 & 0 & 0 & 0 \\ 1 & 0 & 0 & 0 & 0 & 0 & 0 & 0 & 0 & 0 & 0 \\ 1 & 1 & 0 & 0 & 1 & 1 & 1 & 1 & 0 & 0 & 1 \\ 1 & 1 & 1 & 0 & 1 & 1 & 1 & 1 & 0 & 0 & 1 \\ 1 & 1 & 0 & 0 & 0 & 0 & 0 & 0 & 0 & 0 & 0 \\ 1 & 1 & 0 & 0 & 1 & 0 & 0 & 0 & 0 & 0 & 0 \\ 1 & 1 & 0 & 0 & 1 & 1 & 0 & 1 & 0 & 0 & 1 \\ 1 & 1 & 1 & 0 & 0 & 1 & 1 & 1 & 1 & 0 & 1 \\ 1 & 1 & 1 & 1 & 1 & 1 & 1 & 1 & 1 & 0 & 0 \\ 1 & 1 & 0 & 0 & 1 & 1 & 0 & 0 & 0 & 0 & 0 \end{pmatrix}.$$

Na Tabela 4.3, apresentamos os resultados da representação matricial para a estabilidade Maximin<sub>h</sub> com horizontes de até 20, na Fase 3 deste conflito. As células da Tabela 4.3 correspondem aos valores da matriz de sinal do Teorema 4.2.2 para os estados indicados nas colunas, considerando os horizontes apresentados nas linhas.

Na Fase 3 do conflito, para o DM  $SB$ , os estados  $s_3, s_5, s_9$  e  $s_{11}$  são estáveis segundo o critério de Nash e, consequentemente, satisfazem a estabilidade Maximin<sub>h</sub> para qualquer valor de  $h$ . Por outro lado, os estados  $s_4$  e  $s_6$  são estáveis apenas em horizontes pares. Isso ocorre porque, quando o DM  $SB$  é o último a mover-se, ele pode escapar à sanção, resultando na instabilidade desses estados em horizontes ímpares. No entanto, se o DM  $BCG$  for o último

**Tabela 4.3 – Análise de estabilidade  $\text{Maximin}_h$  até o horizonte 20 na Fase 3 do conflito**

	$h \leq 20$	$s_1$	$s_2$	$s_3$	$s_4$	$s_5$	$s_6$	$s_7$	$s_8$	$s_9$	$s_{10}$	$s_{11}$
SB	ímpar	-1	-1	0	-1	0	-1	-1	-1	0	-1	0
	par	-1	-1	0	0	0	0	-1	-1	0	-1	0
BCG	$h = 1$	0	0	-1	0	0	0	-1	0	-1	-1	-1
	$h > 1$	0	0	0	0	0	0	0	0	-1	-1	-1
<b>Eq.</b>	-			$h \geq 2$	$h$ par	$h \geq 1$	$h$ par					

a mover-se, ele pode sancionar o DM SB, tornando os estados  $s_4$  e  $s_6$  estáveis em qualquer horizonte par.

É importante destacar que a estabilidade dos estados  $s_4$  e  $s_6$  não pode ser determinada apenas por relações entre estabilidades  $\text{Maximin}_h$  ou entre  $\text{Maximin}_h$  e noções clássicas de estabilidade. Para compreender plenamente essa questão, é necessário realizar os cálculos específicos de estabilidade  $\text{Maximin}_h$ . Por fim, os estados  $s_1$ ,  $s_2$ ,  $s_7$ ,  $s_8$  e  $s_{10}$  não são GMR para o DM SB e, portanto, não satisfazem a estabilidade  $\text{Maximin}_h$  para qualquer valor de  $h$ .

Para o DM BCG, os estados  $s_1$ ,  $s_2$ ,  $s_4$ ,  $s_5$ ,  $s_6$  e  $s_8$  são estáveis segundo Nash e, consequentemente, em  $\text{Maximin}_h$  para qualquer valor de  $h$ . Por outro lado, os estados  $s_9$ ,  $s_{10}$  e  $s_{11}$  não são GMR para o DM BCG e, portanto, não satisfazem qualquer noção de estabilidade  $\text{Maximin}_h$ . Os estados  $s_3$  e  $s_7$ , embora sejam SMR, não são estáveis segundo Nash para o DM BCG e, assim, satisfazem a estabilidade  $\text{Maximin}_h$  apenas para valores de  $h$  superiores a 1.

Combinando esses resultados, podemos concluir que os estados  $s_3$  e  $s_5$  são equilíbrios  $\text{Maximin}_h$  para todos os  $h \geq 2$  e  $h \geq 1$ , respectivamente. O estado  $s_5$  possui o grau mais forte de estabilidade, uma vez que representa um equilíbrio de Nash ( $\text{Maximin}_1$ ). No estudo de Obeidi e Hipel (2005), os autores indicam que o desfecho real do conflito foi que o DM SB decidiu não prosseguir com o litígio e notificou o governo federal canadense sobre a intenção de arbitragem sob o Capítulo 11 do NAFTA. Essa situação é representada pelo estado  $s_3$ , que é menos preferido pelo DM SB em comparação ao estado  $s_5$ .

Adicionalmente, é importante observar que os estados  $s_4$  e  $s_6$  são equilíbrios  $\text{Maximin}_h$  apenas quando o horizonte é par. Isso demonstra que, embora o conceito de estabilidade  $\text{Maximin}_h$  seja equivalente a Nash, GMR, e SMR para horizontes 1, 2 e 3, respectivamente, como demonstrado em Rêgo e Vieira (2019), as representações matriciais desses conceitos, fornecidas em Xu *et al.* (2007 e 2008), não são suficientes para determinar estabilidades  $\text{Maximin}_h$  para  $h \geq 4$ . Nessa situação específica, não é possível inferir nada sobre a estabilidade  $\text{Maximin}_h$  para  $h \geq 4$  utilizando apenas essas equivalências com conceitos clássicos. Portanto, o método proposto neste trabalho é crucial para uma compreensão mais aprofundada do comportamento do

$\text{Maximin}_h$ , especialmente em grandes conflitos estratégicos envolvendo múltiplos DM e estados, analisados em horizontes mais longos.

Por fim, como esperado, os resultados da análise de estabilidade obtidos nesta aplicação são consistentes com os apresentados no artigo original de Obeidi e Hipel (2005), quando a análise é limitada a horizontes até 3. Contudo, com a nossa proposta de representação matricial, é possível estender essa análise para horizontes superiores, proporcionando uma visão mais ampla e detalhada da situação estratégica.

#### 4.3.2 Dilema dos Prisioneiros para $n$ jogadores

Com o intuito de demonstrar a eficiência da representação matricial da estabilidade  $\text{Maximin}_h$ , iremos apresentar uma aplicação matricial para o caso do Dilema dos Prisioneiros considerando  $n$  jogadores (NIPD), conforme descrito por Yao e Darwen (1993). O NIPD é um jogo mais realista e geral que pode auxiliar na modelagem de problemas sociais e econômicos. Neste trabalho, os autores examinam o impacto do número de jogadores no NIPD sobre a evolução da cooperação no grupo, mostrando que a cooperação tem menos probabilidade de surgir considerando um grande grupo quando comparado a um grupo pequeno.

Segundo Colman (2016), três propriedades podem ser definidas para o caso do Dilema do Prisioneiro com  $n$  jogadores:

- Os jogadores podem escolher entre Cooperar (C) e delatar (D);
- Para cada jogador a opção dominante é a D, ou seja, independente de quantos dos outros jogadores escolham cooperar, a opção D sempre será a melhor escolha para cada um deles;
- As estratégias dominantes D se intersectam em um ponto de equilíbrio não eficiente. Em um caso particular, em que o resultado se todos os jogadores escolherem as suas estratégias C, ou seja, não dominantes, é preferível, do ponto de vista de cada jogador, àquele em que todos escolhem D, mas ninguém está motivado para se desviar unilateralmente de D.

A Figura 4.3 representa a matriz de payoff do conflito Dilema dos Prisioneiros considerando  $n$  jogadores, sendo ela simétrica para cada jogador, em que,  $C_i$  é a ação de cooperar para o decisor  $i$  e  $D_i$  é a ação de delatar para o decisor  $i$ . Segundo Yao e Darwen (1993) as seguintes condições devem ser satisfeitas:

1.  $D_i > C_i$  para  $0 \leq i \leq n - 1$ ;
2.  $D_{i+1} > D_i$  e  $C_{i+1} > D_i$  para  $0 \leq i \leq n - 1$ ;
3.  $C_i > (D_i + C_{i-1})/2$  para  $0 \leq i \leq n - 1$ .

**Figura 4.3 – Matriz de payoff do Dilema dos Prisioneiros para  $n$  jogadores**  
*Número de cooperadores entre os  $n-1$  jogadores restantes*

		0	1	2	$\dots$	$n-1$
		$C_0$	$C_1$	$C_2$	$\dots$	$C_{n-1}$
<i>jogador A</i>	<i>C</i>					
	<i>D</i>	$D_0$	$D_1$	$D_2$	$\dots$	$D_{n-1}$

Fonte: Adaptada de (YAO; DARWEN, 1993)

Inúmeros valores satisfazem os requisitos apresentados na Figura 4.3. Yao e Darwen (1993) escolheram valores de forma que caso  $n_c$  seja o número de cooperadores no jogo de  $n$  jogadores, então o prêmio (payoff) por cooperação será  $2n_c - 2$  e o prêmio (payoff) por delatar será  $2n_c + 1$ . A Figura 4.4 ilustra um exemplo de um jogo com  $n$  jogadores.

**Figura 4.4 – Matriz de payoff para  $n$  jogadores**

*Número de cooperadores entre os  $n-1$  jogadores restantes*

		0	1	2	$\dots$	$n-1$
		0	2	4	$\dots$	$2(n-1)$
<i>jogador A</i>	<i>C</i>	0	2	4	$\dots$	$2(n-1)$
	<i>D</i>	1	3	5	$\dots$	$2(n-1)+1$

Fonte: (YAO; DARWEN, 1993)

#### 4.3.2.1 Dilema dos Prisioneiros para 3 jogadores

Neste cenário são considerados 3 prisioneiros, em que cada um deles deverá considerar as ações dos outros dois jogadores em relação a sua escolha. Desta forma, ele deverá considerar não apenas as consequências imediatas para ele, mas também para os demais jogadores. Ou seja, a dinâmica de traição, confiança e cooperação será ainda mais complexa se

comparada ao cenário de 2 DMs.

São 8 possíveis estados no caso do Dilema dos Prisioneiros para 3 DMs. Os três prisioneiros podem cooperar (CCC) e receber uma recompensa coletiva. Um dos jogadores pode trair enquanto os outros dois cooperam (CCD, CDC e DCC), esse jogador pode receber uma grande recompensa enquanto os outros recebem uma penalidade significativa. Dois jogadores podem trair enquanto o terceiro coopera (CDD, DCD e DDC), o terceiro pode receber uma penalidade severa enquanto os dois traidores recebem uma recompensa moderada. E por fim, os três jogadores podem trair (DDD) e serem punidos por isto. A Tabela 4.4 apresenta a relação entre os 8 possíveis estados e suas composições.

**Tabela 4.4 – Relação dos possíveis estados e suas composições - 3DMs**

Estados	Composições	Estados	Composições
$s_1$	CCC	$s_5$	DCC
$s_2$	CCD	$s_6$	DCD
$s_3$	CDC	$s_7$	DDC
$s_4$	CDD	$s_8$	DDD

A matriz de acessibilidade de cada decisor, neste cenário de 3 DMs, será uma matriz  $8 \times 8$ , ou seja, 8 possíveis escolhas que os jogadores podem realizar. Para exemplificar a movimentação de um DM considere, por exemplo, o DM 3. Este DM poderá realizar movimentos apenas no que diz respeito a posição dele (a terceira), ou seja, ele não consegue interferir na decisão dos seus oponentes. Como a última posição é referente a ele, desta forma, ele pode se mover de  $s_1$  (CCC) para  $s_2$  (CCD) e de  $s_2$  para  $s_1$ , mudando a opção de cooperar para delatar e de delatar para cooperar. As matrizes de acessibilidades, para cada um dos DMs considerados são apresentadas a seguir.

$$J_1 = \begin{pmatrix} 0 & 0 & 0 & 0 & 1 & 0 & 0 & 0 \\ 0 & 0 & 0 & 0 & 0 & 1 & 0 & 0 \\ 0 & 0 & 0 & 0 & 0 & 0 & 1 & 0 \\ 0 & 0 & 0 & 0 & 0 & 0 & 0 & 1 \\ 1 & 0 & 0 & 0 & 0 & 0 & 0 & 0 \\ 0 & 1 & 0 & 0 & 0 & 0 & 0 & 0 \\ 0 & 0 & 1 & 0 & 0 & 0 & 0 & 0 \\ 0 & 0 & 0 & 1 & 0 & 0 & 0 & 0 \end{pmatrix}, \quad J_2 = \begin{pmatrix} 0 & 0 & 1 & 0 & 0 & 0 & 0 & 0 \\ 0 & 0 & 0 & 1 & 0 & 0 & 0 & 0 \\ 1 & 0 & 0 & 0 & 0 & 0 & 0 & 0 \\ 0 & 1 & 0 & 0 & 0 & 0 & 0 & 0 \\ 0 & 0 & 0 & 0 & 0 & 0 & 1 & 0 \\ 0 & 0 & 0 & 0 & 0 & 0 & 0 & 1 \\ 0 & 0 & 0 & 0 & 1 & 0 & 0 & 0 \\ 0 & 0 & 0 & 0 & 0 & 1 & 0 & 0 \end{pmatrix} \text{ e } J_3 = \begin{pmatrix} 0 & 1 & 0 & 0 & 0 & 0 & 0 & 0 \\ 1 & 0 & 0 & 0 & 0 & 0 & 0 & 0 \\ 0 & 0 & 0 & 1 & 0 & 0 & 0 & 0 \\ 0 & 0 & 1 & 0 & 0 & 0 & 0 & 0 \\ 0 & 0 & 0 & 0 & 0 & 1 & 0 & 0 \\ 0 & 0 & 0 & 0 & 1 & 0 & 0 & 0 \\ 0 & 0 & 0 & 0 & 0 & 0 & 0 & 1 \\ 0 & 0 & 0 & 0 & 0 & 0 & 1 & 0 \end{pmatrix}.$$

Para encontrar os valores dos  $K_i$ 's na aplicação do Dilema dos Prisioneiros considerando 3 DMs, utilizaremos os payoffs apresentados na Figura 4.4.

**Tabela 4.5 –  $K'_i$ s do Dilema dos Prisioneiros com 3DMs**

Estados	Comp.	Cooperam	Não Cooperam
$s_1$	CCC	$K_1(s_1) = K_2(s_1) = K_3(s_1) = 2(n-1) = 4$	-
$s_2$	CCD	$K_1(s_2) = K_2(s_2) = 2(n-1) = 2$	$K_3(s_2) = 2(n-1) + 1 = 5$
$s_3$	CDC	$K_1(s_3) = K_3(s_3) = 2(n-1) = 2$	$K_2(s_3) = 2(n-1) + 1 = 5$
$s_4$	CDD	$K_1(s_4) = 2(n-1) = 0$	$K_2(s_4) = K_3(s_4) = 2(n-1) + 1 = 3$
$s_5$	DCC	$K_2(s_5) = K_3(s_5) = 2(n-1) = 2$	$K_1(s_5) = 2(n-1) + 1 = 5$
$s_6$	DCD	$K_2(s_6) = 2(n-1) = 0$	$K_1(s_6) = K_3(s_6) = 2(n-1) + 1 = 3$
$s_7$	DDC	$K_3(s_7) = 2(n-1) = 0$	$K_1(s_7) = K_2(s_7) = 2(n-1) + 1 = 3$
$s_8$	DDD	-	$K_1(s_8) = K_2(s_8) = K_3(s_8) = 2(n-1) + 1 = 1$

Desta forma, temos que,  $\mathbf{K}_1 = \begin{bmatrix} 4 \\ 2 \\ 2 \\ 0 \\ 5 \\ 3 \\ 3 \\ 1 \end{bmatrix}$ ,  $\mathbf{K}_2 = \begin{bmatrix} 4 \\ 2 \\ 5 \\ 3 \\ 2 \\ 0 \\ 3 \\ 1 \end{bmatrix}$  e  $\mathbf{K}_3 = \begin{bmatrix} 4 \\ 5 \\ 2 \\ 3 \\ 2 \\ 3 \\ 0 \\ 1 \end{bmatrix}$ .

A Tabela 4.6, apresenta os resultados da representação matricial para a estabilidade Maximin <sub>$h$</sub>  para vários horizontes considerando o conflito do Dilema dos Prisioneiros para 3 decisores. Cada célula da Tabela 4.6 referem-se ao valor da matriz sinal do Teorema 4.2.2 para o estado da coluna, considerando o horizonte apresentado na linha.

**Tabela 4.6 – Análise de estabilidade Maximin <sub>$h$</sub>  - 3 Decisores**

DMs	$h$	$s_1$	$s_2$	$s_3$	$s_4$	$s_5$	$s_6$	$s_7$	$s_8$
<b>1</b>	1	-1	-1	-1	-1	0	0	0	0
	$\geq 2$	0	0	0	0	0	0	0	0
<b>2</b>	1	-1	-1	0	0	-1	-1	0	0
	$\geq 2$	0	0	0	0	0	0	0	0
<b>3</b>	1	-1	0	-1	0	-1	0	-1	0
	$\geq 2$	0	0	0	0	0	0	0	0
<b>Eq.</b>	-	$h \geq 2$	$h \geq 1$						

Observando os resultados, temos que apenas o estado  $s_8$  é um equilíbrio de acordo com o conceito de estabilidade Maximin <sub>$h$</sub>  para qualquer horizonte  $h$ . Este resultado no conflito acaba por representar a situação em que todos os 3 DMs tendem a não cooperar (DDD). Podemos observar também que a partir do horizonte  $h = 2$  todos os estados são estáveis para todos os DMs.

#### 4.3.2.2 Dilema dos Prisioneiros para 4 jogadores

A fim de observar o custo de tempo para executar um conflito com mais decisores, consideraremos agora o Dilema dos Prisioneiros para 4 prisioneiros, em que cada um deles deverá considerar as ações dos outros três jogadores em relação a sua escolha. Neste conflito temos 16 possíveis estados, sendo eles apresentados na Tabela 4.7

**Tabela 4.7 – Relação dos possíveis estados e suas composições - 4 DMs**

Estados	Composições	Estados	Composições
$s_1$	CCCC	$s_9$	DCCC
$s_2$	CCCD	$s_{10}$	DCCD
$s_3$	CCDC	$s_{11}$	DCDC
$s_4$	CCDD	$s_{12}$	DCDD
$s_5$	CDCC	$s_{13}$	DDCC
$s_6$	CDCD	$s_{14}$	DDCD
$s_7$	CDDC	$s_{15}$	DDDC
$s_8$	CDDD	$s_{16}$	DDDD

As matrizes de acessibilidades de cada um dos 4 DMs são:

Os valores dos  $K_i$ 's na aplicação do Dilema dos Prisioneiros considerando 4 DMs também foram construídos utilizando os payoffs apresentados na Figura 4.4.

**Tabela 4.8 –  $K_i$ 's do Dilema dos Prisioneiros com 4 DMs**

Estados	Composições	Cooperam	Não Cooperam
$s_1$	CCCC	$K_1(s_1) = K_2(s_1) = K_3(s_1) = K_4(s_1) = 6$	-
$s_2$	CCCD	$K_1(s_2) = K_2(s_2) = K_3(s_2) = 4$	$K_4(s_2) = 7$
$s_3$	CCDC	$K_1(s_3) = K_2(s_3) = K_4(s_3) = 4$	$K_3(s_3) = 7$
$s_4$	CCDD	$K_1(s_4) = K_2(s_4) = 2$	$K_3(s_4) = K_4(s_4) = 5$
$s_5$	CDCC	$K_1(s_5) = K_3(s_5) = K_4(s_5) = 4$	$K_2(s_5) = 7$
$s_6$	CDCD	$K_1(s_6) = K_3(s_6) = 2$	$K_2(s_6) = K_4(s_6) = 5$
$s_7$	CDDC	$K_1(s_7) = K_4(s_7) = 2$	$K_2(s_7) = K_3(s_7) = 5$
$s_8$	CDDD	$K_1(s_8) = 0$	$K_2(s_8) = K_3(s_8) = K_4(s_8) = 3$
$s_9$	DCCC	$K_2(s_9) = K_3(s_9) = K_4(s_9) = 4$	$K_1(s_9) = 7$
$s_{10}$	DCCD	$K_2(s_{10}) = K_3(s_{10}) = 2$	$K_1(s_{10}) = K_4(s_{10}) = 5$
$s_{11}$	DCDC	$K_1(s_{11}) = K_4(s_{11}) = 5$	$K_1(s_{11}) = K_3(s_{11}) = 5$
$s_{12}$	DCDD	$K_2(s_{12}) = 0$	$K_1(s_{12}) = K_3(s_{12}) = K_4(s_{12}) = 3$
$s_{13}$	DDCC	$K_3(s_{13}) = K_4(s_{13}) = 2$	$K_1(s_{13}) = K_2(s_{13}) = 5$
$s_{14}$	DDCD	$K_3(s_{14}) = 0$	$K_1(s_{14}) = K_2(s_{14}) = K_4(s_{14}) = 3$
$s_{15}$	DDDC	$K_4(s_{15}) = 0$	$K_1(s_{15}) = K_2(s_{15}) = K_3(s_{15}) = 3$
$s_{16}$	DDDD	-	$K_1(s_{16}) = K_2(s_{16}) = K_3(s_{16}) = K_4(s_{16}) = 1$

Desta forma, temos que,  $\mathbf{K}_1^T = [6 \ 4 \ 4 \ 2 \ 4 \ 2 \ 2 \ 0 \ 7 \ 5 \ 5 \ 3 \ 5 \ 3 \ 3 \ 1]$ ,

$\mathbf{K}_2^T = [6 \ 4 \ 4 \ 2 \ 7 \ 5 \ 5 \ 3 \ 4 \ 2 \ 2 \ 0 \ 5 \ 3 \ 3 \ 1]$ ,

$\mathbf{K}_3^T = [6 \ 4 \ 7 \ 5 \ 4 \ 2 \ 5 \ 3 \ 4 \ 2 \ 5 \ 3 \ 2 \ 0 \ 3 \ 1]$  e

$\mathbf{K}_4^T = [6 \ 7 \ 4 \ 5 \ 4 \ 5 \ 2 \ 3 \ 4 \ 5 \ 2 \ 3 \ 2 \ 3 \ 0 \ 1]$

A Tabela 4.9, apresenta os resultados da representação matricial para a estabilidade Maximin<sub>*h*</sub> para vários horizontes considerando o conflito do Dilema dos Prisioneiros com 4 decisores. Cada célula da Tabela 4.9 referem-se ao valor da matriz sinal do Teorema 4.2.2 para o estado da coluna, considerando o horizonte apresentado na linha. Nota-se que apenas o estado  $s_{16}$ , situação em que todos os 4 DMs não cooperam, é um equilíbrio segundo o conceito de estabilidade Maximin<sub>*h*</sub>, considerando qualquer horizonte *h*. Podemos observar também que a partir do horizonte 2 todos os estados são Maximin<sub>*h*</sub> estáveis para todos os DMs.

**Tabela 4.9 – Análise de estabilidade Maximin<sub>*h*</sub> - 4 Decisores**

DMs	<i>h</i>	$s_1$	$s_2$	$s_3$	$s_4$	$s_5$	$s_6$	$s_7$	$s_8$	$s_9$	$s_{10}$	$s_{11}$	$s_{12}$	$s_{13}$	$s_{14}$	$s_{15}$	$s_{16}$
<b>1</b>	1	-1	-1	-1	-1	-1	-1	-1	0	0	0	0	0	0	0	0	
	$\geq 2$	0	0	0	0	0	0	0	0	0	0	0	0	0	0	0	
<b>2</b>	1	-1	-1	-1	0	0	0	0	-1	-1	-1	-1	0	0	0	0	
	$\geq 2$	0	0	0	0	0	0	0	0	0	0	0	0	0	0	0	
<b>3</b>	1	-1	-1	0	0	-1	-1	0	0	-1	-1	0	0	-1	-1	0	
	$\geq 2$	0	0	0	0	0	0	0	0	0	0	0	0	0	0	0	
<b>4</b>	1	-1	0	-1	0	-1	0	-1	0	-1	0	-1	0	-1	0	0	
	$\geq 2$	0	0	0	0	0	0	0	0	0	0	0	0	0	0	0	
<b>Eq.</b>	<i>h</i>	$\geq 2$	$\geq 1$														

A Tabela 4.10 apresenta o tempo (em segundos) de execução do código *Maximin<sub>h</sub>* para os conflitos que consideram 2, 3 e 4 DMs. São consideradas três medidas principais:

- **Usuário:** Tempo de CPU gasto pelo processo em execução, ou seja, o tempo gasto pela

CPU para executar as operações da função.

- **Sistema:** Tempo de CPU gasto pelo sistema operacional em nome do processo, por exemplo, para tarefas como operações de entrada/saída.
- **Decorrido:** Tempo real decorrido desde o início até o fim da execução da função, ou seja, o tempo total “de parede” (*wall clock time*).

**Tabela 4.10 – Tempo de execução Maximin<sub>h</sub> - n Decisores**

Qnt. DMs	Tempo		
	Usuário	Sistema	Decorrido
2	0.03	0.00	0.03
3	0.05	0.00	0.14
4	0.20	0.00	0.63

Como esperado, o tempo de execução aumenta conforme o número de DM’s é incrementado. Porém, cabe enfatizar que todos os tempos ficaram abaixo de 1 segundo.

#### 4.4 CONCLUSÃO

Neste capítulo, foram apresentadas representações matriciais para determinar os estados  $\text{Maximin}_h$  estáveis dentro do GMCR, abrangendo tanto conflitos bilaterais quanto multilaterais. Além disso, introduzimos representações voltadas para a análise de estabilidades  $\text{Maximin}_h$  credíveis.

Embora as tarefas envolvidas na análise matricial possam parecer complexas, elas podem ser implementadas facilmente em qualquer linguagem de programação. As operações matriciais necessárias incluem multiplicação, produto de Hadamard, complemento, transposição, e cálculo de máximos e mínimos, todas com complexidade polinomial em relação ao número de estados viáveis.

Esse resultados são significativos, pois a estabilidade  $\text{Maximin}_h$  e  $\text{Maximin}_h$  credíveis generalizam conceitos de estabilidade amplamente utilizados, como Nash, GMR, SMR, SEQ e SSEQ. Com o auxílio das representações matriciais propostas, é possível realizar uma análise completa de um conflito, considerando qualquer horizonte e levando em conta ou não a restrição de sanções credíveis.

Ilustramos a aplicação dos métodos propostos na análise da Fase 3 do conflito entre Sun Belt e o Governo da Colúmbia Britânica. Com os métodos matriciais, determinamos para quais horizontes os estados são estáveis de acordo com a estabilidade  $\text{Maximin}_h$ . Nesta análise, estendemos a análise de estabilidade até o horizonte 20.

Além disso, a fim de demonstrar a eficiência do método matricial e o tempo computacional de execução a medida que incrementamos o número de jogadores, realizamos a aplicação do conflito do Dilema dos Prisioneiros para  $n$  tomadores de decisão. Verificou-se que, à medida que o valor de  $n$  aumenta, maior será o tempo de execução, refletindo a crescente complexidade do problema.

## 5 REPRESENTAÇÃO MATRICIAL DA ESTABILIDADE DE MOVIMENTO LIMITADO ( $L_h$ ) NO MODELO DE GRAFOS PARA RESOLUÇÃO DE CONFLITOS COM 2 DECISORES

### 5.1 INTRODUÇÃO

O presente capítulo visa apresentar representações matriciais para alcançar estados estáveis de acordo com o conceito de estabilidade de movimento limitado ( $L_h$ ) para conflitos bilaterais, de maneira análoga ao que foi desenvolvido, no capítulo anterior, para a estabilidade  $\text{Maximin}_h$ . Como vimos, no conceito  $\text{Maximin}_h$ , o DM focal não utiliza informações sobre as preferências do oponente, presumindo que este tomará a ação que minimiza os ganhos do DM focal. Deste modo, isto resulta em alternâncias entre movimentos de maximização e minimização, dependendo de quem está agindo, seja o decisor focal ou seu oponente, respectivamente. Por outro lado, no conceito  $L_h$  as preferências de ambos os DMs devem ser de conhecimento comum, resultando em ambos realizando movimentos de maximização de acordo com suas próprias preferências.

Intuitivamente, teremos que além de usar a matriz de *payoffs*  $K_i$  do DM focal, usar a matriz  $K_j$  de *payoffs* do oponente do DM focal. Assim como no caso do  $\text{Maximin}_h$ , teremos que definir matrizes que representam os *payoffs* que os DMs esperam receber ao final do conflito ao mudarem o conflito do estado da linha para o estado da coluna considerando um determinado horizonte de análise  $h$ . Estas matrizes também serão definidas recursivamente e a cada passo deverá ser registrado além do maior *payoff* que pode ser obtido pelo DM, ao se mover de cada estado, qual é o estado da coluna que atinge este maior valor de *payoff*.

Na Seção 5.2, apresentamos nossa proposta de como deverá ser feita esta recursão. Além disso, demonstramos que as estabilidades  $L_h$  podem ser obtida a partir das representações matriciais apresentadas e implementamos computacionalmente estas operações matriciais. A metodologia é ilustrada detalhadamente em uma aplicação no jogo do Dilema dos prisioneiros na Seção 5.2.1. A análise do conflito real de seleção tecnológica de neurociência na China (ZHOU; WANG, 2018) por meio do conceito  $L_h$  foi realizada na Seção 5.2.2. Adicionalmente, essa metodologia nos permitiu analisar o comportamento dinâmico ou oscilatório que ocorre na estabilidade  $L_h$  (FANG; HIPEL; KILGOUR, 1993) considerando todos os jogos  $2 \times 2$ , descritos conforme a tabela periódica (BRUNS, 2015b) na Seção 5.2.3, além, também, da identificação dos seus respectivos ciclos.

## 5.2 REPRESENTAÇÕES MATRICIAIS DA ESTABILIDADE $L_h$ NO GMCR

Nesta seção, iremos propor a representação matricial da estabilidade  $L_h$ . Na estabilidade  $\text{Maximin}_h$ , o decisior focal observa qual será a pior consequência que ele poderia obter em relação a cada uma das suas possíveis ações e, dada esta análise, ele escolhe a ação que, no pior cenário, lhe oferece a melhor consequência. Recorde que, no caso da estabilidade  $L_h$ , os tomadores de decisão se movem a fim de obterem o melhor resultado possível para eles próprios, utilizando o conhecimento prévio sobre as preferências de todos os DMs envolvidos no conflito.

O primeiro passo na construção da nova representação matricial é definir a matriz de ganho antecipado, denotada por  $\mathcal{B}_h^i$ , que o DM  $i$  espera receber após um horizonte  $h$ , se ele for o primeiro a se mover. Nesta matriz, as linhas representam o que o DM  $i$  prevê receber ao final do conflito se o estado do conflito mudar do estado da linha para o estado da coluna.

A seguir, vamos definir uma importante matriz, denominada de  $\text{ArgMax}(A)$ , que será importante para uma boa compreensão de alguns resultados que apresentaremos abaixo.

**Definição 5.2.1** Seja  $A = [a_{tk}]$  uma matriz de ordem  $|S|$ , então  $\text{ArgMax}(A)$  é também uma matriz de ordem  $|S|$  tal que:

$$\text{ArgMax}(A)[(t, k)] = \begin{cases} 1, & \text{se } t = k \text{ e } a_{kk} \geq a_{tl}, \forall 1 \leq l \leq |S| \\ 1, & \text{se } a_{tk} > a_{kk}, a_{tk} \geq a_{tl}, \forall 1 \leq l \leq |S| \\ & \text{e se existir } l \text{ tal que } a_{tk} = a_{tl}, \text{ então } k < l \\ 0, & \text{caso contrário.} \end{cases}$$

Desta forma, para qualquer  $j \in N$  e horizonte  $h$ , seja  $D_h^j$  uma matriz quadrada de ordem  $|S|$ , tal que

$$D_h^j = \text{ArgMax}(\mathcal{B}_h^j).$$

Podemos agora definir a matriz  $\mathcal{B}_h^i$  recursivamente. Considerando  $h = 1$ , temos,

$$\mathcal{B}_1^i = \left( J_i \circ (\mathbf{K}_i \cdot E')^\top + I \circ (\mathbf{K}_i \cdot E')^\top \right)$$

e quando  $h \geq 2$  temos que,

$$\mathcal{B}_h^i = \left( (J_i \circ (((D_{h-1}^j \circ (E - I)) \cdot \mathcal{C}_{h-2}^i + (D_{h-1}^j \circ I) \cdot \mathbf{K}_i) \cdot E')^\top) + I \circ (\mathbf{K}_i \cdot E')^\top \right),$$

em que  $j \neq i$ ,  $\mathcal{C}_0^i = \mathbf{K}_i$ ,  $\mathcal{C}_0^j = \mathbf{K}_j$ ,  $\mathcal{C}_h^i = \max(\mathcal{B}_h^i)$ ,  $\forall h \geq 1$ .

O Lema 5.2.1 a seguir tem o intuito de estabelecer que a entrada  $(s, 1)$  da matriz coluna  $\mathcal{C}_h^i$  seja igual ao ganho máximo que o DM poderá obter caso escolha permanecer em  $s$  ou se afastar de  $s$  e ambos os DMs se movem a fim de maximizar o seu próprio *payoff* a cada rodada.

**Lema 5.2.1** *Para quaisquer estados  $s_t, s_k \in S$  e para todo inteiro positivo  $h$ :*

$$\mathcal{B}_h^i(s_t, s_k) = \begin{cases} K_i(s_k), & s_k = s_t \\ K_i(G_{h-1}(j, s_k)), & s_k \in R_i(s_t) \\ 0, & \text{caso contrário,} \end{cases}$$

e

$$\mathcal{C}_h^i(s_t, 1) = \max \{ \{K_i(s_t)\} \cup \{K_i(G_{h-1}(j, s_k)) : s_k \in R_i(s_t)\} \} = \max \{K_i(s_t), A_h(i, s_t)\}.$$

**Prova:** Para provarmos esse resultado vamos usar indução matemática em  $h$ . Dessa forma, é necessário verificar primeiro a etapa base da indução, verificando o caso  $h = 1$ , para  $\mathcal{C}_h^i(s, 1)$ . Pela definição da estabilidade  $L_h$ , temos que,

$$\begin{aligned} A_1(i, s_t) &= K_i(G_0(j, M_h(i, s_t))) \\ &= \max \{K_i(s_k) : s_k \in R_i(s_t)\}. \end{aligned}$$

Além disso, note que  $\mathcal{C}_1^i(s_t, 1) = \max(\mathcal{B}_1^i)(s_t, 1)$ , onde

$$\begin{aligned}
\mathcal{B}_1^i(s_t, s_k) &= \left[ \left( (J_i \circ (\mathbf{K}_i \cdot E')^\top + I \circ (\mathbf{K}_i \cdot E')^\top) \right) \right] (s_t, s_k) \\
&= \begin{cases} K_i(s_k) & \text{se } s_k \in R_i(s_t) \cup \{s_t\} \\ 0 & \text{caso contrário} \end{cases} \\
&= \begin{cases} K_i(s_k) & \text{se } s_k = s_t \\ K_i(G_0(j, s_k)) & \text{se } s_k \in R_i(s_t) \\ 0 & \text{caso contrário.} \end{cases}
\end{aligned}$$

Assim, segue-se que

$$\begin{aligned}
\mathcal{C}_1^i(s_t, 1) &= \max(\mathcal{B}_1^i)(s_t, 1) \\
&= \max \{ \mathcal{B}_1^i(s_t, s_k), \forall s_k \in S \} \quad \forall s_t \in S.
\end{aligned}$$

Ou seja,

$$\begin{aligned}
\mathcal{C}_1^i(s_t, 1) &= \max \{ K_i(s_k) : s_k \in R_i(s_t) \cup \{s_t\} \} \\
&= \max \{ A_1(i, s_t), K_i(s_t) \}.
\end{aligned}$$

Como  $\mathcal{B}_h^i$  é definido em termos que  $\mathcal{C}_{h-2}^i$ , vamos provar também que para  $h = 2$  o lema é válido. Pela definição da estabilidade  $L_h$ , temos que,

$$\begin{aligned}
A_2(i, s_t) &= K_i(G_1(j, M_h(i, s_t))) \\
&= \max \{ K_i(G_1(j, s_k)) : s_k \in R_i(s_t) \} \\
&= \max \{ K_i(s_u) : s_u \in \text{argmax} \{ K_j(s_u) : s_u \in \{s_k\} \cup R_j(s_k), s_k \in R_i(s_t) \} \}.
\end{aligned}$$

Além disso, note que  $\mathcal{C}_2^i(s_t, 1) = \text{Max}(\mathcal{B}_2^i)(s_t, 1)$ , onde

$$\begin{aligned}
\mathcal{B}_2^i(s_t, s_k) &= \left( (J_i \circ (((D_1^j \circ (E - I)) \cdot \mathcal{C}_0^i + (D_1^j \circ I) \cdot \mathbf{K}_i) \cdot E')^\top) + I \circ (\mathbf{K}_i \cdot E')^\top \right) (s_t, s_k) \\
&= \begin{cases} K_i(s_k), & s_k = s_t \\ K_i(s_u), & s_k \in R_i(s_t), s_u \in R_j(s_k) \text{ e } D_1^j(s_k, s_u) = 1 \\ K_i(s_k), & s_k \in R_i(s_t) \text{ e } D_1^j(s_k, s_k) = 1 \\ 0 & \text{caso contrário} \end{cases} \\
&= \begin{cases} K_i(s_k), & s_k = s_t \\ K_i(s_u), & s_k \in R_i(s_t), s_u \in R_j(s_k), \mathcal{B}_1^j(s_k, s_u) > \mathcal{B}_1^j(s_k, s_k) \\ & \text{e } \mathcal{B}_1^j(s_k, s_u) \geq \mathcal{B}_1^j(s_k, s_l), \forall s_l \in S \\ K_i(s_k), & s_k \in R_i(s_t) \text{ e } \mathcal{B}_1^j(s_k, s_k) \geq \mathcal{B}_1^j(s_k, s_u), \forall s_u \in S \\ 0 & \text{caso contrário.} \end{cases}
\end{aligned}$$

Pelo caso  $h = 1$ , temos que

$$\begin{aligned}
\mathcal{B}_2^i(s_t, s_k) &= \begin{cases} K_i(s_k), & s_k = s_t \\ K_i(s_u), & s_k \in R_i(s_t), s_u \in R_j(s_k), K_j(s_u) > K_j(s_k) \\ & \text{e } K_j(s_u) \geq K_j(s_l), \forall s_l \in R_j(s_k) \\ K_i(s_k), & s_k \in R_i(s_t) \text{ e } K_j(s_k) \geq K_j(s_u), \forall s_u \in R_j(s_k) \\ 0 & \text{caso contrário} \end{cases} \\
&= \begin{cases} K_i(s_k), & s_k = s_t \\ K_i(s_u), & s_k \in R_i(s_t) \\ 0 & \text{caso contrário,} \end{cases}
\end{aligned}$$

em que  $s_u \in \text{argmax}\{K_j(s_u) : s_u \in \{s_k\} \cup R_j(s_k)\}$ . Logo, temos que

$$\mathcal{B}_2^i(s_t, s_k) = \begin{cases} K_i(s_k), & s_k = s_t \\ K_i(G_1(j, s_k)), & s_k \in R_i(s_t) \\ 0 & \text{caso contrário.} \end{cases}$$

Assim, segue-se que

$$\begin{aligned}
\mathcal{C}_2^i(s_t, 1) &= \max(\mathcal{B}_2^i)(s_t, 1) \\
&= \max \{ \mathcal{B}_2^i(s_t, s_k), \forall s_k \in S \} \forall s_t \in S.
\end{aligned}$$

Ou seja,

$$\mathcal{C}_2^i(s_t, 1) = \text{Max} \{ \{K_i(s_t)\} \cup \{K_i(G_1(j, s_k)) : s_k \in R_i(s_t)\} \} = \text{Max} \{K_i(s_t), A_2(i, s_t)\}.$$

Vamos assumir que estas igualdades são válidas para  $h-1$  e  $h-2$ , ou seja,

$$\mathcal{B}_{h-1}^i(s_t, s_k) = \begin{cases} K_i(s_k), & s_k = s_t \\ K_i(G_{h-2}(j, s_k)), & s_k \in R_i(s_t) \\ 0, & \text{caso contrário,} \end{cases}$$

$$\mathcal{B}_{h-2}^i(s_t, s_k) = \begin{cases} K_i(s_k), & s_k = s_t \\ K_i(G_{h-3}(j, s_k)), & s_k \in R_i(s_t) \\ 0, & \text{caso contrário,} \end{cases}$$

$$\mathcal{C}_{h-1}^i(s_t, 1) = \max \{A_{h-1}(i, s_t), K_i(s_t)\}$$

e

$$\mathcal{C}_{h-2}^i(s_t, 1) = \max \{A_{h-2}(i, s_t), K_i(s_t)\}.$$

Vamos agora analisar o caso  $h$ . Pela definição de  $L_h$ , temos que

$$\begin{aligned}
A_h(i, s_t) &= K_i(G_{h-1}(j, M_h(i, s_t))) \\
&= \max \{K_i(G_{h-1}(j, s_k)) : s_k \in R_i(s_t)\} \\
&= \begin{cases} K_i(s_k) & K_j(s_k) \geq A_{h-1}(j, s_k), s_k \in R_i(s_t) \\ K_i(G_{h-2}(i, M_{h-1}(j, s_k))) & K_j(s_k) < A_{h-1}(j, s_k), s_k \in R_i(s_t) \end{cases} \\
&= \begin{cases} K_i(s_k) & K_j(s_k) \geq A_{h-1}(j, s_k), s_k \in R_i(s_t) \\ \max\{K_i(G_{h-2}(i, s_u)) : s_u \in R_j(s_k)\} & K_j(s_k) < A_{h-1}(j, s_k), s_k \in R_i(s_t) \end{cases} \\
&= \begin{cases} K_i(s_k) & K_j(s_k) \geq A_{h-1}(j, s_k), s_k \in R_i(s_t) \\ \max\{\{K_i(s_u), A_{h-2}(i, s_u)\} : s_u \in R_j(s_k)\} & K_j(s_k) < A_{h-1}(j, s_k), s_k \in R_i(s_t). \end{cases}
\end{aligned}$$

Sabemos que,

$$\begin{aligned}
\mathcal{B}_h^i(s_t, s_k) &= \left( (J_i \circ (((D_{h-1}^j \circ (E - I)) \cdot \mathcal{C}_{h-2}^i + (D_{h-1}^j \circ I) \cdot \mathbf{K}_i) \cdot E')^\top) + I \circ (\mathbf{K}_i \cdot E')^\top \right) (s_t, s_k) \\
&= \begin{cases} K_i(s_k), & s_k = s_t \\ \mathcal{C}_{h-2}^i(s_u, 1), & s_k \in R_i(s_t), s_u \in R_j(s_k) \text{ e } D_{h-1}^j(s_k, s_u) = 1 \\ K_i(s_k), & s_k \in R_i(s_t) \text{ e } D_{h-1}^j(s_k, s_k) = 1 \\ 0 & \text{caso contrário} \end{cases} \\
&= \begin{cases} K_i(s_k), & s_k = s_t \\ \mathcal{C}_{h-2}^i(s_u, 1), & s_k \in R_i(s_t), s_u \in R_j(s_k), \mathcal{B}_{h-1}^j(s_k, s_u) > \mathcal{B}_{h-1}^j(s_k, s_k) \\ & \text{e } \mathcal{B}_{h-1}^j(s_k, s_u) \geq \mathcal{B}_{h-1}^j(s_k, s_l), \forall s_l \in S \\ K_i(s_k), & s_k \in R_i(s_t) \text{ e } \mathcal{B}_{h-1}^j(s_k, s_k) \geq \mathcal{B}_{h-1}^j(s_k, s_u), \forall s_u \in S \\ 0 & \text{caso contrário.} \end{cases}
\end{aligned}$$

Usando o caso  $h - 1$  para substituir o valor de  $\mathcal{B}_{h-1}^j$ , temos que

$$\mathcal{B}_h^i(s_t, s_k) = \begin{cases} K_i(s_k), & s_k = s_t \\ \mathcal{C}_{h-2}^i(s_u, 1), & s_k \in R_i(s_t), s_u \in R_j(s_k), K_j(G_{h-2}(i, s_u)) > K_j(s_k) \\ & \text{e } K_j(G_{h-2}(i, s_u)) \geq K_j(G_{h-2}(i, s_l)), \forall s_l \in R_j(s_k) \\ K_i(s_k), & s_k \in R_i(s_t) \text{ e } K_j(s_k) \geq K_j(G_{h-2}(i, s_u)), \forall s_u \in R_j(s_k) \\ 0 & \text{caso contrário.} \end{cases}$$

Em seguida, usando o caso  $h - 2$  para substituir o valor de  $\mathcal{C}_{h-2}^i(s_u, 1)$ , temos

$$\begin{aligned} \mathcal{B}_h^i(s_t, s_k) &= \begin{cases} K_i(s_k), & s_k = s_t \\ \max \{A_{h-2}(i, s_u), K_i(s_u)\}, & s_k \in R_i(s_t), s_u \in R_j(s_k), K_j(G_{h-2}(i, s_u)) > K_j(s_k) \\ & \text{e } K_j(G_{h-2}(i, s_u)) \geq K_j(G_{h-2}(i, s_l)), \forall s_l \in R_j(s_k) \\ K_i(s_k), & s_k \in R_i(s_t) \text{ e } K_j(s_k) \geq K_j(G_{h-2}(i, s_u)), \forall s_u \in R_j(s_k) \\ 0 & \text{caso contrário} \end{cases} \\ &= \begin{cases} K_i(s_k), & s_k = s_t \\ K_i(G_{h-1}(j, s_k)), & s_k \in R_i(s_t) \\ 0, & \text{caso contrário.} \end{cases} \end{aligned}$$

Portanto, temos que

$$\mathcal{C}_h^i(s_t, 1) = \max \{ \{K_i(s_t)\} \cup \{K_i(G_{h-1}(j, s_k)) : s_k \in R_i(s_t)\} \} = \max \{K_i(s_t), A_h(i, s_t)\}.$$

■

O Teorema 5.2.2 fornece o resultado matricial que visa obter estados estáveis de acordo com o conceito de estabilidade  $L_h$ .

**Teorema 5.2.2** Um estado  $s \in S$  é  $L_h$  para o DM  $i$  se somente se,  $(\sin(\mathbf{K}_i - \mathcal{C}_h^i))(s, 1) = 0$ .

**Prova:** A prova neste caso é similar a prova do Teorema 4.2.2, fazendo uso do Lema 5.2.1.

Se  $(\sin(\mathbf{K}_i - \mathcal{C}_h^i))(s, 1) = 0$ , então isto implica que  $\mathbf{K}_i(s, 1) = \mathcal{C}_h^i(s, 1)$ , assim, como pelo Lema 5.2.1,  $\mathcal{C}_h^i(s, 1) = \max \{K_i(s), A_h(i, s)\}$ , então,  $K_i(s) \geq A_h(i, s)$ . Assim, teremos  $G_h(i, s) = s$ , o que implica que  $s$  é  $L_h$  estável para o DM  $i$ .

Se  $(\text{sinal}(\mathbf{K}_i - \mathcal{C}_h^i))(s, 1) < 0$ , então isto implica que  $\mathbf{K}_i(s, 1) < \mathcal{C}_h^i(s, 1)$ , assim, como pelo Lema 5.2.1,  $\mathcal{C}_h^i(s, 1) = \max\{K_i(s), A_h(i, s)\}$ , então,  $K_i(s) < A_h(i, s)$ . Assim, teremos  $G_h(i, s) \neq s$ , o que implica que  $s$  não é  $L_h$  estável para o DM  $i$ .

Desta forma, isto implicaria que se somente se a entrada  $(s, 1)$  dos vetores colunas  $\mathbf{K}_i$  e  $\mathcal{C}_h^i$  forem iguais, o estado  $s$  é  $L_h$  estável para o DM  $i$ . ■

### 5.2.1 Dilema dos Prisioneiros

Iremos apresentar agora uma aplicação da representação matricial do conceito  $L_h$ , considerando um horizonte  $h = 3$ , no conflito do dilema dos prisioneiros.

Com base na Figura 2.2, temos que as matrizes de acessibilidade a seguir apresentam o conjunto de acessibilidade entre os estados viáveis deste conflito para ambos os DMs.

$$J_i = \begin{bmatrix} 0 & 0 & 1 & 0 \\ 0 & 0 & 0 & 1 \\ 1 & 0 & 0 & 0 \\ 0 & 1 & 0 & 0 \end{bmatrix} \quad J_j = \begin{bmatrix} 0 & 1 & 0 & 0 \\ 1 & 0 & 0 & 0 \\ 0 & 0 & 0 & 1 \\ 0 & 0 & 1 & 0 \end{bmatrix}.$$

Lembrando que a relação de preferência neste conflito para o DM  $i$  é denotada por  $s_3(DC) \succ_i s_1(CC) \succ_i s_4(DD) \succ_i s_2(CD)$  e para o DM  $j$  temos  $s_2(CD) \succ_j s_1(CC) \succ_j s_4(DD) \succ_j s_3(DC)$ . Dessa forma, as matrizes de preferências dos DMs são:

$$P_i^+ = \begin{bmatrix} 0 & 0 & 1 & 0 \\ 1 & 0 & 1 & 1 \\ 0 & 0 & 0 & 0 \\ 1 & 0 & 1 & 0 \end{bmatrix} \quad P_j^+ = \begin{bmatrix} 0 & 1 & 0 & 0 \\ 0 & 0 & 0 & 0 \\ 1 & 1 & 0 & 1 \\ 1 & 1 & 0 & 0 \end{bmatrix}$$

Precisamos encontrar agora a matriz de *payoffs*  $\mathbf{K}_i$  do DM focal e a matriz  $\mathbf{K}_j$  de *payoffs* do oponente do DM focal.

$$\mathbf{K}_i = (E' \cdot P_i^+)^{\top} = \left( \begin{bmatrix} 1 & 1 & 1 & 1 \end{bmatrix} \cdot \begin{bmatrix} 0 & 0 & 1 & 0 \\ 1 & 0 & 1 & 1 \\ 0 & 0 & 0 & 0 \\ 1 & 0 & 1 & 0 \end{bmatrix} \right)^{\top} = \begin{bmatrix} 2 \\ 0 \\ 3 \\ 1 \end{bmatrix}$$

e

$$\mathbf{K}_j = (E' \cdot P_j^+)^{\top} = \left( \begin{bmatrix} 1 & 1 & 1 & 1 \end{bmatrix} \cdot \begin{bmatrix} 0 & 1 & 0 & 0 \\ 0 & 0 & 0 & 0 \\ 1 & 1 & 0 & 1 \\ 1 & 1 & 0 & 0 \end{bmatrix} \right)^{\top} = \begin{bmatrix} 2 \\ 3 \\ 0 \\ 1 \end{bmatrix}.$$

Agora, vamos encontrar o ganho antecipado que o DM  $i$  espera receber após um horizonte de conflito  $h = 3$ , se ele for o primeiro a se mover. Recordando a definição de  $\mathcal{B}_3^i$ , temos que

$$\begin{aligned} \mathcal{B}_3^i &= \left( (J_i \circ (((D_2^j \circ (E - I)) \cdot \mathcal{C}_1^i + (D_2^j \circ I) \cdot \mathbf{K}_i) \cdot E')^{\top}) + I \circ (\mathbf{K}_i \cdot E')^{\top} \right) \\ &= \left( (J_i \circ (((\text{ArgMax}(\mathcal{B}_2^j) \circ (E - I)) \cdot \mathcal{C}_1^i + (\text{ArgMax}(\mathcal{B}_2^j) \circ I) \cdot \mathbf{K}_i) \cdot E')^{\top}) + I \circ (\mathbf{K}_i \cdot E')^{\top} \right). \end{aligned}$$

Sabemos que  $\mathcal{C}_1^i = \text{Max} \mathcal{B}_1^i$ , desta forma, precisamos encontrar a matriz  $\mathcal{B}_1^i$ . Logo, note que

$$\mathcal{B}_1^i = \left( (J_i \circ (\mathbf{K}_i \cdot E')^{\top} + I \circ (\mathbf{K}_i \cdot E')^{\top}) \right)$$

Vamos obter cada parte da matriz  $\mathcal{B}_1^i$  acima. Observe que:

$$J_i \circ (\mathbf{K}_i \cdot E')^{\top} = \begin{bmatrix} 0 & 0 & 1 & 0 \\ 0 & 0 & 0 & 1 \\ 1 & 0 & 0 & 0 \\ 0 & 1 & 0 & 0 \end{bmatrix} \circ \left( \begin{bmatrix} 2 \\ 0 \\ 3 \\ 1 \end{bmatrix} \cdot \begin{bmatrix} 1 & 1 & 1 & 1 \end{bmatrix} \right)^{\top} = \begin{bmatrix} 0 & 0 & 3 & 0 \\ 0 & 0 & 0 & 1 \\ 2 & 0 & 0 & 0 \\ 0 & 0 & 0 & 0 \end{bmatrix}$$

e

$$I \circ (\mathbf{K}_i \cdot E')^{\top} = \begin{bmatrix} 1 & 0 & 0 & 0 \\ 0 & 1 & 0 & 0 \\ 0 & 0 & 1 & 0 \\ 0 & 0 & 0 & 1 \end{bmatrix} \circ \left( \begin{bmatrix} 2 \\ 0 \\ 3 \\ 1 \end{bmatrix} \cdot \begin{bmatrix} 1 & 1 & 1 & 1 \end{bmatrix} \right)^{\top} = \begin{bmatrix} 2 & 0 & 0 & 0 \\ 0 & 0 & 0 & 0 \\ 0 & 0 & 3 & 0 \\ 0 & 0 & 0 & 1 \end{bmatrix}.$$

Logo,

$$\mathcal{B}_1^i = \begin{bmatrix} 2 & 0 & 3 & 0 \\ 0 & 0 & 0 & 1 \\ 2 & 0 & 3 & 0 \\ 0 & 0 & 0 & 1 \end{bmatrix}$$

Encontrando agora  $\mathcal{C}_1^i$ , temos que

$$\mathcal{C}_1^i = \text{Max} \mathcal{B}_1^i = \text{Max} \begin{bmatrix} 2 & 0 & 3 & 0 \\ 0 & 0 & 0 & 1 \\ 2 & 0 & 3 & 0 \\ 0 & 0 & 0 & 1 \end{bmatrix} = \begin{bmatrix} 3 \\ 1 \\ 3 \\ 1 \end{bmatrix}$$

Precisamos encontrar  $\text{ArgMax}(\mathcal{B}_2^j)$ , para isto precisamos primeiro encontrar  $\mathcal{B}_2^j$ .

Observe que,

$$\begin{aligned} \mathcal{B}_2^j &= \left( (J_j \circ (((D_1^i \circ (E - I)) \cdot \mathcal{C}_0^j + (D_1^i \circ I) \cdot \mathbf{K}_j) \cdot E')^\top) + I \circ (\mathbf{K}_j \cdot E')^\top \right) \\ &= \left( (J_j \circ (((\text{ArgMax}(\mathcal{B}_1^i) \circ (E - I)) \cdot \mathbf{K}_j + (\text{ArgMax}(\mathcal{B}_1^i) \circ I) \cdot \mathbf{K}_j) \cdot E')^\top) + I \circ (\mathbf{K}_j \cdot E')^\top \right). \end{aligned}$$

Temos que como

$$\text{ArgMax}(\mathcal{B}_1^i) = \begin{bmatrix} 0 & 0 & 1 & 0 \\ 0 & 0 & 0 & 1 \\ 0 & 0 & 1 & 0 \\ 0 & 0 & 0 & 1 \end{bmatrix}$$

obtém-se que

$$\mathcal{B}_2^j = \begin{bmatrix} 2 & 1 & 0 & 0 \\ 0 & 3 & 0 & 0 \\ 0 & 0 & 0 & 1 \\ 0 & 0 & 0 & 1 \end{bmatrix}.$$

Desta forma, temos que

$$\text{ArgMax}(\mathcal{B}_2^j) = \begin{bmatrix} 1 & 0 & 0 & 0 \\ 0 & 1 & 0 & 0 \\ 0 & 0 & 0 & 1 \\ 0 & 0 & 0 & 1 \end{bmatrix},$$

e, consequentemente, obtém-se que

$$\mathcal{B}_3^i = \begin{bmatrix} 2 & 0 & 1 & 0 \\ 0 & 0 & 0 & 1 \\ 2 & 0 & 3 & 0 \\ 0 & 0 & 0 & 1 \end{bmatrix}.$$

Deste modo, pode-se calcular  $\mathcal{C}_3^i$  da seguinte forma:

$$\mathcal{C}_3^i = \text{Max} \mathcal{B}_3^i = \text{Max} \begin{bmatrix} 2 & 0 & 1 & 0 \\ 0 & 0 & 0 & 1 \\ 2 & 0 & 3 & 0 \\ 0 & 0 & 0 & 1 \end{bmatrix} = \begin{bmatrix} 2 \\ 1 \\ 3 \\ 1 \end{bmatrix}.$$

Em seguida, fazendo a diferença de quanto DM  $i$  tem se permanecer em um dado estado e quanto ele terá ao final do horizonte de análise se ele mover-se deste estado, temos que

$$K_i - \mathcal{C}_3^i = \begin{bmatrix} 2 \\ 0 \\ 3 \\ 1 \end{bmatrix} - \begin{bmatrix} 2 \\ 1 \\ 3 \\ 1 \end{bmatrix} = \begin{bmatrix} 0 \\ -1 \\ 0 \\ 0 \end{bmatrix}$$

Finalmente, aplicando o sinal na matriz resultante, segue que:

$$\text{Sinal}(K_i - \mathcal{C}_3^i) = \begin{bmatrix} 0 \\ -1 \\ 0 \\ 0 \end{bmatrix}.$$

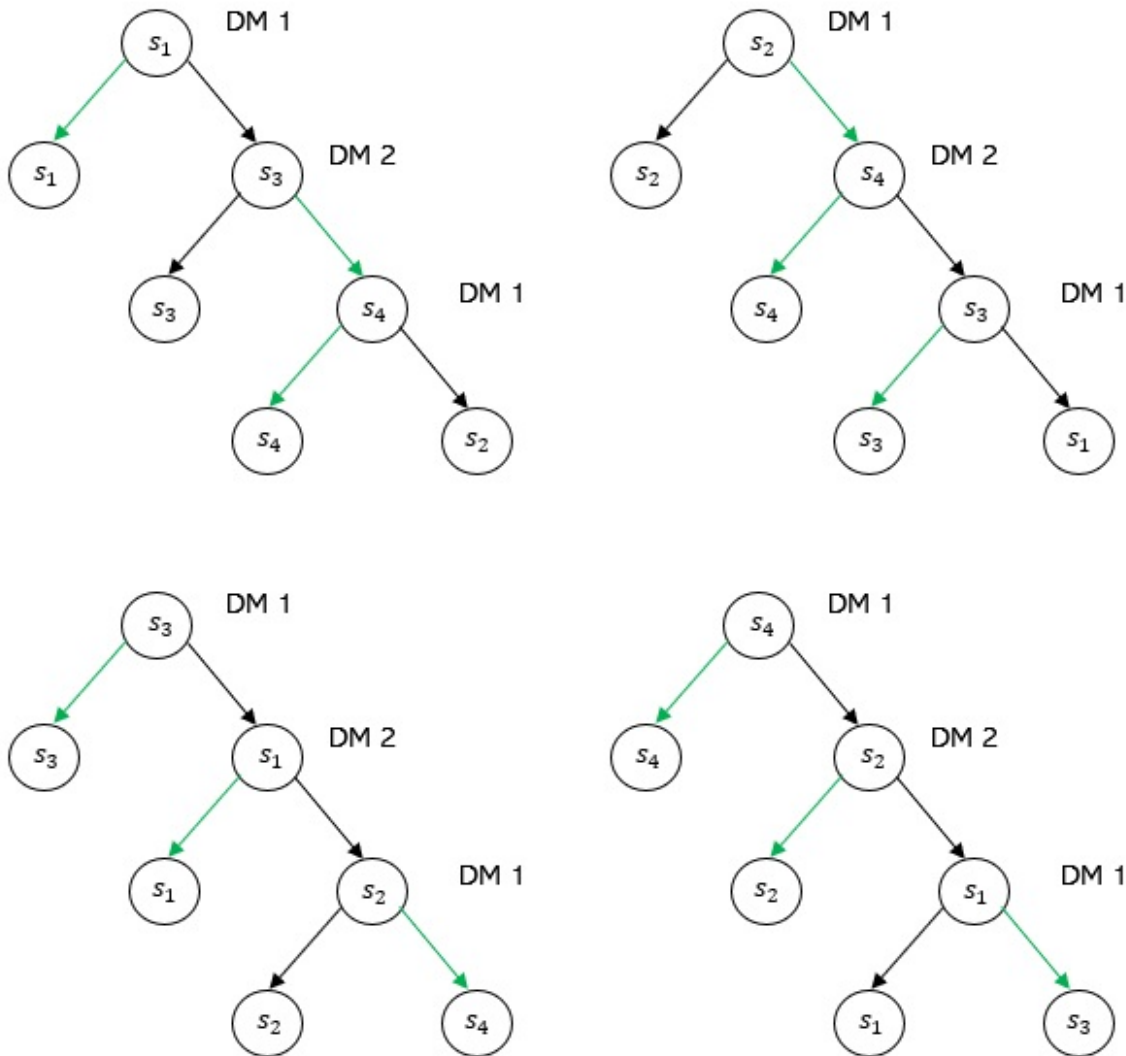
Podemos observar, pelo resultado da matriz sinal, que os estados  $s_1, s_3$  e  $s_4$  são estáveis para o DM  $i$  no horizonte  $h = 3$ , pois foram os únicos que não apresentaram valores negativos em suas colunas. Na Figura 5.1, podemos observar o mesmo resultado através das árvores de decisão, utilizando indução reversa.

Na Tabela 5.1, apresentamos os resultados da representação matricial para a estabilidade  $L_h$  para os 3 primeiros horizontes deste conflito. As células da Tabela 5.1 referem-se ao valor da matriz sinal do Teorema 5.2.2 para o estado da coluna, considerando o horizonte apresentado na linha.

**Tabela 5.1 – Análise de estabilidade  $L_h$ , para  $h \leq 3$  - Dilema dos Prisioneiros**

DMs	<b>h</b>	$s_1$	$s_2$	$s_3$	$s_4$
<b>i</b>	1	-1	-1	0	0
	2	0	-1	0	0
	3	0	-1	0	0
<b>j</b>	1	-1	0	-1	0
	2	0	0	-1	0
	3	0	0	-1	0
<b>Eq.</b>	-	$2 \leq h \leq 3$	-	-	$1 \leq h \leq 3$

Figura 5.1 – Árvores de decisão do DM 1 -  $L_3$



Assim, temos que o estado  $s_4$  está em equilíbrio de acordo com o conceito de estabilidade  $L_h$  para qualquer horizonte  $h$  neste conflito. Este resultado no conflito acaba por representar a situação em que ambos os DMs delatam e cada um deles recebe uma pena de 5 anos. Temos também que para horizontes maiores que dois o estado  $s_1$  também se torna um equilíbrio que representa a situação em que ambos os DMs cooperam e cada um deles recebe uma pena de 6 meses.

### 5.2.2 Conflito de seleção de tecnologia de neurociência na China

No conflito de seleção de tecnologia de neurociência na China, estudado por Zhou e Wang (2018), foi realizada uma análise comportamental tendo em conta as preferências dos DMs. Uma teoria para mudanças de preferência em quatro fases do processo de cognição foi proposta sob a suposição de racionalidade limitada. As fases consideradas nesse conflito são:

- **Fase 1 (Intuição):** Falta de capacidade do DM para avaliar as suas preferências. Comportam-se intuitivamente, de acordo com experiências ou rotinas anteriores;
- **Fase 2 (Emoção):** Os DMs baseiam as suas decisões nas suas emoções;
- **Fase 3 (Racionalidade em pequena escala):** São feitas avaliações realistas, no entanto, as preferências são frequentemente arriscadas;
- **Fase 4 (Racionalidade em grande escala):** Objetivos e preferências de longo prazo são normalmente levados em consideração de forma mais conservadora.

Este conflito envolve dois DMs: o Governo ( $G$ ) e a Comunidade Científica ( $R$ ). O DM  $G$  tem as três opções seguintes: ( $M$ ) - Manter o *status quo* existente sem fornecer suporte adequado para inovação tecnológica; ( $F$ ) - Financiar o proprietário da nova tecnologia; e ( $P$ ) - Fornecer apoio político através da redução de impostos e do fornecimento de terrenos ao proprietário da nova tecnologia. Por outro lado, as opções disponíveis para o DM  $R$  são: ( $IN$ ) - trabalhar na inovação tecnológica disruptiva e ( $IM$ ) - melhorar a tecnologia atual. Apresentamos os estados viáveis do conflito e os grafos dirigidos dos DM envolvidos no mesmo, respectivamente, em Tabela 5.2 e Figura 5.2. Para mais informações sobre o cenário desta disputa, consulte Zhou e Wang (2018).

**Tabela 5.2 – DMs, opções e estados viáveis do conflito de seleção tecnológica**

DMs	Opções	$s_1$	$s_2$	$s_3$	$s_4$	$s_5$	$s_6$	$s_7$	$s_8$
G	M	Y	N	N	N	Y	N	N	N
	F	N	Y	N	Y	N	Y	N	Y
	P	N	N	Y	Y	N	N	Y	Y
R	IN	Y	Y	Y	Y	N	N	N	N
	IM	N	N	N	N	Y	Y	Y	Y

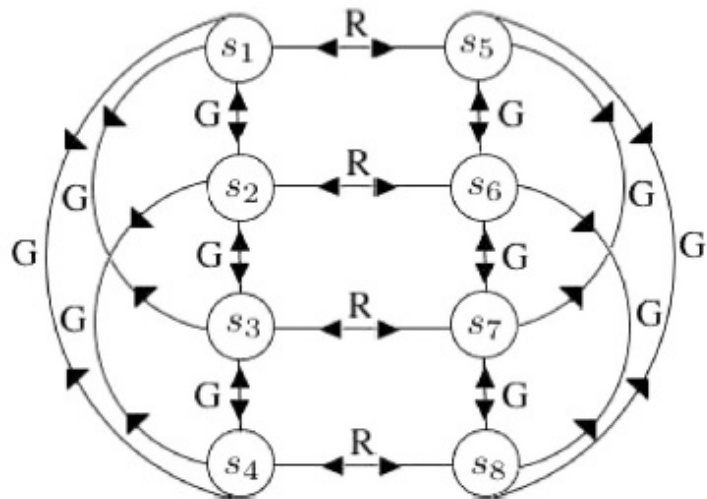
As matrizes de acessibilidade dos DMs  $G$  e  $R$  são, respectivamente:

$$J_G = \begin{pmatrix} 0 & 1 & 1 & 1 & 0 & 0 & 0 & 0 \\ 1 & 0 & 1 & 1 & 0 & 0 & 0 & 0 \\ 1 & 1 & 0 & 1 & 0 & 0 & 0 & 0 \\ 1 & 1 & 1 & 0 & 0 & 0 & 0 & 0 \\ 0 & 0 & 0 & 0 & 0 & 1 & 1 & 1 \\ 0 & 0 & 0 & 0 & 1 & 0 & 1 & 1 \\ 0 & 0 & 0 & 0 & 1 & 1 & 0 & 1 \\ 0 & 0 & 0 & 0 & 1 & 1 & 1 & 0 \end{pmatrix} \quad \text{e} \quad J_R = \begin{pmatrix} 0 & 0 & 0 & 0 & 1 & 0 & 0 & 0 \\ 0 & 0 & 0 & 0 & 0 & 1 & 0 & 0 \\ 0 & 0 & 0 & 0 & 0 & 0 & 1 & 0 \\ 0 & 0 & 0 & 0 & 0 & 0 & 0 & 1 \\ 1 & 0 & 0 & 0 & 0 & 0 & 0 & 0 \\ 0 & 1 & 0 & 0 & 0 & 0 & 0 & 0 \\ 0 & 0 & 1 & 0 & 0 & 0 & 0 & 0 \\ 0 & 0 & 0 & 1 & 0 & 0 & 0 & 0 \end{pmatrix}.$$

### 5.2.2.1 Fase 1 - Intuição

As matrizes de preferência de DM  $G$  e DM  $R$ , na Fase 1 são, respectivamente, dadas por

**Figura 5.2 – Modelo de grafo para o conflito de seleção de tecnologia de neurociência na China**



Fonte: (RÊGO; VIEIRA, 2019)

$$P_G^+ = \begin{pmatrix} 0 & 0 & 0 & 0 & 0 & 0 & 0 & 0 \\ 1 & 0 & 1 & 0 & 1 & 0 & 0 & 0 \\ 1 & 0 & 0 & 0 & 1 & 0 & 0 & 0 \\ 1 & 1 & 0 & 1 & 0 & 0 & 0 & 0 \\ 1 & 0 & 0 & 0 & 0 & 0 & 0 & 0 \\ 1 & 1 & 1 & 1 & 1 & 0 & 1 & 0 \\ 1 & 1 & 1 & 1 & 1 & 1 & 0 & 0 \\ 1 & 1 & 1 & 1 & 1 & 1 & 1 & 0 \end{pmatrix} \quad \text{e} \quad P_R^+ = \begin{pmatrix} 0 & 1 & 1 & 1 & 1 & 1 & 1 & 1 \\ 0 & 0 & 0 & 1 & 0 & 1 & 0 & 1 \\ 0 & 1 & 0 & 1 & 0 & 1 & 1 & 1 \\ 0 & 0 & 0 & 0 & 0 & 0 & 0 & 1 \\ 0 & 1 & 1 & 1 & 0 & 1 & 1 & 1 \\ 0 & 0 & 0 & 1 & 0 & 0 & 0 & 1 \\ 0 & 1 & 0 & 1 & 0 & 1 & 0 & 1 \\ 0 & 0 & 0 & 0 & 0 & 0 & 0 & 0 \end{pmatrix}$$

Na Tabela 5.3, apresentamos os resultados da representação matricial para a estabilidade  $L_h$ , para  $h \leq 3$ , na Fase 1 deste conflito. As células da Tabela 5.3 referem-se ao valor da matriz sinal do Teorema 5.2.2 para o estado da coluna, considerando o horizonte apresentado na linha.

**Tabela 5.3 – Análise de estabilidade  $L_h$ , para  $h \leq 3$  - Fase 1**

Assim, temos que apenas o estado  $s_1$  está em equilíbrio de acordo com o conceito de estabilidade  $L_h$  para esta fase do conflito. Este estado é um equilíbrio para qualquer horizonte  $h \leq 3$ . Este resultado no conflito acaba por representar a situação em que os DMs tendem a continuar fazendo o que foi feito no passado. Em outras palavras, o DM  $G$  mantém as coisas

como estão sem fazer investimentos suficientes em inovação tecnológica, enquanto o DM  $R$  opta por fazer pesquisa tecnológica incremental.

### 5.2.2.2 Fase 2 - Emoção

As matrizes de preferência dos DMs para a Fase 2 são apresentadas a seguir:

$$P_G^+ = \begin{pmatrix} 0 & 1 & 1 & 1 & 0 & 1 & 1 & 1 \\ 0 & 0 & 1 & 1 & 0 & 0 & 0 & 1 \\ 0 & 0 & 0 & 1 & 0 & 0 & 0 & 1 \\ 0 & 0 & 0 & 0 & 0 & 0 & 0 & 0 \\ 1 & 1 & 1 & 1 & 0 & 1 & 1 & 1 \\ 0 & 1 & 1 & 1 & 0 & 0 & 1 & 1 \\ 0 & 1 & 1 & 1 & 0 & 0 & 0 & 1 \\ 0 & 0 & 0 & 1 & 0 & 0 & 0 & 0 \end{pmatrix} \quad \text{e} \quad P_R^+ = \begin{pmatrix} 0 & 1 & 1 & 1 & 0 & 0 & 0 & 0 \\ 0 & 0 & 0 & 1 & 0 & 0 & 0 & 0 \\ 0 & 1 & 0 & 1 & 0 & 0 & 0 & 0 \\ 0 & 0 & 0 & 0 & 0 & 0 & 0 & 0 \\ 1 & 1 & 1 & 1 & 0 & 1 & 1 & 1 \\ 1 & 1 & 1 & 1 & 0 & 0 & 0 & 1 \\ 1 & 1 & 1 & 1 & 0 & 1 & 0 & 1 \\ 1 & 1 & 1 & 1 & 0 & 0 & 0 & 0 \end{pmatrix}.$$

A análise de estabilidade  $L_h$ , para  $h \leq 3$ , da Fase 2 deste conflito é apresentada na Tabela 5.4. Vê-se que apenas o estado  $s_4$  é um equilíbrio  $L_h$  para esta fase do conflito, independentemente do horizonte  $h$  considerado. O estado  $s_4$  representa o cenário em que o DM  $G$  atua com base em emoções e escolhe tanto fornecer incentivos políticos para inovação tecnológica quanto doar fundos e o DM  $R$  trabalhará em inovação tecnológica disruptiva. Assim, temos que os DMs  $G$  e  $R$  não levarão em consideração os riscos, agindo de forma a favorecer a inovação tecnológica enquanto estiverem na fase da emoção.

**Tabela 5.4 – Análise de estabilidade  $L_h$ , para  $h \leq 3$  - Fase 2**

DM	$h$	$s_1$	$s_2$	$s_3$	$s_4$	$s_5$	$s_6$	$s_7$	$s_8$
G	<b>1</b>	-1	-1	-1	0	-1	-1	-1	0
	<b>2</b>	-1	-1	-1	0	-1	-1	-1	0
	<b>3</b>	-1	-1	-1	0	-1	-1	-1	0
R	<b>1</b>	0	0	0	0	-1	-1	-1	-1
	<b>2</b>	0	0	0	0	-1	-1	-1	-1
	<b>3</b>	0	0	0	0	-1	-1	-1	-1
<b>Eq.</b>	-				1 $\leq h \leq 3$				

### 5.2.2.3 Fase 3 - Racionalidade em pequena escala

A seguir, são apresentadas as matrizes de preferência dos DMs para a Fase 3.

$$P_G^+ = \begin{pmatrix} 0 & 0 & 1 & 0 & 0 & 0 & 0 & 0 \\ 1 & 0 & 1 & 1 & 0 & 0 & 0 & 0 \\ 0 & 0 & 0 & 0 & 0 & 0 & 0 & 0 \\ 1 & 0 & 1 & 0 & 0 & 0 & 0 & 0 \\ 1 & 1 & 1 & 1 & 0 & 1 & 1 & 0 \\ 1 & 1 & 1 & 1 & 0 & 0 & 1 & 0 \\ 1 & 1 & 1 & 1 & 0 & 0 & 0 & 0 \\ 1 & 1 & 1 & 1 & 1 & 1 & 1 & 0 \end{pmatrix} \quad \text{e} \quad P_R^+ = \begin{pmatrix} 0 & 1 & 1 & 1 & 1 & 1 & 1 & 1 \\ 0 & 0 & 0 & 1 & 0 & 1 & 0 & 1 \\ 0 & 1 & 0 & 1 & 0 & 1 & 0 & 1 \\ 0 & 0 & 0 & 0 & 0 & 1 & 0 & 1 \\ 0 & 1 & 1 & 1 & 0 & 1 & 1 & 1 \\ 0 & 0 & 0 & 0 & 0 & 0 & 0 & 1 \\ 0 & 1 & 1 & 1 & 0 & 1 & 0 & 1 \\ 0 & 0 & 0 & 0 & 0 & 0 & 0 & 0 \end{pmatrix}.$$

A Tabela 5.5 apresenta os resultados da representação matricial da análise de estabilidade  $L_h$ , para  $h \leq 3$ , para a terceira fase deste conflito. O estado  $s_3$  é equilíbrio para todo

horizonte  $h$ , como pode ser visto. Os DMs nessa fase levam em consideração riscos e incertezas, o que pode diminuir o investimento em inovação técnica. Portanto, a presença de condições alternativas estáveis no conflito que serão consideradas vantajosas a longo prazo será quando os DMs avaliarem o conflito para qualquer horizonte.

**Tabela 5.5 – Análise de estabilidade  $L_h$ , para  $h \leq 3$  - Fase 3**

	$h$	$s_1$	$s_2$	$s_3$	$s_4$	$s_5$	$s_6$	$s_7$	$s_8$
<b>G</b>	<b>1</b>	-1	-1	0	-1	-1	-1	0	-1
	<b>2</b>	-1	-1	0	-1	-1	-1	0	-1
	<b>3</b>	-1	-1	0	-1	-1	-1	-1	-1
<b>R</b>	<b>1</b>	-1	-1	0	-1	0	0	-1	0
	<b>2</b>	-1	0	0	0	-1	0	-1	0
	<b>3</b>	-1	0	0	0	-1	0	-1	0
<b>Eq.</b>	-	$1 \leq h \leq 3$							

#### 5.2.2.4 Fase 4 - Racionalidade em grande escala

Finalmente, as matrizes de preferência dos DMs para a Fase 4 são apresentadas abaixo:

$$P_G^+ = \begin{pmatrix} 0 & 0 & 0 & 0 & 0 & 0 & 0 & 0 \\ 1 & 0 & 1 & 1 & 0 & 0 & 1 & 0 \\ 1 & 0 & 0 & 0 & 0 & 0 & 0 & 0 \\ 1 & 0 & 1 & 0 & 0 & 0 & 0 & 0 \\ 1 & 1 & 1 & 1 & 0 & 0 & 1 & 0 \\ 1 & 1 & 1 & 1 & 1 & 0 & 1 & 0 \\ 1 & 0 & 1 & 1 & 0 & 0 & 0 & 0 \\ 1 & 1 & 1 & 1 & 1 & 1 & 1 & 0 \end{pmatrix} \quad \text{e} \quad P_R^+ = \begin{pmatrix} 0 & 1 & 1 & 1 & 1 & 1 & 1 & 1 \\ 0 & 0 & 0 & 1 & 0 & 1 & 1 & 1 \\ 0 & 1 & 0 & 1 & 0 & 1 & 1 & 1 \\ 0 & 0 & 0 & 0 & 0 & 1 & 1 & 1 \\ 0 & 1 & 1 & 1 & 0 & 1 & 1 & 1 \\ 0 & 0 & 0 & 0 & 0 & 0 & 0 & 1 \\ 0 & 0 & 0 & 0 & 0 & 1 & 0 & 1 \\ 0 & 0 & 0 & 0 & 0 & 0 & 0 & 0 \end{pmatrix}.$$

As conclusões do estudo de estabilidade  $L_h$ , para  $h \leq 3$ , da Fase 4 deste conflito são apresentadas na Tabela 5.6. O estado  $s_7$ , que reflete o cenário em que DM  $G$  dá respaldo político, cede terras ao dono da nova tecnologia e reduz impostos, enquanto DM  $R$  opta por avançar na tecnologia existente, também é equilíbrio para qualquer horizonte  $h$ . O DM  $R$  é cauteloso e evita desenvolvimentos perturbadores nesta fase final.

**Tabela 5.6 – Análise de estabilidade  $L_h$ , para  $h \leq 3$  - Fase 4**

	$h$	$s_1$	$s_2$	$s_3$	$s_4$	$s_5$	$s_6$	$s_7$	$s_8$
<b>G</b>	<b>1</b>	0	-1	-1	-1	-1	-1	0	-1
	<b>2</b>	0	-1	0	0	-1	-1	0	-1
	<b>3</b>	0	-1	0	0	-1	-1	0	-1
<b>R</b>	<b>1</b>	-1	-1	-1	-1	0	0	0	0
	<b>2</b>	-1	-1	-1	-1	0	0	0	0
	<b>3</b>	-1	-1	-1	-1	0	0	0	0
<b>Eq.</b>	-	$1 \leq h \leq 3$							

Na seção a seguir, por meio das representações matriciais  $L_h$  conseguimos identificar

um padrão relacionado aos estados antecipados. Esses padrões são conhecidos como ciclos na estabilidade.

### 5.2.3 Ciclos na Estabilidade $L_h$

Os “ciclos na estabilidade  $L_h$ ”, são trajetórias periódicas ou oscilatórias que surgem no sistema dinâmico linear, considerando as propriedades de estabilidade  $L_h$ . Isso implica que, mesmo que o sistema possa ter um ponto de equilíbrio estável  $L_h$ , ele pode também apresentar comportamentos dinâmicos periódicos ou oscilatórios.

Um jogo entra em um ciclo de tamanho  $r$ , a partir do horizonte  $h$ , se  $G_{t+r}(i, s) = G_t(i, s)$ , para todo inteiro  $t$  tal que  $t \geq h$ , todos os  $i \in N$ , e todos os  $s \in S$ , sendo  $h$  e  $r$  os menores inteiros com esta propriedade (FANG; HIPEL; KILGOUR, 1993). Como  $G_t(i, s)$  é o estado que o DM  $i$  antecipa como final a partir do estado  $s$  e considerando um horizonte  $t$ , quando o jogo entra em um ciclo de tamanho  $r$  a partir do horizonte  $h$ , significa que para horizontes pelo menos igual a  $h$ , a cada incremento de tamanho  $r$  no horizonte de análise, todos os DMs antecipam os mesmos estados finais a partir de qualquer estado inicial. Por exemplo, em um jogo que apresenta um ciclo de tamanho 2, significa que para um horizonte de análise suficientemente grande, a cada incremento de 2 no horizonte de análise os estados antecipados serão os mesmos por todos os DMs a partir de todos os estados do conflito.

Se um jogo possui um ciclo de tamanho 1, diz-se que ele possui um ponto fixo. Em Fang *et al.* (1993), os autores afirmam que em todos os jogos que eles analisaram, os jogos possuíam ciclos de tamanho 1, 2 ou 4. Esses autores conjecturaram que essas são todas as possibilidades. Nesta tese, vamos utilizar a representação matricial proposta, para investigar os ciclos em todos os jogos  $2 \times 2$ . A partir das matrizes  $C_h$  que apresentam os payoffs antecipados conseguimos identificar os estados antecipados e seus padrões de repetição, identificando os ciclos.

Mudanças nos *payoffs* podem transformar, por exemplo, o jogo do Dilema do Prisioneiro no jogo de Caça ao Veado, ou seja, alterações nos *payoffs* podem transformar um jogo em outro. Com base nessa visão, Bruns (2015a) demonstrou como uma topologia de trocas de *payoffs* organiza elegantemente os jogos  $2 \times 2$  em uma tabela periódica, estruturada em uma ordem natural conforme os vizinhos de troca, o alinhamento dos melhores resultados, a simetria, o número de estratégias e equilíbrios dominantes, entre outras propriedades. Segundo Bruns (2015a), esta representação mostra visualmente ainda mais a topologia dos jogos  $2 \times 2$ ,

mostrando as relações entre jogos e os caminhos para transformar situações estratégicas, além disso, eles apresentam a diversidade dos jogos  $2 \times 2$ , a variedade de situações estratégicas no qual o resultado da ação de cada pessoa depende do que a outra decide, e a gama de estruturas de incentivos possíveis quando duas pessoas têm duas escolhas interdependentes.

A Figura 5.4 apresenta os jogos da tabela periódica referente a jogos  $2 \times 2$  (BRUNS, 2015a), no qual está organizada em torno dos jogos  $2 \times 2$  simétricos num eixo diagonal, destacando os doze jogos ordinais estritos em que cada DM tem quatro recompensas distintas. Os padrões de *payoffs* dos jogos simétricos se combinam para formar jogos assimétricos, constituindo assim uma base conveniente para nomear os jogos. Os *payoffs* nos equilíbrios de Nash classificam os jogos em famílias, que são representadas por cores segundo a Figura 5.3. Aqui cabe ressaltar que o conceito de jogos cíclicos na Figura 5.4 não é o mesmo que a análise de ciclos na estabilidade  $L_h$ , que está sendo investigada nesta seção. Os jogos cíclicos referem-se aos jogos que não possuem equilíbrio de Nash em estratégias puras, o que significa apenas que eles não possuem nenhum equilíbrio  $L_1$ . Ao final desta nossa análise, veremos que existe uma relação entre tais jogos e aqueles que possuem ciclo de tamanho 2.

**Figura 5.3 – Legenda de cores da Tabela de jogos  $2 \times 2$**

Ambos DMs obtém o seu melhor resultado no equilíbrio em jogos em que todos ganham. Os jogos harmoniosos têm um único equilíbrio. Os jogos de caça ao veado (também conhecidos como jogos de garantia) têm um segundo equilíbrio em que ambos obtêm um prêmio inferior, Pareto-inferior.	A troca dos <i>payoffs</i> mais baixos para um DM no Dilema do Prisioneiro ou no Jogo da Galinha cria um jogo de Called Bluff, parte da Família Injusta, em que um jogador obtém o seu melhor resultado enquanto o outro obtém o segundo pior.
Nos jogos <i>tendenciosos</i> , a maior família, no equilíbrio de Nash um DM fica com o melhor resultado e o outro com o segundo melhor	O Dilema do Prisioneiro é o único membro simétrico da família Inferior em que o equilíbrio de Nash é Pareto-inferior. Seguir os incentivos individuais para uma estratégia dominante conduz a um resultado pior do que se os dois pudessem cooperar.
A troca de em <i>payoffs</i> intermediários transforma o Dilema do Prisioneiro em Deadlock, um dos dois jogos simétricos Second-best.	
Nos jogos cíclicos, em cada célula um jogador prefere sempre mudar a sua jogada, pelo que não existe equilíbrio em estratégias puras.	Nos jogos <i>tristes</i> não têm sequer o potencial para um resultado melhor que o pior.

Fonte: Adaptado de (BRUNS, 2015a)

A Figura 5.4 contém doze padrões de *payoffs* que formam 144 jogos estritamente ordinais (sem indiferença), estes jogos são considerados distintos mesmo quando os DMs 1 e 2 trocam de papéis, totalizando 144 combinações únicas. No entanto, como argumentaremos a seguir, podemos focar em apenas 78 desses jogos, selecionados dessa tabela. Esses jogos estão categorizados em 12 tipos distintos de comportamentos dos DMs. Essa classificação deriva do fato de haver 24 permutações diferentes dos números de 1 a 4 ( $4!$ ), mas dividimos por dois para descontar as que são distintas apenas devido à troca das estratégias dos DMs, o que mantém

o jogo inalterado. Por exemplo, descrever o Dilema dos Prisioneiros com “Delatar” na linha superior e “Cooperar” na inferior é equivalente a inverter essas estratégias.

Assim, cada DM tem 12 possíveis preferências distintas, resultando em 144 combinações de jogos ( $12 \times 12 = 144$ ). Cada uma das 12 combinações de comportamentos está associada a um jogo clássico (como o Dilema dos Prisioneiros, Galinha, Stag-Hunt, etc.). Dessa forma, existem 12 jogos nos quais ambos os DMs estão jogando o mesmo jogo clássico, como ambos jogando o Dilema dos Prisioneiros, que está localizado na interseção da linha 6 com a coluna 7 da tabela periódica da Figura 5.4.

Nos outros 132 jogos (144 - 12), os DMs têm utilidades provenientes de jogos diferentes, como por exemplo, um DM jogando o jogo da Galinha e o outro jogando o Dilema dos Prisioneiros, designado na linha 1 coluna 7 da tabela como “ChPd”. Note que se invertermos os papéis dos DMs 1 e 2, obtemos o jogo “PdCh”, localizado na linha 6 na última coluna da tabela, conhecido na literatura como “Called Bluff”. Entretanto, os jogos “ChPd” e “PdCh” são equivalentes e resultam no mesmo resultado na análise, portanto não há necessidade de duplicação, apenas de repetição dos resultados encontrados.

Ao dividir os 132 jogos distintos por dois, obtemos 66, que somados aos outros 12 jogos resultam nos 78 jogos  $2 \times 2$  distintos que foram analisados. Dito isto, para interpretar os *payoffs* na Figura 5.4, consideraremos os *payoffs* do DM 1 destacados em vermelho, enquanto os do DM 2 são destacados em azul.

Vamos adotar que em cada jogo  $2 \times 2$ , os estados estão dispostos na seguinte ordem:

$$\begin{array}{cc} s_1 & s_2 \\ s_3 & s_4 \end{array}$$

Então, para todos os jogos as matrizes de acessibilidade dos DMs 1 e 2 são, respectivamente:

$$J_1 = \begin{bmatrix} 0 & 0 & 1 & 0 \\ 0 & 0 & 0 & 1 \\ 1 & 0 & 0 & 0 \\ 0 & 1 & 0 & 0 \end{bmatrix} \quad \text{e} \quad J_2 = \begin{bmatrix} 0 & 1 & 0 & 0 \\ 1 & 0 & 0 & 0 \\ 0 & 0 & 0 & 1 \\ 0 & 0 & 1 & 0 \end{bmatrix}.$$

Para obter as matrizes de *payoffs*, considere o exemplo do jogo na primeira linha da primeira coluna (ChNc) da Tabela 5.4. Reescrevendo, as utilidades dos DMs 1 e 2 conforme comumente é feito em um jogo na forma normal, temos:

Figura 5.4 – Diagrama da Topologia dos Jogos  $2 \times 2$ 

L4	Nc	Ha	Pc	Co	As	Sh	Pd	DI	Cm	Hr	Ba	Ch	L1
Ch	2 3 3 4 1 1 4 2 ChNc	2 2 3 4 1 1 4 3 ChHa	2 1 3 4 1 2 4 3 ChPc	2 1 3 4 1 3 4 2 ChCo	2 2 3 4 1 3 4 1 ChAs	2 3 3 4 1 2 4 1 ChSh	2 4 3 3 1 2 4 1 ChPd	2 4 3 2 1 3 4 1 ChDI	2 4 3 1 1 3 4 2 ChCm	2 4 3 1 1 2 4 3 ChHr	2 4 3 2 1 1 4 3 ChBa	2 4 3 3 1 1 4 2 Chicken	
Ba	3 3 2 4 1 1 4 2 BaNc	3 2 2 4 1 1 4 3 BaHa	3 1 2 4 1 2 4 3 BaPc	3 1 2 4 1 3 4 2 BaCo	3 2 2 4 1 3 4 1 BaAs	3 3 2 4 1 2 4 1 BaSh	3 4 2 3 1 2 4 1 BaPd	3 4 2 2 1 3 4 1 BaDI	3 4 2 1 1 3 4 2 BaCm	3 4 2 1 1 2 4 3 BaHr	3 4 2 2 1 1 4 3 BaBa	3 4 2 3 1 1 4 2 Battle-Chicken	
Hr	3 3 1 4 2 1 4 2 HrNc	3 2 1 4 2 1 4 3 HrHa	3 1 1 4 2 1 4 3 HrPc	3 1 1 4 2 3 4 2 HrCo	3 2 1 4 2 3 4 1 HrAs	3 3 1 4 2 2 4 1 HrSh	3 4 1 3 2 2 4 1 HrPd	3 4 1 2 2 3 4 1 HrDI	3 4 1 1 2 3 4 2 HrCm	3 4 1 1 2 2 4 3 HrHr	3 4 1 2 2 1 4 3 HrBa	3 4 1 3 2 1 4 2 Hero-Chicken	
Cm	2 3 1 4 3 1 4 2 CmNc	2 2 1 4 3 1 4 3 CmHa	2 1 1 4 3 2 4 3 CmPc	2 1 1 4 3 3 4 2 CmCo	2 2 1 4 3 3 4 1 CmAs	2 3 1 4 3 2 4 1 CmSh	2 4 1 3 3 2 4 1 CmPd	2 4 1 2 3 3 4 1 CmDI	2 4 1 1 3 3 4 2 CmCm	2 4 1 1 3 2 4 3 CmHr	2 4 1 2 3 1 4 3 CmBa	2 4 1 3 3 1 4 2 Unfair Type	
DI	1 3 2 4 3 1 4 2 DiNc	1 2 2 4 3 1 4 3 DiHa	1 1 2 4 3 2 4 3 DiPc	1 1 2 4 3 3 4 2 DiCo	1 2 2 4 3 3 4 1 DiAs	1 3 2 4 3 2 4 1 DiSh	1 4 2 3 3 2 4 1 DiPd	1 4 2 2 3 3 4 1 DiDI	1 4 2 1 3 3 4 2 DiCm	1 4 2 1 3 2 4 3 DiHr	1 4 2 2 3 1 4 3 DiBa	1 4 2 3 3 1 4 2 Deadlock	
Pd	1 3 3 4 2 1 4 2 PdNc	1 2 3 4 2 1 4 3 PdHa	1 1 3 4 2 2 4 3 PdPc	1 1 3 4 2 3 4 2 PdCo	1 2 3 4 2 3 4 1 PdAs	1 3 3 4 2 2 4 1 PdSh	1 4 3 3 2 2 4 1 PdPd	1 4 3 2 2 3 4 1 PdDI	1 4 3 1 2 3 4 2 PdCm	1 4 3 1 2 2 4 3 PdHr	1 4 3 2 2 1 4 3 PdBa	1 4 3 3 2 1 4 2 Prisoner D	
Sh	1 3 4 4 2 1 3 2 ShNc	1 2 4 4 2 1 3 3 ShHa	1 1 4 4 2 2 3 3 ShPc	1 1 4 4 2 3 3 2 ShCo	1 2 4 4 2 3 3 1 ShAs	1 3 4 4 2 2 3 1 ShSh	1 4 4 3 2 2 3 1 Asyv. Dilemma	1 4 4 2 2 3 3 1 Asyv. Dilemma	1 4 4 1 2 2 3 3 Asyv. Dilemma	1 4 4 1 2 2 3 3 Asyv. Dilemma	1 4 4 2 2 1 3 3 Asyv. Dilemma	1 4 4 3 2 1 3 2 Asyv. Dilemma	
As	1 3 4 4 3 1 2 2 AsNc	1 2 4 4 3 1 2 3 AsHa	1 1 4 4 3 2 2 3 AsPc	1 1 4 4 3 3 2 2 AsCo	1 2 4 4 3 3 2 1 AsAssur.	1 3 4 4 3 2 2 1 Assurance	1 4 4 3 3 2 2 1 Alibi	1 4 4 2 3 3 2 1 Assurance-Lock	1 4 4 1 3 3 2 2 2nd Best	1 4 4 1 3 2 2 3 ZeroSum Cycle	1 4 4 2 3 1 2 3 Tragic Cycle	1 4 4 3 3 1 2 2 Inferior Cycle	
Co	2 3 4 4 3 1 1 2 CoNc	2 2 4 4 3 1 1 3 CoHa	2 1 4 4 3 2 1 3 CoPc	2 1 4 4 3 3 1 2 Coord.	2 2 4 4 3 3 1 1 Pure Assur.	2 3 4 4 3 2 1 1 Asym. Coord.	1 4 4 3 3 2 1 1 Revision	1 4 4 2 3 3 1 1 Coord.-Lock	1 4 4 1 3 3 1 2 Coord.-Complic.	1 4 4 1 3 2 1 3 Pursuit Cycle	1 4 4 2 3 1 1 3 Quasi Cycle	1 4 4 3 3 1 1 2 Biased Cycle	
Pc	3 3 4 4 2 1 1 2 PcNc	3 2 4 4 2 1 1 3 PcHa	3 1 4 4 2 2 2 3 PcPc	3 1 4 4 2 3 2 2 PcCo	3 2 4 4 2 3 2 1 PcAs	3 3 4 4 2 2 2 1 PcSh	1 4 4 3 2 2 1 1 Impure Atrist	1 4 4 2 2 3 1 1 Peace-Lock	1 4 4 1 2 3 1 2 Benevolent	1 4 4 1 2 2 1 3 Peace-Hero	1 4 4 2 2 1 1 3 Generous	1 4 4 3 2 1 1 2 Samaritan Type	
Ha	3 3 4 4 1 1 2 2 HaNc	3 2 4 4 1 1 2 3 HaHa	3 1 4 4 1 2 2 3 HaPc	3 1 4 4 1 3 2 2 HaCo	3 2 4 4 1 3 2 1 HaAs	3 3 4 4 1 2 2 1 HaSh	1 4 4 3 1 2 2 1 Atrist Type	1 4 4 2 1 3 2 1 Benevolent Type	1 4 4 1 1 3 2 2 Harm.-Compr.	1 4 4 1 1 2 2 3 Harmony-Hero	1 4 4 2 1 1 2 3 Harmony-Battle	1 4 4 3 1 1 2 2 Samaritan's D	
Nc	1 3 4 4 1 1 3 2 NcNc	2 2 4 4 1 1 3 3 NcHa	2 1 4 4 1 2 3 3 NcPc	2 1 4 4 1 3 3 2 NcCo	2 2 4 4 1 3 3 1 NcAs	2 3 4 4 1 2 3 1 NcSh	1 4 4 3 1 2 3 1 Hegemon Type	1 4 4 2 1 3 3 1 Blackmail Type	1 4 4 1 1 3 3 2 Hostage	1 4 4 1 1 2 3 3 Delilah	1 4 4 2 1 1 3 3 Samson	1 4 4 3 1 1 3 2 Hegemony	

Fonte: Adaptado de (BRUNS, 2015a)

Tabela 5.7 – Forma normal do jogo ChNc

DM 2

DM 1	(2,3)	(3,4)
	(1,1)	(4,2)

 $K_1$  e  $K_2$ , representam o número de estados piores que o estado para os DMs 1 e 2.Como os valores na tabela do jogo variam de 1 a 4,  $K_1$  e  $K_2$  variam 0 a 3 correspondendo a um valor a menos. Assim,  $K_1$  e  $K_2$  são respectivamente:

$$K_1 = \begin{bmatrix} 1 \\ 2 \\ 0 \\ 3 \end{bmatrix} \quad \text{e} \quad K_2 = \begin{bmatrix} 2 \\ 3 \\ 0 \\ 1 \end{bmatrix}.$$

Para cada um dos 78 jogos, podemos repetir este mesmo procedimento para obter as matrizes  $K_1$  e  $K_2$  de cada um deles. Utilizando a representação matricial para cada um desses

jogos, foi analisado o conceito  $L_h$  até o valor  $h = 20$ , e observou-se a existência do ciclo, bem como seu início.

Na Figura 5.5, apresentamos os *payoffs* usando a mesma tabela, destacando com cores iguais os jogos com os mesmos ciclos resultantes e o horizonte no qual o ciclo inicia está destacado por tons da cor daquele ciclo, sendo o horizonte  $h = 1$  o tom mais fraco e o  $h = 5$  o tom mais forte. Vale ressaltar que cada jogo é representado pelas iniciais do seu nome original, como, por exemplo, *Chicken Game* será representado por Ch.

Ao relacionar a tabela original, Figura 5.4, com os nossos resultados sobre os ciclos, Figura 5.5, podemos extrair algumas conclusões interessantes. Observa-se que todos os jogos que apresentam ciclo de tamanho 2 pertencem ao grupo que não possui equilíbrio de Nash em estratégias puras (grupo cinza na Figura 5.4). Além disso, todos os jogos em que ambos os DMs atingem o melhor resultado no equilíbrio (grupo verde na Figura 5.4) apresentam ciclo 1. Por fim, todos os jogos classificados como “tristes”, ou seja, que não têm sequer o potencial para um resultado Pareto-superior (grupo rosa na Figura 5.4), também possuem ciclo 1.

**Figura 5.5 – Diagrama da Topologia dos Jogos  $2 \times 2$  por ciclos e horizontes**

	Nc	Ha	Pc	Co	As	Sh	Pd	Di	Cm	Hr	Ba	Ch
Ch	2 3 3 4 1 1 4 2 ChNc	2 2 3 4 1 1 4 3 ChHa	2 1 3 4 1 2 4 3 ChPc	2 1 3 4 1 3 4 2 ChCo	2 2 3 4 1 3 4 1 ChAs	2 3 3 4 1 2 4 1 ChSh	2 4 3 3 1 2 4 1 ChPd	2 4 3 2 1 3 4 1 ChDi	2 4 3 1 1 3 4 2 ChCm	2 4 3 1 1 2 4 3 ChHr	2 4 3 2 1 1 4 3 ChBa	2 4 3 3 1 1 4 2 Chicken
Ba	3 3 2 4 1 1 4 2 BaNc	3 2 2 4 1 1 4 3 BaHa	3 1 2 4 1 2 4 3 BaPc	3 1 2 4 1 3 4 2 BaCo	3 2 2 4 1 3 4 1 BaAs	3 3 2 4 1 2 4 1 BaSh	3 4 2 3 1 2 4 1 BaPd	3 3 4 2 2 1 1 3 4 1 BaDi	3 4 2 1 1 3 4 2 BaCm	3 4 2 1 1 2 4 3 BaHr	3 4 2 2 1 1 4 3 Battle	3 4 2 3 1 1 4 2 Battle-Chicken
Hr	3 3 1 4 2 1 4 2 HrNc	3 2 2 4 2 2 1 4 HrHa	3 1 1 4 2 3 2 4 HrPc	3 1 1 4 2 3 4 2 HrCo	3 2 1 4 2 3 4 1 HrAs	3 3 1 4 2 2 4 1 HrSh	3 4 1 3 2 2 4 1 HrPd	3 4 1 2 2 2 4 1 HrDi	3 4 1 1 2 3 4 2 HrCm	3 4 1 1 2 2 4 2 Hero	3 4 1 1 1 2 4 3 Quasi Battle	3 4 1 1 2 1 4 2 Hero-Chicken
Cm	2 3 1 4 3 1 4 2 CmNc	2 2 2 1 4 3 1 4 3 CmHa	2 1 1 4 3 2 4 3 CmPc	2 1 1 4 3 3 4 2 CmCo	2 2 1 4 3 3 4 1 CmAs	2 3 1 4 3 2 4 1 CmSh	2 4 1 3 3 2 4 1 CmPd	2 4 1 1 3 3 4 1 CmDi	2 4 1 1 3 3 4 2 Compromise	2 4 1 1 3 2 4 3 Comp.-Hero	2 4 1 1 3 1 4 3 Protector	2 4 1 1 3 1 4 2 Unfair Type
Di	1 3 2 4 3 1 4 2 DiNc	1 2 2 4 3 1 4 3 DiHa	1 1 2 4 3 2 4 3 DiPc	1 1 2 4 3 3 4 2 DiCo	1 2 2 4 3 3 4 1 DiAs	1 3 2 4 3 2 4 1 DiSh	1 4 2 3 3 2 4 1 DiPd	1 4 2 2 3 2 4 1 Deadlock	1 4 2 1 3 3 4 2 Asym Lock	1 4 2 1 3 2 4 3 Deadlock-Hero	1 4 2 1 3 1 4 3 Deadlock-Battle	1 4 2 3 3 1 4 2 Bully
Pd	1 3 3 4 2 1 4 2 PdNc	1 2 3 4 2 1 4 3 PdHa	1 1 3 4 2 2 4 3 PdPc	1 1 3 4 2 3 4 2 PdCo	1 2 3 4 2 3 4 1 PdAs	1 3 3 4 2 2 4 1 PdSh	1 4 3 3 2 2 4 1 Prisoner Dilem	1 4 3 2 2 2 3 4 Total Conflict	1 4 3 1 2 3 4 2 Misery	1 4 3 1 2 2 4 3 Dilemma-Hero	1 4 3 1 2 1 4 3 Patron	1 4 3 3 2 1 4 2 Called Bluff
Sh	1 3 4 4 2 1 3 2 ShNc	1 2 4 4 2 1 3 3 ShHa	1 1 4 4 2 2 3 3 ShPc	1 1 4 4 2 3 3 2 ShCo	1 1 4 4 2 3 3 1 ShAs	1 2 4 4 2 2 3 1 Stag Hunt	1 4 4 3 2 2 3 1 Asym Dilemma	1 4 4 2 2 2 3 1 Hamlet	1 4 4 1 2 2 3 2 Big Bully	1 4 4 1 2 2 3 3 Crisis Ciclo	1 4 4 1 2 1 3 3 Inspector Ciclo	1 4 4 3 2 1 3 2 Endless Ciclo
As	1 3 4 4 3 1 2 2 AsNc	1 2 4 4 3 1 2 3 AsHa	1 1 4 4 3 2 2 3 AsPc	1 1 4 4 3 3 2 2 Assurance	1 2 4 4 3 3 2 1 Asym Assur.	1 3 4 4 3 2 2 1 Alibi	1 4 4 3 3 2 2 1 Assurance-Lock	1 4 4 2 3 2 2 1 2nd Best	1 4 4 1 3 2 2 2 Zero Sum Ciclo	1 4 4 1 3 1 2 2 Tragic Ciclo	1 4 4 2 3 1 2 2 Inferior Ciclo	
Co	2 3 4 4 3 1 1 2 CoNc	2 2 4 4 3 1 1 3 CoHa	2 1 4 4 3 2 1 3 CoPc	2 1 4 4 3 3 1 2 Coordination	2 2 4 4 3 3 1 2 Pure Assur.	2 3 4 4 3 3 1 1 Asym Coord.	2 4 4 4 3 3 2 1 Revelation	2 4 4 2 3 2 1 1 Coord.-Lock	2 4 4 1 3 2 1 2 Cood.-Compro	2 4 4 1 3 2 1 3 Pursuit Ciclo	2 4 4 2 3 1 1 3 Quasi Ciclo	2 4 4 3 3 1 1 2 Biased Ciclo
Pc	3 3 4 4 2 1 1 2 PcNc	3 2 4 4 2 2 1 1 PcHa	3 1 4 4 2 2 1 3 Peace	3 1 4 4 2 3 1 2 Peace-Cood.	3 2 4 4 2 3 1 1 Privileged	3 2 4 4 2 2 1 1 Pure Aligned	3 4 4 3 2 2 1 1 Impure Altruist	3 4 4 2 2 2 1 1 Peace-Lock	3 4 4 1 2 2 1 2 Benevolent	3 4 4 1 2 2 1 3 Peace-Hero	3 4 4 2 2 1 1 3 Generous	3 4 4 3 2 1 1 2 Samaritan Type
Ha	3 3 4 4 1 1 2 2 HaNc	3 2 4 4 1 1 2 2 Harmony	3 1 4 4 1 1 2 2 Asym Harmony	3 1 4 4 1 1 2 2 Harmony-Cood.	3 2 4 4 1 1 2 2 Harmony-Assur.	3 3 4 4 1 1 2 2 Harmony-Hunt	3 4 4 3 1 1 2 2 Altruist Type	3 4 4 2 1 1 2 2 Benevolent Type	3 4 4 1 1 1 2 2 Harm.-Compro	3 4 4 1 1 1 2 2 Harmony-Hero	3 4 4 2 1 1 2 2 Harmony-Battle	3 4 4 3 1 1 2 2 Samaritan's D
Nc	2 3 4 4 1 1 3 2 Concord	2 2 4 4 2 1 1 3 Pure Harmony	2 1 4 4 1 1 2 3 Concord-Peace	2 1 4 4 1 1 3 3 Concord-Coord.	2 2 4 4 1 1 3 3 Mutualism	2 3 4 4 1 1 2 3 Anticipation	2 4 4 3 1 1 2 3 Hegemon Type	2 4 4 2 1 1 3 3 B&ackmail Type	2 4 4 1 1 1 3 3 Hostage	2 4 4 2 1 1 2 3 Deilah	2 4 4 2 1 1 1 3 Samson	2 4 4 3 1 1 1 2 Hegemony

Ciclo = 1, h = 2 Ciclo = 1, h = 3 Ciclo = 1, h = 5 Ciclo = 1, h = 6

Ciclo = 2, h = 2

Ciclo = 4, h = 2 Ciclo = 4, h = 3

### 5.3 CONCLUSÃO

No presente capítulo, apresentamos representações matriciais para obter estados estáveis de acordo com o conceito de estabilidade do movimento limitado,  $L_h$ , considerando conflitos bilaterais. Diferentemente do conceito  $\text{Maximin}_h$ , que não leva em consideração as preferências dos oponentes, o  $L_h$  integra as preferências de ambos os DMs, permitindo que cada DM realize movimentos de maximização de acordo com suas próprias preferências.

Aplicamos essas representações a dois cenários distintos. Primeiramente, utilizamos o Dilema dos Prisioneiros, um conflito amplamente discutido na literatura, onde aplicamos a representação do  $L_h$  considerando um horizonte  $h = 3$ . Em seguida, aplicamos ao caso real de seleção de tecnologia de neurociência na China, estudado por Zhou e Wang (2018), analisando as quatro fases nas quais esse conflito foi dividido.

Além disso, exploramos os ciclos na estabilidade  $L_h$ . Ilustramos essa análise cíclica utilizando os jogos da tabela periódica para jogos  $2 \times 2$ , conforme apresentado por Bruns (2015a). Nessa análise, pudemos extrair conclusões interessantes ao relacionar a tabela periódica de (2015a) com a nossa versão adaptada, abrindo novas possibilidades de estudo sobre ciclos e padrões de estabilidade em jogos estratégicos.

## 6 CONSIDERAÇÕES FINAIS

O GMCR pode ser considerado uma ferramenta que possui grande potencial para analisar, modelar e explicar conflitos estratégicos. Porém, quando consideramos conflitos estratégicos muito extensos, em termos de números de estados ou decisores, identificar estabilidades de estados pode se tornar uma tarefa custosa se for realizada por meio das representações lógicas das noções de estabilidades. Desta forma, nos baseamos e realizamos adaptações de métodos matriciais propostos por Xu *et al.* (2007 e 2008) para propor representações matriciais para alguns conceitos de estabilidade com horizonte variável existentes na literatura do GMCR. As principais motivações para a construção desta tese são:

- As representações matriciais facilitam o desenvolvimento de algoritmos melhorados para avaliar as estabilidades dos estados.
- Os métodos matriciais propostos são propícios para a análise teórica de problemas de conflito.
- Os métodos matriciais possuem a vantagem de serem fáceis de se calcular e codificar, em comparação com a representação lógica dos conceitos de soluções.
- As representações matriciais fornecem expressões algébricas explícitas que podem ser adaptadas para novos conceitos de solução.
- A representação matricial de conceitos soluções pode ser integrada num sistema de suporte a decisão.

Diante disto, nesta tese foram propostas representações matriciais de conceitos de estabilidade com horizontes variáveis no GMCR considerando situações de conflitos bilaterais e multilaterais. As representações matriciais obtidas nesta pesquisa foram produzidas para as seguintes conceitos de solução: estabilidade  $m-SEQ$ ,  $Maximin_h$  e  $L_h$ .

Esses resultados são de suma importância, pois as estabilidade  $Maximin_h$ , e suas variantes credíveis, generalizam os conceitos de estabilidade mais utilizados na análise de estabilidade do GMCR, como: Nash, GMR, SMR, SEQ e SSEQ. Com a ajuda das representações matriciais propostas, agora se pode realizar uma análise completa de um conflito, considerando qualquer horizonte, considerando ou não a restrição a sanções credíveis.

Ilustramos diversas aplicações para demonstrar o uso das representações matriciais apresentadas nesta tese, visando facilitar o entendimento dos conceitos discutidos. No contexto de estabilidade  $m$ -SEQ, abordamos dois conflitos reais, Matching Pennies e o conflito de renovação

de instalação industrial privado. Para a noção de estabilidade  $\text{Maximin}_h$ , analisamos a Fase 3 do conflito entre a Sun Belt e o Governo da Colúmbia Britânica, estendendo a análise de estabilidade até o horizonte  $h = 20$ . Além disso, aplicamos os métodos matriciais obtidos, para este conceito, ao Dilema dos Prisioneiros com  $n$  DMs, com o objetivo de demonstrar a eficiência da abordagem matricial e mensurar o tempo computacional à medida que o número de DMs, deste conflito, aumenta. Aplicamos os resultados matriciais ao Dilema dos Prisioneiros e às quatro fases cognitivas do conflito sobre a seleção de tecnologia de neurociência na China. Complementamos as aplicações com análises cíclicas do conceito  $L_h$ , ou seja, exploramos a existência de ciclos na estabilidade  $L_h$  em jogos  $2 \times 2$ .

Como sugestão para trabalhos futuros, planejamos propor representações matriciais para outras noções de estabilidade com horizonte variável, como: estabilidade de otimismo-pessimismo (SABINO; RÊGO, 2023), e estabilidade de arrependimento mínimo (SABINO; RÊGO, 2024). Adicionalmente, pretendemos investigar a existência de ciclos, em jogos  $2 \times 2$ , de acordo com a noção de estabilidade  $\text{Maximin}_h$ .

## REFERÊNCIAS

- AXELROD, R. **The Evolution of Cooperation**. [S.l.]: New York, 1984.
- BRUNS, B. Atlas of 2x2 games: Transforming conflict and cooperation. 2015.
- BRUNS, B. R. Names for games: locating  $2 \times 2$  games. **Games**, MDPI, v. 6, n. 4, p. 495–520, 2015.
- BÍBLIA. **A Bíblia Sagrada**. Revista e corrigida. 1995. São Paulo: Sociedade Bíblica do Brasil, 1995. Traduzida em português por João Ferreira de Almeida.
- COLMAN, A. M. **Game theory and experimental games: The study of strategic interaction**. [S.l.]: Elsevier, 2016.
- FANG, L.; HIPEL, K.; KILGOUR, D. Conflict models in graph form: Solution concepts and their interrelationships. **European Journal of Operational Research**, v. 41, n. 1, p. 86–100, 1989.
- FANG, L.; HIPEL, K. W.; KILGOUR, D. M. **Interactive decision making: the graph model for conflict resolution**. [S.l.]: John Wiley & Sons, 1993. v. 3.
- FANG, L.; HIPEL, K. W.; KILGOUR, D. M.; PENG, X. A decision support system for interactive decision making-part i: model formulation. **IEEE Transactions on Systems, Man, and Cybernetics, Part C (Applications and Reviews)**, IEEE, v. 33, n. 1, p. 42–55, 2003a.
- FRASER, N. M.; HIPEL, K. W. Solving complex conflicts. **IEEE Transactions on Systems, Man, and Cybernetics**, IEEE, v. 9, n. 12, p. 805–816, 1979.
- FRASER, N. M.; HIPEL, K. W. **Conflict analysis: models and resolutions**. [S.l.]: North-Holland, 1984. v. 11.
- GIBBONS, R. **A primer in game theory**. [S.l.]: Harvester Wheatsheaf, 1992.
- HIPEL, K. W.; KILGOUR, D. M.; FANG, L. Wiley encyclopedia of operations research and management science. In: \_\_\_\_\_. New York: Wiley, 2011. v. 3, cap. The graph model for conflict resolution, p. 2099–2111.
- HOWARD, N. **Paradoxes of rationality: games, metagames, and political behavior**. [S.l.]: MIT press New York, 1971.
- KILGOUR, D.; HIPEL, K. The graph model for conflict resolution: Past, present, and future. **Group Decision and Negotiation**, v. 14, n. 6, p. 441–460, 2005.
- KILGOUR, D. M. Anticipation and stability in two-person noncooperative games. **Dynamic models of international conflict**, Lynne Rienner Press Boulder, CO, p. 26–51, 1985.
- KILGOUR, D. M.; HIPEL, K. W.; FANG, L. The graph model for conflicts. **Automatica**, v. 23, n. 1, p. 41–55, 1987.
- NASH, J. Non-cooperative games. **Annals of mathematics**, JSTOR, p. 286–295, 1951.
- NASH, J. F. Equilibrium points in n-person games. **Proceedings of the national academy of sciences**, USA, v. 36, n. 1, p. 48–49, 1950.

NEUMANN, J. von; MORGENSTERN, O. Theory of games and economic behavior (commemorative edition, 60th-anniversary edition). **With an introduction by Harold Kuhn and Ariel Rubinstein**, 2007.

OBEIDI, A. **Canadian Bulk Water Exports: A Dynamic Analysis of the Sun Belt Case Using Drama Theory and the Graph Model for Conflict Resolution**. Tese (Doutorado) — University of Waterloo, 2002.

OBEIDI, A.; HIPEL, K. Strategic and dilemma analyses of a water export conflict. **INFOR: Information Systems and Operational Research**, Taylor & Francis, v. 43, n. 3, p. 247–270, 2005.

OLIVEIRA, F. E. G. d. **Higher-order sequential stabilities in the graph model for conflict resolution**. Dissertação (Mestrado) — Universidade Federal de Pernambuco, Recife, Brasil, Fevereiro 2018.

R Core Team. **R: A Language and Environment for Statistical Computing**. Vienna, Austria, 2020. Disponível em: <<https://www.R-project.org/>>.

RÊGO, L.; OLIVEIRA, F. An extension of higher-order sequential stabilities for multilateral conflicts and for coalitional analysis in the graph model for conflict resolution. **Group Decision and Negotiation**, v. 32, p. 1117–1141, 2023.

RÊGO, L. C.; OLIVEIRA, F. E. de. Higher-order sequential stabilities in the graph model for conflict resolution for bilateral conflicts. **Group Decision and Negotiation**, Springer, p. 1–26, 2020.

RÊGO, L. C.; VIEIRA, G. I. A. Symmetric sequential stability in the graph model for conflict resolution with multiple decision makers. **Group Decision and Negotiation**, Springer, p. 1–18, 2016.

RÊGO, L. C.; VIEIRA, G. I. A. Maximin<sub>h</sub> stability in the graph model for conflict resolution for bilateral conflicts. **IEEE Transactions on Systems, Man, and Cybernetics: Systems**, IEEE, v. 50, n. 10, p. 3760–3769, 2019.

RÊGO, L. C.; VIEIRA, G. I. A. Matrix representation of solution concepts in the graph model for conflict resolution with probabilistic preferences and multiple decision makers. **Group Decision and Negotiation**, Springer, v. 30, n. 3, p. 697–717, 2021.

RÊGO, L. C.; VIEIRA, G. I. A.; KILGOUR, D. M. The graph model for conflict resolution and credible maximin stability. **IEEE Transactions on Systems, Man, and Cybernetics: Systems**, IEEE, 2022.

SABINO, E. R.; RÊGO, L. C. Optimism pessimism stability in the graph model for conflict resolution for multilateral conflicts. **European Journal of Operational Research**, Elsevier, v. 309, n. 2, p. 671–682, 2023.

SABINO, E. R.; RÊGO, L. C. Minimax regret stability in the graph model for conflict resolution. **European Journal of Operational Research**, Elsevier, v. 314, n. 3, p. 1087–1097, 2024.

Wald, A. Statistical decision functions which minimize the maximum risk. **The Annals of Mathematics**, v. 46, n. 2, p. 265–280, 1945.

- WALKER, S. B.; BOUTILIER, T.; HIPEL, K. W. Systems management study of a private brownfield renovation. **Journal of Urban Planning and Development**, American Society of Civil Engineers, v. 136, n. 3, p. 249–260, 2010.
- WANG, J.; HIPEL, K. W.; FANG, L.; DANG, Y. Matrix representations of the inverse problem in the graph model for conflict resolution. **European Journal of Operational Research**, Elsevier, v. 270, n. 1, p. 282–293, 2018.
- WU, N.; KILGOUR, D. M.; HIPEL, K. W.; XU, Y. Matrix representation of stability definitions for the graph model for conflict resolution with reciprocal preference relations. **Fuzzy Sets and Systems**, Elsevier, v. 409, p. 32–54, 2021.
- XU, H.; HIPEL, K. W.; KILGOUR, D. M. Matrix representation of conflicts with two decision-makers. In: IEEE. **2007 IEEE International Conference on Systems, Man and Cybernetics**. [S.I.], 2007. p. 1764–1769.
- XU, H.; HIPEL, K. W.; KILGOUR, D. M. Matrix representation of solution concepts in multiple-decision-maker graph models. **IEEE Transactions on Systems, Man, and Cybernetics-Part A: Systems and Humans**, IEEE, v. 39, n. 1, p. 96–108, 2008.
- XU, H.; HIPEL, K. W.; KILGOUR, D. M.; FANG, L. **Conflict resolution using the graph model: strategic interactions in competition and cooperation**. [S.I.]: Springer, 2018. v. 153.
- XU, H.; KILGOUR, D. M.; HIPEL, K. W. Matrix representation of solution concepts in graph models for two decision-makers with preference uncertainty. **Dynamics of Continuous, Discrete and Impulsive Systems**, v. 14, n. S1, p. 703–737, 2007.
- XU, H.; KILGOUR, D. M.; HIPEL, K. W. An algebraic approach to calculating stabilities in the graph model with strength of preference. In: IEEE. **2009 IEEE International Conference on Systems, Man and Cybernetics**. [S.I.], 2009. p. 1539–1544.
- XU, H.; KILGOUR, D. M.; HIPEL, K. W. An integrated algebraic approach to conflict resolution with three-level preference. **Applied mathematics and computation**, Elsevier, v. 216, n. 3, p. 693–707, 2010.
- XU, H.; KILGOUR, D. M.; HIPEL, K. W. Matrix representation of conflict resolution in multiple-decision-maker graph models with preference uncertainty. **Group Decision and Negotiation**, Springer, v. 20, n. 6, p. 755–779, 2011.
- XU, H.; LI, K. W.; HIPEL, K. W.; KILGOUR, D. M. A matrix approach to status quo analysis in the graph model for conflict resolution. **Applied Mathematics and Computation**, Elsevier, v. 212, n. 2, p. 470–480, 2009.
- XU, H.; ZHAO, J.; KE, G. Y.; ALI, S. Matrix representation of consensus and dissent stabilities in the graph model for conflict resolution. **Discrete Applied Mathematics**, Elsevier, v. 259, p. 205–217, 2019.
- YAO, X.; DARWEN, P. J. An experimental study of n-person iterated prisoner's dilemma games. In: SPRINGER. **Workshop on Evolutionary Computation**. [S.I.], 1993. p. 90–108.
- ZHAO, S.; XU, H.; HIPEL, K. W.; FANG, L. Mixed stabilities for analyzing opponents' heterogeneous behavior within the graph model for conflict resolution. **European Journal of Operational Research**, Elsevier, v. 277, n. 2, p. 621–632, 2019.

ZHOU, L.; WANG, S. A dynamic bounded rationality model for technology selection in cognition process. **NeuroQuantology**, NeuroQuantology, v. 16, n. 5, 2018.

## APÊNDICE A - CÓDIGOS COMPUTACIONAIS

Neste apêndice, são apresentados os códigos computacionais que foram implementados, utilizando a sintaxe do R, para obtenção dos resultados expostos nesta tese. Os scripts para as aplicações do m-SEQ, Maximin<sub>h</sub> e L<sub>h</sub> são apresentados abaixo:

### A.1 SCRIPT DO R - CONFLITO PRIVADO DE RENOVAÇÃO DE BROWNFIELD - CÓDIGO M-SEQ

```

1 #####
2 ##### Aplicacoes Private Brownfield #####
3 ##### Renovation Conflict #####
4 ##### France Oliveira #####
5 #####
6 #####
7 #####
8 #####
9 #----- Bibliotecas necessarias ----- #
10
11 library(matrixcalc)
12 library(readxl)
13
14 #----- Caso 3-DMs - Conj de Dados -----#
15
16 # Matriz de acessibilidade (J_i)
17 J1Brownfield_P0 <- read_excel("C:/Users/franc/Google Drive/UFPE/Meus
   Artigos/Artigos m-SEQ/Artigo - Matrix Representation m-SEQ/
   J1Brownfield_P0.xlsx")
18 J1 <- as.matrix(J1Brownfield_P0)
19 J1
20
21 J2Brownfield_CG <- read_excel("C:/Users/franc/Google Drive/UFPE/Meus
   Artigos/Artigos m-SEQ/Artigo - Matrix Representation m-SEQ/
   J2Brownfield_CG.xlsx")
22 J2 <- as.matrix(J2Brownfield_CG)
23 J2
24

```

```

25 J3Brownfield_D <- read_excel("C:/Users/franc/Google Drive/UFPE/Meus
26   Artigos/Artigos m-SEQ/Artigo - Matrix Representation m-SEQ/
27   J3Brownfield_D.xlsx")
28
29 J3 <- as.matrix(J3Brownfield_D)
30
31 J3
32
33
34 # Matriz de preferencia (P^+)
35 P1Brownfield_P0 <- read_excel("C:/Users/franc/Google Drive/UFPE/Meus
36   Artigos/Artigos m-SEQ/Artigo - Matrix Representation m-SEQ/
37   P1Brownfield_P0.xlsx")
38 P1_plus <- as.matrix(P1Brownfield_P0)
39 P1_plus
40
41
42 P2Brownfield(CG) <- read_excel("C:/Users/franc/Google Drive/UFPE/Meus
43   Artigos/Artigos m-SEQ/Artigo - Matrix Representation m-SEQ/
44   P2Brownfield(CG.xlsx")
45 P2_plus <- as.matrix(P2Brownfield(CG))
46 P2_plus
47
48 P3Brownfield_D <- read_excel("C:/Users/franc/Google Drive/UFPE/Meus
49   Artigos/Artigos m-SEQ/Artigo - Matrix Representation m-SEQ/
50   P3Brownfield_D.xlsx")
51 P3_plus <- as.matrix(P3Brownfield_D)
52 P3_plus
53
54 #----- Elementos de entrada -----
55 N = sqrt(length(J1)) # Numero de estados
56 m = 2 #sqrt(length(m)) # Numero de ordem
57 D = diag(rep(1,N)) #Matriz diagonal
58 E = matrix(1, nrow = N, ncol = N, byrow = TRUE) #Matriz de uns
59
60 #----- Matriz de indiferencia (P^-,=) -----
61
62 P1_ind = (E - P1_plus) # DM 1
63 P2_ind = (E - P2_plus) # DM 2
64 P3_ind = (E - P3_plus) # DM 3
65

```

```

56 #----- Matriz de Melhorias unilaterais (J_i^+ = J_i o P^+) -----#
57
58 J1_plus = hadamard.prod(J1, P1_plus) # DM 1
59 J2_plus = hadamard.prod(J2, P2_plus) # DM 2
60 J3_plus = hadamard.prod(J3, P3_plus) # DM 3
61
62 #----- Matriz de representacao SEQ (M_i^SEQ) - Coalizao -----#
63
64 # MSEQ_1
65 delta_1 <- sum(!J2_plus)+sum(!J3_plus)
66
67 J_2 <- J2_plus
68 J_3 <- J3_plus
69 J_23 <- sign(J_2+J_3)
70
71 for(t in 1:delta_1)
72 {
73   JT2 <- J_2
74   J_2 <- sign(J2_plus%*% J_3)
75   J_3 <- sign(J3_plus%*% JT2)
76   J_23 <- sign(J_23 + (sign(J_2 + J_3)))
77 }
78
79
80 SINAL <- sign(J_23 %*% t(P1_ind))
81
82 MSEQ_1 <- (J1_plus %*%( E- SINAL))
83
84 # MSEQ_2
85 delta_2 <- sum(!J1_plus)+sum(!J3_plus)
86
87 J_1 <- J1_plus
88 J_3 <- J3_plus
89 J_13 <- sign(J_1+J_3)
90
91 for(t in 1:delta_2)
92 {
93   JT1 <- J_1
94   J_1 <- sign(J1_plus%*% J_3)

```

```

95  J_3 <- sign(J3_plus%*% JT1)
96  J_13 <- sign(J_13 + (sign(J_1 + J_3)))
97 }
98
99
100 SINAL <- sign(J_13 %*% t(P2_ind))
101
102 MSEQ_2 <- (J2_plus %*%( E- SINAL))
103
104
105 # MSEQ_3
106 delta_3 <- sum (!!J1_plus)+sum (!!J2_plus)
107
108 J_1 <- J1_plus
109 J_2 <- J2_plus
110 J_12 <- sign(J_1+J_2)
111
112 for(t in 1:delta_3)
113 {
114   JT3 <- J_1
115   J_1 <- sign(J1_plus%*% J_2)
116   J_2 <- sign(J2_plus%*% JT3)
117   J_12 <- sign(J_12 + (sign(J_1 + J_2)))
118 }
119
120
121 SINAL <- sign(J_12 %*% t(P3_ind))
122
123 MSEQ_3 <- (J3_plus %*%( E- SINAL))
124
125
126 #----- Matriz de representacao MmSEQ (M_j^((m-1)SEQ)) -----#
127
128 #Caso m=1
129 MmSEQ_1 = MSEQ_1
130 MmSEQ_2 = MSEQ_2
131 MmSEQ_3 = MSEQ_3
132
133 #caso m>1

```

```

134
135 for(k in 2:m){
136
137 # Matriz J_j^(m,+)
138 J1_mplus = sign(hadamard.prod(D, MmSEQ_1)) %*% J1_plus
139 J2_mplus = sign(hadamard.prod(D, MmSEQ_2)) %*% J2_plus
140 J3_mplus = sign(hadamard.prod(D, MmSEQ_3)) %*% J3_plus
141
142 # Matriz de representacao MmSEQ (M_i^(m-SEQ))
143
144 # MmSEQ_1
145 delta_1 <- sum(!J2_plus)+sum(!J3_plus)
146
147 J_2 <- J2_mplus
148 J_3 <- J3_mplus
149 J_23 <- sign(J_2+J_3)
150
151 for(t in 1:delta_1)
152 {
153   JT2 <- J_2
154   J_2 <- sign(J2_mplus%*% J_3)
155   J_3 <- sign(J3_mplus%*% JT2)
156   J_23 <- sign(J_23 + (sign(J_2 + J_3)))
157 }
158
159 SINAL <- sign(J_23 %*% t(P1_ind))
160 MmSEQ_1 <- (J1_plus %*%( E- SINAL))
161
162 # MmSEQ_2
163 delta_2 <- sum(!J1_mplus)+sum(!J3_mplus)
164
165 J_1 <- J1_mplus
166 J_3 <- J3_mplus
167 J_13 <- sign(J_1+J_3)
168
169 for(t in 1:delta_2)
170 {
171   JT1 <- J_1
172   J_1 <- sign(J1_mplus%*% J_3)

```

```

173     J_3 <- sign(J3_mplus%*% JT1)
174     J_13 <- sign(J_13 + (sign(J_1 + J_3)))
175   }
176
177   SINAL <- sign(J_13 %*% t(P2_ind))
178   MmSEQ_2 <- (J2_plus %*%( E- SINAL))
179
180
181   # MmSEQ_3
182   delta_3 <- sum (!!J1_mplus)+sum (!!J2_mplus)
183
184   J_1 <- J1_mplus
185   J_2 <- J2_mplus
186   J_12 <- sign(J_1+J_2)
187
188   for(t in 1:delta_3)
189   {
190     JT1 <- J_1
191     J_1 <- sign(J1_mplus%*% J_2)
192     J_2 <- sign(J2_mplus%*% JT1)
193     J_12 <- sign(J_12 + (sign(J_1 + J_2)))
194   }
195
196   SINAL <- sign(J_12 %*% t(P3_ind))
197   MmSEQ_3 <- (J3_plus %*%( E- SINAL))
198 }
```

## A.2 SCRIPT DO R - FASE 3 - WATER EXPORT CONFLICT - CÓDIGO MAXIMIN<sub>h</sub>

```

1 #####
2 ##### Aplicacoes Phase 3 #####
3 ##### Water Export Conflict #####
4 ##### France Oliveira #####
5 #####
6 ##### Bibliotecas necessarias #####
7 #####
8 #####
9 #----- Bibliotecas necessarias ----- #
```

```

10
11 library(matrixcalc)
12
13 #----- Elementos de entrada -----
14
15 S= 11 # Quantidade de estados
16 E = rep(1,S) # Vetor de um's
17 D = diag (x = 1, nrow=S, ncol=S) # Matriz diagonal
18
19 #----- Caso DM i - Conj de Dados -----
20
21 # Matriz de acessibilidade
22
23 # Sun Belt
24 DM_SanBelt = matrix(c(0,1,1,0,1,0,0,0,0,0,0,
25 1,0,0,1,0,1,0,0,0,0,0,
26 1,0,0,1,0,0,0,0,0,0,0,
27 0,1,1,0,0,0,0,0,0,0,0,
28 1,0,0,0,0,1,0,0,0,0,0,
29 0,1,0,0,1,0,0,0,0,0,0,
30 0,0,0,0,0,0,0,0,1,0,1,
31 0,0,0,0,0,0,0,0,1,0,0,
32 0,0,0,0,0,0,1,1,0,0,0,
33 0,0,0,0,0,0,0,0,0,0,1,
34 0,0,0,0,0,0,1,0,0,1,0),S,S)
35
36
37 # BCG
38 DM_BCG = matrix(c(0,0,0,0,0,0,0,0,0,0,0,
39 0,0,0,0,0,0,1,0,0,0,0,
40 0,0,0,0,0,0,0,1,0,0,0,
41 0,0,0,0,0,0,0,0,0,1,0,
42 0,0,0,0,0,0,0,0,0,0,1,
43 0,0,0,0,0,0,0,0,0,0,1,
44 0,1,0,0,0,0,0,0,0,0,0,
45 0,0,1,0,0,0,0,0,0,0,0,
46 0,0,0,1,0,0,0,0,0,0,0,
47 0,0,0,0,1,0,0,0,0,0,0,
48 0,0,0,0,0,1,0,0,0,0,0),S,S)

```

```

49
50 Ji = DM_SanBelt
51 Jj = DM_BCG
52 # ----- #
53 #      Matriz de preferencia
54 # ----- #
55
56 # Sun Belts
57 Pi_plus_SanBelt = matrix(c(0,0,0,0,0,0,0,0,0,0,0,0,
58                             1,0,0,0,0,0,0,0,0,0,0,0,
59                             1,1,0,1,0,0,1,1,1,1,0,
60                             1,1,0,0,0,0,1,1,0,0,0,
61                             1,1,1,1,0,1,1,1,1,1,1,
62                             1,1,1,1,0,0,1,1,1,1,0,
63                             1,1,0,0,0,0,0,0,0,0,0,0,
64                             1,1,0,0,0,0,1,0,0,0,0,0,
65                             1,1,0,1,0,0,1,1,0,0,0,
66                             1,1,0,1,0,0,1,1,1,0,0,
67                             1,1,1,1,0,1,1,1,1,1,0),S,S)
68
69
70 # BCG
71 Pi_plus_BCG = matrix(c(0,1,1,1,1,1,1,1,1,1,1,1,
72                         0,0,1,1,1,1,1,1,1,1,1,1,
73                         0,0,0,1,0,0,0,0,0,1,1,0,
74                         0,0,0,0,0,0,0,0,0,0,1,1,
75                         0,0,1,1,0,1,1,1,1,1,1,1,
76                         0,0,1,1,0,0,1,1,1,1,1,1,
77                         0,0,1,1,0,0,0,0,1,1,0,
78                         0,0,1,1,0,0,0,1,0,1,1,0,
79                         0,0,0,0,0,0,0,0,0,0,0,0,
80                         0,0,0,0,0,0,0,0,0,1,0,0,
81                         0,0,1,1,0,0,1,1,1,1,0),S,S)
82
83 Pi_plus = Pi_plus_SanBelt
84 K_i = t(E %*% Pi_plus) # Encontrar o valor de K_i(s)
85
86 # ----- #
87 #      Ci Function

```

```

88 # -----
89
90 h=1
91 C <- function(h){
92   Jj_D = D + Ji # Diagonal + matriz de acessibilidade do DM j
93   comp_Jj_D = E - Jj_D # Matriz complementar da Jj_D
94   prod_estado = S * comp_Jj_D
95   if(h %% 2 == 0){ # Teste se par
96     #h=2
97     #prod_hadamard_h2 = hadamard.prod(Jj_D, (t(K_i*%E))) # Para onde
98     # o oponente pode levar o conflito e quanto o DM focal vai
99     # receber
100    prod_hadamard_h2 = (hadamard.prod(Jj, (t(K_i*%E))) + hadamard.
101      prod(D, (t(K_i*%E))))
102    B_1j = prod_estado + prod_hadamard_h2
103    C_1j = cbind(apply(B_1j,1,min)) # Min de cada linha
104    #F= hadamard.prod((Ji + D), (t(C_1j *% E)))
105    F= (hadamard.prod(Ji, (t(C_1j*%E))) + hadamard.prod(D, (t(K_i*%
106      %E))))
107    C_2i= cbind(apply(F,1,max))
108    Ci = C_2i
109    if(h>2){
110      for (g in 1:(h/2)-1){
111        prod_hadamard_h = (hadamard.prod(Jj, (t(Ci*%E))) + hadamard.
112          prod(D, (t(K_i*%E)))) # (C_(h-2)i)
113        BiPlus1j = prod_estado + prod_hadamard_h
114        CiPlus1j = cbind(apply(BiPlus1j,1,min)) # Min de cada linha
115        F= (hadamard.prod(Ji, (t(CiPlus1j*%E))) + hadamard.prod(D,
116          (t(K_i*%E))))
117        CiPlus2= cbind(apply(F,1,max))
118        Ci=CiPlus2
119      }
120    }
121  }
122  else{ # h eh impar
123    # h=1
124    Ji_D = D + Ji # Diagonal + matriz de acessibilidade do DM i
125    B_1i = hadamard.prod(Ji_D, (t(K_i*%E))) # Para onde o oponente
126    # pode levar o conflito e quanto o DM focal vai receber

```

```

120  C_1i = cbind(apply(B_1i,1,max)) # Max de cada linha
121  #Q=matrix(1,nrow = S,ncol = 1) # Matriz coluna de 1's
122  #C_1i = Q %*% C_1i_max # Matriz dos max em coluna
123  Ci = C_1i
124  if (h>1) {
125    for (g in 1:(h-1)/2){
126      prod_hadamard_h = (hadamard.prod(Jj, (t(Ci%*%E))) + hadamard.
127      prod(D, (t(K_i%*%E)))) # (C_(h-2)i)
128      BiPlus1j = prod_estado + prod_hadamard_h
129      CiPlus1j = cbind(apply(BiPlus1j,1,min)) # Min de cada linha
130      F= (hadamard.prod(Ji, (t( CiPlus1j%*%E))) + hadamard.prod(D,
131      (t(K_i%*%E))))
132      CiPlus2= cbind(apply(F,1,max))
133      Ci=CiPlus2
134    }
135  }
136  Dif_h = (K_i - Ci) # dif de quanto tenho se permanecer e quanto
137  terei se eu me mover
138  Sign_Dif_h = sign(Dif_h)
139  return(Sign_Dif_h)
140 }
141 for(h in 1:20){
142  C(h)
143  print(paste("Horizonte", h, ": Resultado =", C(h)))
144 }
145
146
147
148
149 #----- Caso DM j - Conj de Dados -----#
150
151 # Matriz de acessibilidade
152 # Sun Belt
153 Ji = matrix(c(0,1,1,0,1,0,0,0,0,0,
154             1,0,0,1,0,1,0,0,0,0,0,
155             1,0,0,1,0,0,0,0,0,0,0,

```

```

156          0,1,1,0,0,0,0,0,0,0,0,
157          1,0,0,0,0,1,0,0,0,0,0,
158          0,1,0,0,1,0,0,0,0,0,0,
159          0,0,0,0,0,0,0,0,1,0,1,
160          0,0,0,0,0,0,0,0,1,0,0,
161          0,0,0,0,0,0,1,1,0,0,0,
162          0,0,0,0,0,0,0,0,0,0,1,
163          0,0,0,0,0,1,0,0,1,0),S,S)
164 # BCG
165 Jj = matrix(c(0,0,0,0,0,0,0,0,0,0,0,
166               0,0,0,0,0,0,1,0,0,0,0,
167               0,0,0,0,0,0,0,1,0,0,0,
168               0,0,0,0,0,0,0,0,1,0,0,
169               0,0,0,0,0,0,0,0,0,1,0,
170               0,0,0,0,0,0,0,0,0,0,1,
171               0,1,0,0,0,0,0,0,0,0,0,
172               0,0,1,0,0,0,0,0,0,0,0,
173               0,0,0,1,0,0,0,0,0,0,0,
174               0,0,0,0,1,0,0,0,0,0,0,
175               0,0,0,0,0,1,0,0,0,0,0),S,S)
176
177 # ----- #
178 #      Matriz de preferencia
179 # ----- #
180
181 # Sun Belts
182 Pi_plus = matrix(c(0,0,0,0,0,0,0,0,0,0,0,
183               1,0,0,0,0,0,0,0,0,0,0,
184               1,1,0,1,0,0,1,1,1,1,0,
185               1,1,0,0,0,0,1,1,0,0,0,
186               1,1,1,1,0,1,1,1,1,1,1,
187               1,1,1,1,0,0,1,1,1,1,0,
188               1,1,0,0,0,0,0,0,0,0,0,
189               1,1,0,0,0,0,1,0,0,0,0,
190               1,1,0,1,0,0,1,1,0,0,0,
191               1,1,0,1,0,0,1,1,1,0,0,
192               1,1,1,1,0,1,1,1,1,1,0),S,S)
193
194 # BCG

```

```

195 Pj_plus = matrix(c(0,1,1,1,1,1,1,1,1,1,1,1,
196                      0,0,1,1,1,1,1,1,1,1,1,1,
197                      0,0,0,1,0,0,0,0,0,1,1,0,
198                      0,0,0,0,0,0,0,0,0,0,1,1,
199                      0,0,1,1,0,1,1,1,1,1,1,1,
200                      0,0,1,1,0,0,1,1,1,1,1,1,
201                      0,0,1,1,0,0,0,0,1,1,0,
202                      0,0,1,1,0,0,1,0,1,1,0,
203                      0,0,0,0,0,0,0,0,0,0,0,0,
204                      0,0,0,0,0,0,0,0,1,0,0,
205                      0,0,1,1,0,0,1,1,1,1,0),S,S)
206
207
208 K_j = t(E %*% Pj_plus) # Encontrar o valor de K_i(s)
209
210 # -----
211 # Ci Function
212 # -----
213
214 h=1
215 C <- function(h){
216   Ji_D = D + Ji # Diagonal + matriz de acessibilidade do DM i
217   comp_Ji_D = E - Ji_D # Matriz complementar da Ji_D
218   prod_estado = S * comp_Ji_D
219   if(h %% 2 == 0){ # Teste se par
220     #h=2
221     #prod_hadamard_h2 = hadamard.prod(Jj_D, (t(K_i%*%E))) # Para onde
222     # o oponente pode levar o conflito e quanto o DM focal vai
223     # receber
224     prod_hadamard_h2 = (hadamard.prod(Ji, (t(K_j%*%E))) + hadamard.
225                           prod(D, (t(K_j%*%E))))
226     B_1i = prod_estado + prod_hadamard_h2
227     C_1i = t(cbind(apply(B_1i,1,max))) # Min de cada linha
228     #F= hadamard.prod((Ji + D), (t(C_1j %*% E)))
229     F= (hadamard.prod(Jj, (C_1i%*%E)) + hadamard.prod(D, (t(K_j%*%E)
230                           )))
231     C_2j= cbind(apply(F,1,min))
232     Cj = C_2j
233     if(h>2){

```

```

230     for (g in 1:(h/2)-1){
231         prod_hadamard_h = (hadamard.prod(Ji, (t(Cj%*%E))) + hadamard.
232                         prod(D, (t(K_j%*%E)))) # (C_(h-2)i)
233         BiPlus1i = prod_estado + prod_hadamard_h
234         CiPlus1i = cbind(apply(BiPlus1i,1,max)) # Min de cada linha
235         F= (hadamard.prod(Jj, (t( CiPlus1i%*%E))) + hadamard.prod(D,
236                         (t(K_j%*%E))))
237         CjPlus2= cbind(apply(F,1,min))
238         Cj=CjPlus2
239     }
240     }
241 else{ # h eh impar
242     # h=1
243     Jj_D = D + Jj # Diagonal + matriz de acessibilidade do DM i
244     B_1j = hadamard.prod(Jj_D, (t(K_j%*%E))) # Para onde o oponente
245     pode levar o conflito e quanto o DM focal vai receber
246     C_1j = cbind(apply(B_1j,1,min)) # Max de cada linha
247     #Q=matrix(1,nrow = S,ncol = 1) # Matriz coluna de 1's
248     #C_1i = Q %*% C_1_max # Matriz dos max em coluna
249     Cj = C_1j
250     if (h>1) {
251         for (g in 1:(h-1)/2){
252             prod_hadamard_h = (hadamard.prod(Ji, (t(Cj%*%E))) + hadamard.
253                         prod(D, (t(K_j%*%E)))) # (C_(h-2)i)
254             BjPlus1i = prod_estado + prod_hadamard_h
255             CjPlus1i = cbind(apply(BjPlus1i,1,max)) # Min de cada linha
256             F= (hadamard.prod(Jj, (t( CjPlus1i%*%E))) + hadamard.prod(D,
257                         (t(K_j%*%E))))
258             CjPlus2= cbind(apply(F,1,min))
259             Cj=CjPlus2
260         }
261     }
262     Dif_h = (K_j - Cj) # dif de quanto tenho se permanecer e quanto
263     terei se eu me mover
264     Sign_Dif_h = sign(Dif_h)
265     return(Sign_Dif_h)
266 }

```

```

263
264
265 for(h in 1:20){
266   C(h)
267   print(paste("Horizonte", h, ": Resultado =", C(h)))
268 }
```

### A.3 SCRIPT DO R - DILEMA DOS PRISIONEIROS N-DMS - CÓDIGO MAXIMIN<sub>h</sub>

```

1 #####
2 ##### Aplicacoes Dilema dos Prisioneiros n DMs #####
3 ##### France Oliveira #####
4 #####
5 #####
6 #####
7 #####
8 #----- Bibliotecas necessarias ----- #
9 #####
10 library(matrixcalc)
11 library('ramify')
12 library(readxl)
13 #####
14 #----- Elementos de entrada -----#
15 # -----
16 # Dilema dos Prisioneiros - 3 DMs
17 # -----
18 #####
19 #####
20 J1 <- Dilema_Prisioneiros_J1_3_Decisores
21 J1 <- as.matrix(J1)
22 #####
23 J2 <- Dilema_Prisioneiros_J2_3_Decisores
24 J2 <- as.matrix(J2)
25 #####
26 J3 <- Dilema_Prisioneiros_J3_3_Decisores
27 J3 <- as.matrix(J3)
28 #####
29 matriz_acess = list(J1, J2, J3)
```

```

30
31 # Acessando e removendo uma matriz especifica da lista, ou seja, o DM
32 Focal
33
34 Id_DM_Focal <- 1
35
36 N = 3 # Qnt de DMs
37 h = 1 # Horizonte
38 S = 8 # Qnt de estados
39 E = rep(1,S) # Vetor de um's
40 D = diag (x = 1, nrow=S, ncol=S) # Matriz diagonal
41 E_1 = matrix(1, nrow = S, ncol = 1, byrow = TRUE) # Matriz coluna de
42 uns
43 K1 = matrix(c(4,2,2,0,5,3,3,1), nrow = S, ncol = 1, byrow = TRUE)
44 K2 = matrix(c(4,2,5,3,2,0,3,1), nrow = S, ncol = 1, byrow = TRUE)
45 K3 = matrix(c(4,5,2,3,2,3,0,1), nrow = S, ncol = 1, byrow = TRUE)
46
47 matriz_pref = list(K1, K2, K3)
48
49 # -----
50
51 # Funcao Coalizao - J_H
52 # -----
53
54 JH <- function(S, Id_DM_Focal, matriz_acess){
55
56   conj_coalizao <- matriz_acess[-Id_DM_Focal]
57
58   #soma_coalizao = J2 + J3 + J4
59   #sinal_coalizao = sign(soma_coalizao)
60   #J_r = sign(J1 %*% sinal_coalizao)
61
62   delta = sum(unlist(conj_coalizao))
63   soma_matrizes <- function(matriz1, matriz2) {
64     return(matriz1 + matriz2)
65   }
66   J_op <- Reduce(soma_matrizes, conj_coalizao)
67
68
69   # for(l in 1:length(conj_coalizao)){
70   #   DM_Focal = matriz_acess[[Id_DM_Focal]]
71
72
73
74
75
76
77
78
79
79
80
81
82
83
84
85
86
87
88
89
90
91
92
93
94
95
96
97
98
99
100
101
102
103
104
105
106
107
108
109
110
111
112
113
114
115
116
117
118
119
120
121
122
123
124
125
126
127
128
129
130
131
132
133
134
135
136
137
138
139
140
141
142
143
144
145
146
147
148
149
150
151
152
153
154
155
156
157
158
159
160
161
162
163
164
165
166
167
168
169
170
171
172
173
174
175
176
177
178
179
180
181
182
183
184
185
186
187
188
189
190
191
192
193
194
195
196
197
198
199
200
201
202
203
204
205
206
207
208
209
210
211
212
213
214
215
216
217
218
219
220
221
222
223
224
225
226
227
228
229
230
231
232
233
234
235
236
237
238
239
240
241
242
243
244
245
246
247
248
249
250
251
252
253
254
255
256
257
258
259
260
261
262
263
264
265
266
267
268
269
270
271
272
273
274
275
276
277
278
279
280
281
282
283
284
285
286
287
288
289
290
291
292
293
294
295
296
297
298
299
300
301
302
303
304
305
306
307
308
309
310
311
312
313
314
315
316
317
318
319
320
321
322
323
324
325
326
327
328
329
330
331
332
333
334
335
336
337
338
339
340
341
342
343
344
345
346
347
348
349
350
351
352
353
354
355
356
357
358
359
360
361
362
363
364
365
366
367
368
369
370
371
372
373
374
375
376
377
378
379
380
381
382
383
384
385
386
387
388
389
390
391
392
393
394
395
396
397
398
399
400
401
402
403
404
405
406
407
408
409
410
411
412
413
414
415
416
417
418
419
420
421
422
423
424
425
426
427
428
429
430
431
432
433
434
435
436
437
438
439
440
441
442
443
444
445
446
447
448
449
450
451
452
453
454
455
456
457
458
459
460
461
462
463
464
465
466
467
468
469
470
471
472
473
474
475
476
477
478
479
480
481
482
483
484
485
486
487
488
489
490
491
492
493
494
495
496
497
498
499
500
501
502
503
504
505
506
507
508
509
510
511
512
513
514
515
516
517
518
519
520
521
522
523
524
525
526
527
528
529
530
531
532
533
534
535
536
537
538
539
540
541
542
543
544
545
546
547
548
549
550
551
552
553
554
555
556
557
558
559
560
561
562
563
564
565
566
567
568
569
570
571
572
573
574
575
576
577
578
579
580
581
582
583
584
585
586
587
588
589
589
590
591
592
593
594
595
596
597
598
599
600
601
602
603
604
605
606
607
608
609
610
611
612
613
614
615
616
617
618
619
620
621
622
623
624
625
626
627
628
629
630
631
632
633
634
635
636
637
638
639
640
641
642
643
644
645
646
647
648
649
650
651
652
653
654
655
656
657
658
659
660
661
662
663
664
665
666
667
668
669
669
670
671
672
673
674
675
676
677
678
679
679
680
681
682
683
684
685
686
687
688
689
689
690
691
692
693
694
695
696
697
698
699
699
700
701
702
703
704
705
706
707
708
709
709
710
711
712
713
714
715
716
717
718
719
719
720
721
722
723
724
725
726
727
728
729
729
730
731
732
733
734
735
736
737
738
739
739
740
741
742
743
744
745
746
747
748
749
749
750
751
752
753
754
755
756
757
758
759
759
760
761
762
763
764
765
766
767
768
769
769
770
771
772
773
774
775
776
777
778
779
779
780
781
782
783
784
785
786
787
787
788
789
789
790
791
792
793
794
795
796
797
797
798
799
799
800
801
802
803
804
805
806
807
808
809
809
810
811
812
813
814
815
816
817
817
818
819
819
820
821
822
823
824
825
826
827
827
828
829
829
830
831
832
833
834
835
836
837
837
838
839
839
840
841
842
843
844
845
846
846
847
848
848
849
849
850
851
852
853
854
855
856
856
857
858
858
859
859
860
861
862
863
864
865
865
866
867
867
868
868
869
869
870
871
872
873
874
875
875
876
877
877
878
878
879
879
880
881
882
883
884
885
885
886
887
887
888
888
889
889
890
891
892
893
893
894
894
895
895
896
896
897
897
898
898
899
899
900
901
902
903
903
904
904
905
905
906
906
907
907
908
908
909
909
910
910
911
911
912
912
913
913
914
914
915
915
916
916
917
917
918
918
919
919
920
920
921
921
922
922
923
923
924
924
925
925
926
926
927
927
928
928
929
929
930
930
931
931
932
932
933
933
934
934
935
935
936
936
937
937
938
938
939
939
940
940
941
941
942
942
943
943
944
944
945
945
946
946
947
947
948
948
949
949
950
950
951
951
952
952
953
953
954
954
955
955
956
956
957
957
958
958
959
959
960
960
961
961
962
962
963
963
964
964
965
965
966
966
967
967
968
968
969
969
970
970
971
971
972
972
973
973
974
974
975
975
976
976
977
977
978
978
979
979
980
980
981
981
982
982
983
983
984
984
985
985
986
986
987
987
988
988
989
989
990
990
991
991
992
992
993
993
994
994
995
995
996
996
997
997
998
998
999
999
1000
1000
1001
1001
1002
1002
1003
1003
1004
1004
1005
1005
1006
1006
1007
1007
1008
1008
1009
1009
1010
1010
1011
1011
1012
1012
1013
1013
1014
1014
1015
1015
1016
1016
1017
1017
1018
1018
1019
1019
1020
1020
1021
1021
1022
1022
1023
1023
1024
1024
1025
1025
1026
1026
1027
1027
1028
1028
1029
1029
1030
1030
1031
1031
1032
1032
1033
1033
1034
1034
1035
1035
1036
1036
1037
1037
1038
1038
1039
1039
1040
1040
1041
1041
1042
1042
1043
1043
1044
1044
1045
1045
1046
1046
1047
1047
1048
1048
1049
1049
1050
1050
1051
1051
1052
1052
1053
1053
1054
1054
1055
1055
1056
1056
1057
1057
1058
1058
1059
1059
1060
1060
1061
1061
1062
1062
1063
1063
1064
1064
1065
1065
1066
1066
1067
1067
1068
1068
1069
1069
1070
1070
1071
1071
1072
1072
1073
1073
1074
1074
1075
1075
1076
1076
1077
1077
1078
1078
1079
1079
1080
1080
1081
1081
1082
1082
1083
1083
1084
1084
1085
1085
1086
1086
1087
1087
1088
1088
1089
1089
1090
1090
1091
1091
1092
1092
1093
1093
1094
1094
1095
1095
1096
1096
1097
1097
1098
1098
1099
1099
1100
1100
1101
1101
1102
1102
1103
1103
1104
1104
1105
1105
1106
1106
1107
1107
1108
1108
1109
1109
1110
1110
1111
1111
1112
1112
1113
1113
1114
1114
1115
1115
1116
1116
1117
1117
1118
1118
1119
1119
1120
1120
1121
1121
1122
1122
1123
1123
1124
1124
1125
1125
1126
1126
1127
1127
1128
1128
1129
1129
1130
1130
1131
1131
1132
1132
1133
1133
1134
1134
1135
1135
1136
1136
1137
1137
1138
1138
1139
1139
1140
1140
1141
1141
1142
1142
1143
1143
1144
1144
1145
1145
1146
1146
1147
1147
1148
1148
1149
1149
1150
1150
1151
1151
1152
1152
1153
1153
1154
1154
1155
1155
1156
1156
1157
1157
1158
1158
1159
1159
1160
1160
1161
1161
1162
1162
1163
1163
1164
1164
1165
1165
1166
1166
1167
1167
1168
1168
1169
1169
1170
1170
1171
1171
1172
1172
1173
1173
1174
1174
1175
1175
1176
1176
1177
1177
1178
1178
1179
1179
1180
1180
1181
1181
1182
1182
1183
1183
1184
1184
1185
1185
1186
1186
1187
1187
1188
1188
1189
1189
1190
1190
1191
1191
1192
1192
1193
1193
1194
1194
1195
1195
1196
1196
1197
1197
1198
1198
1199
1199
1200
1200
1201
1201
1202
1202
1203
1203
1204
1204
1205
1205
1206
1206
1207
1207
1208
1208
1209
1209
1210
1210
1211
1211
1212
1212
1213
1213
1214
1214
1215
1215
1216
1216
1217
1217
1218
1218
1219
1219
1220
1220
1221
1221
1222
1222
1223
1223
1224
1224
1225
1225
1226
1226
1227
1227
1228
1228
1229
1229
1230
1230
1231
1231
1232
1232
1233
1233
1234
1234
1235
1235
1236
1236
1237
1237
1238
1238
1239
1239
1240
1240
1241
1241
1242
1242
1243
1243
1244
1244
1245
1245
1246
1246
1247
1247
1248
1248
1249
1249
1250
1250
1251
1251
1252
1252
1253
1253
1254
1254
1255
1255
1256
1256
1257
1257
1258
1258
1259
1259
1260
1260
1261
1261
1262
1262
1263
1263
1264
1264
1265
1265
1266
1266
1267
1267
1268
1268
1269
1269
1270
1270
1271
1271
1272
1272
1273
1273
1274
1274
1275
1275
1276
1276
1277
1277
1278
1278
1279
1279
1280
1280
1281
1281
1282
1282
1283
1283
1284
1284
1285
1285
1286
1286
1287
1287
1288
1288
1289
1289
1290
1290
1291
1291
1292
1292
1293
1293
1294
1294
1295
1295
1296
1296
1297
1297
1298
1298
1299
1299
1300
1300
1301
1301
1302
1302
1303
1303
1304
1304
1305
1305
1306
1306
1307
1307
1308
1308
1309
1309
1310
1310
1311
1311
1312
1312
1313
1313
1314
1314
1315
1315
1316
1316
1317
1317
1318
1318
1319
1319
1320
1320
1321
1321
1322
1322
1323
1323
1324
1324
1325
1325
1326
1326
1327
1327
1328
1328
1329
1329
1330
1330
1331
1331
1332
1332
1333
1333
1334
1334
1335
1335
1336
1336
1337
1337
1338
1338
1339
1339
1340
1340
1341
1341
1342
1342
1343
1343
1344
1344
1345
1345
1346
1346
1347
1347
1348
1348
1349
1349
1350
1350
1351
1351
1352
1352
1353
1353
1354
1354
1355
1355
1356
1356
1357
1357
1358
1358
1359
1359
1360
1360
1361
1361
1362
1362
1363
1363
1364
1364
1365
1365
1366
1366
1367
1367
1368
1368
1369
1369
1370
1370
1371
1371
1372
1372
1373
1373
1374
1374
1375
1375
1376
1376
1377
1377
1378
1378
1379
1379
1380
1380
1381
1381
1382
1382
1383
1383
1384
1384
1385
1385
1386
1386
1387
1387
1388
1388
1389
1389
1390
1390
1391
1391
1392
1392
1393
1393
1394
1394
1395
1395
1396
1396
1397
1397
1398
1398
1399
1399
1400
1400
1401
1401
1402
1402
1403
1403
1404
1404
1405
1405
1406
1406
1407
1407
1408
1408
1409
1409
1410
1410
1411
1411
1412
1412
1413
1413
1414
1414
1415
1415
1416
1416
1417
1417
1418
1418
1419
1419
1420
1420
1421
1421
1422
1422
1423
1423
1424
1424
1425
1425
1426
1426
1427
1427
1428
1428
1429
1429
1430
1430
1431
1431
1432
1432
1433
1433
1434
1434
1435
1435
1436
1436
1437
1437
1438
1438
1439
1439
1440
1440
1441
1441
1442
1442
1443
1443
1444
1444
1445
1445
1446
1446
1447
1447
1448
1448
1449
1449
1450
1450
1451
1451
1452
1452
1453
1453
1454
1454
1455
1455
1456
1456
1457
1457
1458
1458
1459
1459
1460
1460
1461
1461
1462
1462
1463
1463
1464
1464
1465
1465
1466
1466
1467
1467
1468
1468
1469
1469
1470
1470
1471
1471
1472
1472
1473
1473
1474
1474
1475
1475
1476
1476
1477
1477
1478
1478
1479
1479
1480
1480
1481
1481
1482
1482
1483
1483
1484
1484
1485
1485
1486
1486
1487
1487
1488
1488
1489
1489
1490
1490
1491
1491
1492
1492
1493
1493
1494
1494
1495
1495
1496
1496
1497
1497
1498
1498
1499
1499
1500
1500
1501
1501
1502
1502
1503
1503
1504
1504
1505
1505
1506
1506
1507
1507
1508
1508
1509
1509
1510
1510
1511
1511
1512
1512
1513
1513
1514
1514
1515
1515
1516
1516
1517
1517
1518
1518
1519
1519
1520
1520
1521
1521
1522
1522
1523
1523
1524
1524
1525
1525
1526
1526
1527
1527
1528
1528
1529
1529
1530
1530
1531
1531
1532
1532
1533
1533
1534
1534
1535
1535
1536
1536
1537
1537
1538
1538
1539
1539
1540
1540
1541
1541
1542
1542
1543
1543
1544
1544
1545
1545
1546
1546
1547
1547
1548
1548
1549
1549
1550
1550
1551
1551
1552
1552
1553
1553
1554
1554
1555
1555
1556
1556
1557
1557
1558
1558
1559
1559
1560
1560
1561
1561
1562
1562
1563
1563
1564
1564
1565
1565
1566
1566
1567
1567
1568
1568
1569
1569
1570
1570
1571
1571
1572
1572
1573
1573
1574
1574
1575
1575
1576
1576
1577
1577
1578
1578
1579
1579
1580
1580
1581
1581
1582
1582
1583
1583
1584
1584
1585
1585
1586
1586
1587
1587
1588
1588
1589
1589
1590
1590
1591
1591
1592
1592
1593
1593
1594
1594
1595
1595
1596
1596
1597
1597
1598
1598
1599
1599
1600
1600
1601
1601
1602
1602
1603
1603
1604
1604
1605
1605
1606
1606
1607
1607
1608
1608
1609
1609
1610
1610
1611
1611
1612
1612
1613
1613
1614
1614
1615
1615
1616
1616
1617
1617
1618
1618
1619
1619
1620
1620
1621
1621
1622
1622
1623
1623
1624
1624
1625
1625
1626
1626
1627
1627
1628
1628
1629
1629
1
```

```

67  #     conj_coalizao = matriz_acess[-Id_DM_Focal]
68  new_conj_coalizao = conj_coalizao
69  temp_conj_coalizao = new_conj_coalizao
70  for(r in 2:delta){
71      for(i in 1:length(conj_coalizao)){
72          soma_coalizao = matrix(0,S,S)
73          for(j in 1:length(conj_coalizao)){
74              if(j != i){
75                  soma_coalizao = soma_coalizao + new_conj_coalizao[[j]]
76              }
77          }
78          sinal_coalizao = sign(soma_coalizao) # o sinal garanti que
79          # tenhamos 1 se a soma for dif de 0 e 0 c.c.
80          temp_conj_coalizao[[i]] = sign(conj_coalizao[[i]] %*% sinal_
81          coalizao)
82      }
83      new_conj_coalizao = temp_conj_coalizao
84      J_op = J_op + Reduce(soma_matrizes, new_conj_coalizao)
85  }
86  # }
87  J_op = sign(J_op)
88  return(J_op)
89 }
90 #
91 #     Ci Function - Maximin_h DM i
92 #
93
94 C <- function(h){
95     Jj_D = D + Jj # Diagonal + matriz de acessibilidade do DM j
96     comp_Jj_D = E - Jj_D # Matriz complementar da Jj_D
97     prod_estado = S * comp_Jj_D
98     if(h %% 2 == 0){ # Teste se par
99         #h=2
100        prod_hadamard_h2 = hadamard.prod(Jj_D, (t(K_i%*%E))) # Para onde
101        # o oponente pode levar o conflito e quanto o DM focal vai
102        # receber

```

```

101 prod_hadamard_h2 = (hadamard.prod(Jj, (t(K_i%*%E))) + hadamard.
102   prod(D, (t(K_i%*%E))))
103 B_1j = prod_estado + prod_hadamard_h2
104 C_1j = cbind(apply(B_1j,1,min)) # Min de cada linha
105 #F= hadamard.prod((Ji + D), (t(C_1j %*% E)))
106 F= (hadamard.prod(Ji, (t( C_1j%*%E))) + hadamard.prod(D, (t(K_i%*
107   %E))))
108 C_2i= cbind(apply(F,1,max))
109 Ci = C_2i
110 if(h>2){
111   for (g in 1:(h/2)-1){
112     prod_hadamard_h = (hadamard.prod(Jj, (t(Ci%*%E))) + hadamard.
113       prod(D, (t(K_i%*%E)))) # (C_(h-2)i)
114     BiPlus1j = prod_estado + prod_hadamard_h
115     CiPlus1j = cbind(apply(BiPlus1j,1,min)) # Min de cada linha
116     F= (hadamard.prod(Ji, (t( CiPlus1j%*%E))) + hadamard.prod(D,
117       (t(K_i%*%E))))
118     CiPlus2= cbind(apply(F,1,max))
119     Ci=CiPlus2
120   }
121 }
122 else{ # h eh impar
123   # h=1
124   Ji_D = D + Ji # Diagonal + matriz de acessibilidade do DM i
125   B_1i = hadamard.prod(Ji_D, (t(K_i%*%E))) # Para onde o oponente
126     pode levar o conflito e quanto o DM focal vai receber
127   C_1i = cbind(apply(B_1i,1,max)) # Max de cada linha
128   #Q=matrix(1,nrow = S,ncol = 1) # Matriz coluna de 1's
129   #C_1i = Q %*% C_1_max # Matriz dos max em coluna
130   Ci = C_1i
131   if (h>1) {
132     for (g in 1:(h-1)/2){
133       prod_hadamard_h = (hadamard.prod(Jj, (t(Ci%*%E))) + hadamard.
134         prod(D, (t(K_i%*%E)))) # (C_(h-2)i)
135       BiPlus1j = prod_estado + prod_hadamard_h
136       CiPlus1j = cbind(apply(BiPlus1j,1,min)) # Min de cada linha
137       F= (hadamard.prod(Ji, (t( CiPlus1j%*%E))) + hadamard.prod(D,
138         (t(K_i%*%E))))

```

```

133     CiPlus2= cbind(apply(F,1,max))
134     Ci=CiPlus2
135   }
136 }
137 }
138 Dif_h = (K_i - Ci) # dif de quanto tenho se permanecer e quanto
139     # terei se eu me mover
140 Sign_Dif_h = sign(Dif_h)
141 return(Sign_Dif_h)
142 }
143 execut_i <- function(){
144   for(h in 1:10){
145     for (Id_DM_Focal in 1:N) {
146       Ji <- matriz_acess[[Id_DM_Focal]]
147       Jj <- JH(S, Id_DM_Focal,matriz_acess)
148       K_i <- matriz_pref[[Id_DM_Focal]]
149       C(h)
150       print(paste("Horizonte", h, "DM_Focal:", Id_DM_Focal, ":
151           Resultado =", C(h)))
152     }
153   }
154 tempo <- system.time(execut_i())

```

#### A.4 SCRIPT DO R - DILEMA DOS PRISIONEIROS - CÓDIGO $L_h$

```

1
2 ##### Aplicacoes Dilema dos Prisioneiros #####
3 ##### France Oliveira #####
4 #####
5 #####
6
7
8 ----- Bibliotecas necessarias ----- #
9
10 library(matrixcalc)
11 library('ramify')

```

```

12
13 #----- Elementos de entrada -----
14
15 S=4 # Quantidade de estados
16 E = rep(1,S) # Vetor de um's # Matriz de um's
17 D = diag (x = 1, nrow=S, ncol=S) # Matriz diagonal
18 D_1j = matrix(c(0,0,0,0,
19                 0,0,0,0,
20                 0,0,0,0,
21                 0,0,0,0),S,S)
22
23 #----- Conj de Dados -----
24
25 # Matriz de acessibilidade
26 Ji = matrix(c(0,0,1,0,
27                 0,0,0,1,
28                 1,0,0,0,
29                 0,1,0,0),S,S)
30
31 Jj = matrix(c(0,1,0,0,
32                 1,0,0,0,
33                 0,0,0,1,
34                 0,0,1,0),S,S)
35
36
37
38 # Matriz de preferencia - DM i
39 Pi_plus = matrix(c(0,1,0,1,
40                     0,0,0,0,
41                     1,1,0,1,
42                     0,1,0,0),S,S)
43
44 # Matriz de preferencia - DM j
45 Pj_plus = matrix(c(0,0,1,1,
46                     1,0,1,1,
47                     0,0,0,0,
48                     0,0,1,0),S,S)
49
50 # Matrizes K_i e K_j

```

```

51 K_i = t(E %*% Pi_plus) # Encontrar o valor de K_i(s)
52 K_j = t(E %*% Pj_plus) # Encontrar o valor de K_j(s)
53
54
55
56 # ----- #  

57 # CASO h=1  

58 # ----- #
59
60 # ----- Para o DM i -----
61
62 # Calculando B_1i
63 B_1i = (hadamard.prod(Ji, (t(K_i%*%E)))) + (hadamard.prod(D, (t(K_i%*%
64 %E))))  

65
66 # Calculando C_1i = Max(B_1i)
67 C_1i = cbind(apply(B_1i,1,max))
68
69 # Calculando (K_i - C_1i) e depois o sinal da diff - dif de quanto
70 # tenho se permanecer e quanto terei se eu me mover
71 Dif_1_i = (K_i - C_1i)
72 Sign_Dif_1_i = sign(Dif_1_i)
73
74
75 # ----- Para o DM j -----
76
77 # Calculando B_1j
78 B_1j = (hadamard.prod(Jj, (t(K_j%*%E))) + hadamard.prod(D, (t(K_j%*%E
79 ))))  

80
81 # Calculando C_1j = Max(B_1j)
82 C_1j= cbind(apply(B_1j,1,max))
83
84 # Calculando (K_i - C_1i) e sinal da diff
85 Dif_1_j = (K_j - C_1j)
86 Sign_Dif_1_j = sign(Dif_1_j)
87
88 # ----- #

```

```

87 #                                     CASO h=2
88 # ----- #
89
90
91 # Funcao Argmax
92
93 Argmax <- function(mat) {
94   result <- mat
95   for (i in 1:nrow(mat)) {
96     row <- mat[i, ]
97     max_index <- which.max(row)
98     row[max_index] <- 1
99     row[-max_index] <- 0
100    result[i, ] <- row
101  }
102  return(result)
103 }
104
105 # Exemplo
106 matriz <- matrix(c(1, 2, 3, 4, 8, 6, 7, 8, 9), nrow = 3)
107 resultado <- Argmax(matriz)
108 print(resultado)
109
110
111
112
113
114 # ----- Para o DM i -----
115
116 # Calculando B_2i
117 y=(E-D)
118 q=hadamard.prod(Argmax(B_1j), y)
119 p=hadamard.prod(Argmax(B_1j), D)
120 r= (q %*% K_i) + (p %*% K_i)
121 v=t(r %*% E)
122 I=hadamard.prod(Ji, v)
123 II = (hadamard.prod(D, (t(K_i%*%E))))
124
125 B_2i = (I + II)

```

```

126
127
128 # Calculando C_2i = Max(B_2i)
129 C_2i = cbind(apply(B_2i,1,max))
130
131 # Calculando (K_2 - C_2i) e depois o sinal da diff - dif de quanto
132     tenho se permanecer e quanto terei se eu me mover
133 Dif_2_i = (K_i - C_2i)
134 Sign_Dif_2_i = sign(Dif_2_i)
135
136 # ----- Para o DM j -----
137
138 # Calculando B_2j
139 y=(E-D)
140 q=hadamard.prod(Argmax(B_1i), y)
141 p=hadamard.prod(Argmax(B_1i), D)
142 r= (q %*% K_j) + (p %*% K_j)
143 v=t(r %*% E)
144 I=hadamard.prod(Jj, v)
145 II = (hadamard.prod(D, (t(K_j%*%E))))
146
147 B_2j = (I + II)
148
149 # Calculando C_2j = Max(B_2j)
150 C_2j= cbind(apply(B_2j,1,max))
151
152 # Calculando (K_j - C_2j) e sinal da diff
153 Dif_2_j = (K_j - C_2j)
154 Sign_Dif_2_j = sign(Dif_2_j)
155
156
157
158 # ----- #
159 # Ci Function - DM i Inicia
160 # ----- #
161
162 Ci <- function(h){
163     if(h==1){

```

```

164     B_1i = (hadamard.prod(Ji, (t(K_i%*%E)))) + (hadamard.prod(D, (t(K
165         _i%*%E))))
166     C_1i = cbind(apply(B_1i,1,max)) # Max de cada linha
167     Ci = C_1i
168 }
169 if(h==2){
170     B_2i = ((hadamard.prod(Ji, (t((((hadamard.prod(Argmax(B_1j), (E-D
171         ))%*% K_i) + ((hadamard.prod(Argmax(B_1j), D))%*% K_i))%*%
172         E)))) + (hadamard.prod(D, (t(K_i%*%E)))))
173     C_2i = cbind(apply(B_2i,1,max)) # Max de cada linha
174     Ci = C_2i
175 }
176 if(h>2){
177     for (g in 3:h){
178         B_3i = ((hadamard.prod(Ji, (t((((hadamard.prod(Argmax(B_2j), (E
179             -D))%*% K_i) + ((hadamard.prod(Argmax(B_2j), D))%*% K_i))%*%
180             E)))) + (hadamard.prod(D, (t(K_i%*%E)))))
181         C_3i = cbind(apply(B_3i,1,max)) # Max de cada linha
182         Ci = C_3i
183     }
184     Dif_h = (K_i - Ci) # dif de quanto tenho se permanecer e quanto
185         terei se eu me mover
186     Sign_Dif_h = sign(Dif_h)
187     return(Sign_Dif_h)
188 }
189
190 # -----
191 # Cj Function - DM j Inicia
192 # -----
193 Cj <- function(h){
194     if(h==1){
195         B_1j = (hadamard.prod(Jj, (t(K_j%*%E)))) + (hadamard.prod(D, (t(K
196             _j%*%E))))
197         C_1j = cbind(apply(B_1i,1,max)) # Max de cada linha
198         Cj = C_1j
199     }

```

```

196  if(h==2){
197      B_2j = ((hadamard.prod(Jj, (t(((hadamard.prod(Argmax(B_1i), (E-D
198          ))) %*% K_j) + ((hadamard.prod(Argmax(B_1i), D)) %*% K_j)) %*%
199          E)))) + (hadamard.prod(D, (t(K_j%*%E))))) )
200      C_2j = cbind(apply(B_2i,1,max)) # Max de cada linha
201      Cj = C_2j
202  }
203  if(h>2){
204      for (g in 3:h){
205          B_3j = ((hadamard.prod(Jj, (t(((hadamard.prod(Argmax(B_2i), (E-
206              -D))) %*% K_j) + ((hadamard.prod(Argmax(B_2i), D)) %*% K_j)) %
207              E)))) + (hadamard.prod(D, (t(K_j%*%E))))) )
208          C_3j = cbind(apply(B_3j,1,max)) # Max de cada linha
209          Cj = C_3j
210      }
211  }
212  Dif_h = (K_j - Cj) # dif de quanto tenho se permanecer e quanto
213      terei se eu me mover
214  Sign_Dif_h = sign(Dif_h)
215  return(Sign_Dif_h)
216 }
```

## A.5 SCRIPT DO R - CONFLITO DE SELEÇÃO DE TECNOLOGIA DE NEUROCIÊNCIA NA CHINA - CÓDIGO $L_h$

```

1
2 #-----
3 # Conflito de selecao de tecnologia de neurociencia na China - L_h
4 #-----
5
6 # Codigo para obter os resultados do DM i
7
8 library(matrixcalc)
9 library('ramify')
10
11
12 S=8 # Quantidade de estados
13 E = rep(1,S) # Vetor de um's # Matriz de um's
```

```

14 D = diag (x = 1, nrow=S, ncol=S) # Matriz diagonal
15 D_1j = matrix(c(0,0,0,0,0,0,0,0,0,
16                 0,0,0,0,0,0,0,0,0,
17                 0,0,0,0,0,0,0,0,0,
18                 0,0,0,0,0,0,0,0,0,
19                 0,0,0,0,0,0,0,0,0,
20                 0,0,0,0,0,0,0,0,0,
21                 0,0,0,0,0,0,0,0,0,
22                 0,0,0,0,0,0,0,0,0),S,S)
23
24 # Matriz de acessibilidade
25 Ji = matrix(c(0,1,1,1,0,0,0,0,0,
26                 1,0,1,1,0,0,0,0,0,
27                 1,1,0,1,0,0,0,0,0,
28                 1,1,1,0,0,0,0,0,0,
29                 0,0,0,0,0,1,1,1,
30                 0,0,0,0,1,0,1,1,
31                 0,0,0,0,1,1,0,1,
32                 0,0,0,0,1,1,1,0),S,S)
33
34 Jj = matrix(c(0,0,0,0,1,0,0,0,
35                 0,0,0,0,0,1,0,0,
36                 0,0,0,0,0,0,1,0,
37                 0,0,0,0,0,0,0,1,
38                 1,0,0,0,0,0,0,0,
39                 0,1,0,0,0,0,0,0,
40                 0,0,1,0,0,0,0,0,
41                 0,0,0,1,0,0,0,0),S,S)
42
43 # ----- #
44 #          CASO 1 - Intuition Phase
45 # ----- #
46
47 # Matriz de preferencia - DM i
48 #Pi_plus = matrix(c(0,1,1,1,1,1,1,1,
49 #                 0,0,0,1,0,1,1,1,
50 #                 0,1,0,1,0,1,1,1,
51 #                 0,0,0,0,0,1,1,1,
52 #                 0,1,1,1,0,1,1,1,

```

```

53 #          0,0,0,0,0,0,0,1,
54 #          0,0,0,0,0,1,0,1,
55 #          0,0,0,0,0,0,0,0),S,S)
56
57 # Matriz de preferencia - DM j
58 #Pj_plus = matrix(c(0,1,1,1,1,1,1,1,
59 #          0,0,0,1,0,1,1,1,
60 #          0,1,0,1,0,1,1,1,
61 #          0,0,0,0,0,1,1,1,
62 #          0,1,1,1,0,1,1,1,
63 #          0,0,0,0,0,0,0,1,
64 #          0,0,0,0,0,1,0,1,
65 #          0,0,0,0,0,0,0,0),S,S)
66
67 # ----- #
68 #      CASO 2 - Emotion Phase
69 # ----- #
70
71 # Matriz de preferencia - DM i
72 #Pi_plus = matrix(c(0,0,0,0,1,0,0,0,
73 #          1,0,0,0,1,1,1,0,
74 #          1,1,0,0,1,1,1,0,
75 #          1,1,1,0,1,1,1,1,
76 #          0,0,0,0,0,0,0,0,
77 #          1,0,0,0,1,0,0,0,
78 #          1,0,0,0,1,1,0,0,
79 #          1,1,1,0,1,1,1,0),S,S)
80
81 # Matriz de preferencia - DM j
82 #Pj_plus = matrix(c(0,0,0,0,1,1,1,1,
83 #          1,0,1,0,1,1,1,1,
84 #          1,0,0,0,1,1,1,1,
85 #          1,1,1,0,1,1,1,1,
86 #          0,0,0,0,0,0,0,0,
87 #          0,0,0,0,1,0,1,0,
88 #          0,0,0,0,1,0,0,0,
89 #          0,0,0,0,1,1,1,0),S,S)
90
91 # ----- #

```

```

92 #           CASO 3 - Small-Scale Rationality Phase
93 # ----- #
94
95 # Matriz de preferencia - DM i
96 #Pi_plus = matrix(c(0,1,0,1,1,1,1,1,
97 #                   0,0,0,0,1,1,1,1,
98 #                   1,1,0,1,1,1,1,1,
99 #                   0,1,0,0,1,1,1,1,
100 #                  0,0,0,0,0,0,0,1,
101 #                  0,0,0,0,1,0,0,1,
102 #                  0,0,0,0,1,1,0,1,
103 #                  0,0,0,0,0,0,0,0),S,S)
104
105 # Matriz de preferencia - DM j
106 #Pj_plus = matrix(c(0,0,0,0,0,0,0,0,
107 #                   1,0,1,0,1,0,1,0,
108 #                   1,0,0,0,1,0,1,0,
109 #                   1,1,1,0,1,0,1,0,
110 #                   1,0,0,0,0,0,0,0,
111 #                   1,1,1,1,1,0,1,0,
112 #                   1,0,0,0,1,0,0,0,
113 #                   1,1,1,1,1,1,0,0),S,S)
114
115 # ----- #
116 #           CASO 4 - Large-Scale Rationality Phase
117 # ----- #
118
119 # Matriz de preferencia - DM i
120 Pi_plus = matrix(c(0,1,1,1,1,1,1,1,
121 #                   0,0,0,0,1,1,0,1,
122 #                   0,1,0,1,1,1,1,1,
123 #                   0,1,0,0,1,1,1,1,
124 #                   0,0,0,0,0,1,0,1,
125 #                   0,0,0,0,0,0,0,1,
126 #                   0,1,0,0,1,1,0,1,
127 #                   0,0,0,0,0,0,0,0),S,S)
128
129 # Matriz de preferencia - DM j
130 Pj_plus = matrix(c(0,0,0,0,0,0,0,0,

```

```

131           1,0,1,0,1,0,0,0,
132           1,0,0,0,1,0,0,0,
133           1,1,1,0,1,0,0,0,
134           1,0,0,0,0,0,0,0,
135           1,1,1,1,1,0,1,0,
136           1,1,1,1,1,0,0,0,
137           1,1,1,1,1,1,1,0),S,S)
138
139 # Matrizes K_i e K_j
140 K_i = t(E %*% Pi_plus) # Encontrar o valor de K_i(s)
141 K_j = t(E %*% Pj_plus) # Encontrar o valor de K_j(s)
142
143
144 # ----- #
145 #           CASO h=1
146 # ----- #
147
148 # ----- Para o DM i -----
149
150 # Calculando B_1i
151 B_1i = (hadamard.prod(Ji, (t(K_i%*%E)))) + (hadamard.prod(D, (t(K_i%*%
152 %E))))
153
154 # Calculando C_1i = Max(B_1i)
155 C_1i = cbind(apply(B_1i,1,max))
156
157 # Calculando (K_i - C_1i) e depois o sinal da diff - dif de quanto
158 # tenho se permanecer e quanto terei se eu me mover
159 Dif_1_i = (K_i - C_1i)
160 Sign_Dif_1_i = sign(Dif_1_i)
161
162
163 # ----- Para o DM j -----
164 B_1j = (hadamard.prod(Jj, (t(K_j%*%E))) + hadamard.prod(D, (t(K_j%*%E
165 ))))
166 # Calculando C_1j = Max(B_1j)

```

```

167 C_1j= cbind(apply(B_1j,1,max))
168
169 # Calculando (K_i - C_1i) e sinal da diff
170 Dif_1_j = (K_j - C_1j)
171 Sign_Dif_1_j = sign(Dif_1_j)
172
173
174 # ----- #
175 # CASO h=2
176 # ----- #
177
178
179 # Funcao Argmax
180
181 Argmax <- function ( mat ) {
182   result <- mat
183   for ( i in 1: nrow ( mat ) ) {
184     row <- mat [i , ]
185     max_index <- which.max ( row )
186     if (row [max_index] > row[i]){
187       row [max_index] <- 1
188       row [-max_index] <- 0
189     }
190     else {
191       row [i] <- 1
192       row [-i] <- 0
193     }
194     result [i , ] <- row
195   }
196   return ( result )
197 }
198
199
200 # Exemplo
201 #matriz <- matrix(c(1, 2, 3, 4, 8, 6, 7, 8, 9), nrow = 3)
202 #resultado <- Argmax(matriz)
203 #print(resultado)
204
205

```

```

206 # ----- Para o DM i -----
207
208 # Calculando B_2i
209 y=(E-D)
210 q=hadamard.prod(Argmax(B_1j), y)
211 p=hadamard.prod(Argmax(B_1j), D)
212 r= (q %*% K_i) + (p %*% K_i)
213 v=t(r %*% E)
214 I=hadamard.prod(Ji, v)
215 II = (hadamard.prod(D, (t(K_i%*%E))))
216
217 B_2i = (I + II)
218
219
220 # Calculando C_2i = Max(B_2i)
221 C_2i = cbind(apply(B_2i,1,max))
222
223 # Calculando (K_2 - C_2i) e depois o sinal da diff - dif de quanto
224 # tenho se permanecer e quanto terei se eu me mover
225 Dif_2_i = (K_i - C_2i)
226 Sign_Dif_2_i = sign(Dif_2_i)
227
228 # ----- Para o DM j -----
229
230 # Calculando B_2j
231 y=(E-D)
232 q=hadamard.prod(Argmax(B_1i), y)
233 p=hadamard.prod(Argmax(B_1i), D)
234 r= (q %*% K_j) + (p %*% K_j)
235 v=t(r %*% E)
236 I=hadamard.prod(Jj, v)
237 II = (hadamard.prod(D, (t(K_j%*%E))))
238
239 B_2j = (I + II)
240
241 # Calculando C_2j = Max(B_2j)
242 C_2j= cbind(apply(B_2j,1,max))
243

```

```

244 # Calculando (K_j - C_2j) e sinal da diff
245 Dif_2_j = (K_j - C_2j)
246 Sign_Dif_2_j = sign(Dif_2_j)
247
248
249
250 # ----- #
251 # Ci Function - DM i Inicia
252 # ----- #
253
254 Ci <- function(h){
255   if(h==1){
256     B_1i = (hadamard.prod(Ji, (t(K_i%*%E)))) + (hadamard.prod(D, (t(K_i%*%E))))
257     C_1i = cbind(apply(B_1i,1,max)) # Max de cada linha
258     Ci = C_1i
259   }
260   if(h==2){
261     B_2i = ((hadamard.prod(Ji, (t((((hadamard.prod(Argmax(B_1j), (E-D))%*% K_i) + ((hadamard.prod(Argmax(B_1j), D))%*% K_i))%*% E)))) + (hadamard.prod(D, (t(K_i%*%E)))))
262     C_2i = cbind(apply(B_2i,1,max)) # Max de cada linha
263     Ci = C_2i
264   }
265   if(h>2){
266     for (g in 3:h){
267       B_3i = ((hadamard.prod(Ji, (t((((hadamard.prod(Argmax(B_2j), (E-D))%*% K_i) + ((hadamard.prod(Argmax(B_2j), D))%*% K_i))%*% E)))) + (hadamard.prod(D, (t(K_i%*%E)))))
268       C_3i = cbind(apply(B_3i,1,max)) # Max de cada linha
269       Ci = C_3i
270     }
271   }
272   Dif_h = (K_i - Ci) # dif de quanto tenho se permanecer e quanto
273   # terei se eu me mover
274   Sign_Dif_h = sign(Dif_h)
275   if(h==1){
276     lista_resultados <- list(B_1i, Sign_Dif_h)
277   }

```

```

277  if(h==2){
278      lista_resultados <- list(B_2i, Sign_Dif_h)
279  }
280  if(h>2){
281      lista_resultados <- list(B_3i, Sign_Dif_h)
282  }
283  return(lista_resultados)
284
285 }
286
287
288 # ----- #
289 #      Cj Function - DM j Inicia
290 # ----- #
291
292 Cj <- function(h){
293  if(h==1){
294      B_1j = (hadamard.prod(Jj, (t(K_j%*%E)))) + (hadamard.prod(D, (t(K_j%*%E))))
295      C_1j = cbind(apply(B_1j,1,max)) # Max de cada linha
296      Cj = C_1j
297  }
298  if(h==2){
299      B_2j = ((hadamard.prod(Jj, (t((((hadamard.prod(Argmax(B_1i), (E-D
300          ))%*% K_j) + ((hadamard.prod(Argmax(B_1i), D))%*% K_j))%*%
301          E)))) + (hadamard.prod(D, (t(K_j%*%E))))) )
300      C_2j = cbind(apply(B_2j,1,max)) # Max de cada linha
301      Cj = C_2j
302  }
303  if(h>2){
304      for (g in 3:h){
305          B_3j = ((hadamard.prod(Jj, (t((((hadamard.prod(Argmax(B_2i), (E-D
306          ))%*% K_j) + ((hadamard.prod(Argmax(B_2i), D))%*% K_j))%*%
307          E)))) + (hadamard.prod(D, (t(K_j%*%E))))) )
306          C_3j = cbind(apply(B_3j,1,max)) # Max de cada linha
307          Cj = C_3j
308      }
309  }

```

```

310  Dif_J_h = (K_j - Cj) # dif de quanto tenho se permanecer e quanto
      terei se eu me mover
311  Sign_J_Dif_h = sign(Dif_J_h)
312  if(h==1){
313      lista_resultados <- list(B_1j, Sign_J_Dif_h)
314  }
315  if(h==2){
316      lista_resultados <- list( B_2j, Sign_J_Dif_h)
317  }
318  if(h>2){
319      lista_resultados <- list(B_3j, Sign_J_Dif_h)
320  }
321  return(lista_resultados)
322 }
```

## A.6 SCRIPT DO R - CICLOS TABELA 2X2 - CÓDIGO $L_h$

```

1
2 #-----#
3 #          Jogos da Tabela Periodica 2x2
4 #-----#
5
6 # Código para obter os resultados do DM i
7
8 library(matrixcalc)
9
10 S=4 # Quantidade de estados
11 E = rep(1,S) # Vetor de um's # Matriz de um's
12 D = diag (x = 1, nrow=S, ncol=S) # Matriz diagonal
13
14 # Matriz de acessibilidade
15 Ji = matrix(c(0,0,1,0,
16                 0,0,0,1,
17                 1,0,0,0,
18                 0,1,0,0),S,S)
19
20 Jj = matrix(c(0,1,0,0,
21                 1,0,0,0,
```

```
22          0,0,0,1,
23          0,0,1,0), S, S)
24
25 # -----
26 # Matrizes K_i e K_j
27 # -----
28
29 # Jogo 1 - ChNc | NcCh
30 #K_i = matrix(c(2, 3, 1, 4), ncol = 1)
31 #K_j = matrix(c(3, 4, 1, 2), ncol = 1)
32
33 # Jogo 2 - ChHa | HaCh
34 #K_i = matrix(c(2,3,1,4), ncol = 1)
35 #K_j = matrix(c(2,4,1,3), ncol = 1)
36
37 # Jogo 3 - ChPc | PccCh
38 #K_i = matrix(c(2,3,1,4), ncol = 1)
39 #K_j = matrix(c(1,4,2,3), ncol = 1)
40
41 # Jogo 4 - ChCo | CoCh
42 #K_i = matrix(c(2,3,1,4), ncol = 1)
43 #K_j = matrix(c(1,4,3,2), ncol = 1)
44
45 # Jogo 5 - ChAs
46 #K_i = matrix(c(2,3,1,4), ncol = 1)
47 #K_j = matrix(c(2,4,3,1), ncol = 1)
48
49 # Jogo 6 - ChSh
50 #K_i = matrix(c(2,3,1,4), ncol = 1)
51 #K_j = matrix(c(3,4,2,1), ncol = 1)
52
53 # Jogo 7 - ChPd
54 #K_i = matrix(c(2,3,1,4), ncol = 1)
55 #K_j = matrix(c(4,3,2,1), ncol = 1)
56
57 # Jogo 8 - ChDl
58 #K_i = matrix(c(2,3,1,4), ncol = 1)
59 #K_j = matrix(c(4,2,3,1), ncol = 1)
60
```

```

61 # Jogo 9 - ChCm
62 #K_i = matrix(c(2,3,1,4), ncol = 1)
63 #K_j = matrix(c(4,1,3,2), ncol = 1)
64
65 # Jogo 10 - ChHr
66 #K_i = matrix(c(2,3,1,4), ncol = 1)
67 #K_j = matrix(c(4,1,2,3), ncol = 1)
68
69 # Jogo 11 - ChBa
70 #K_i = matrix(c(2,3,1,4), ncol = 1)
71 #K_j = matrix(c(4,2,1,3), ncol = 1)
72
73 # Jogo 12 - ChCh - Chicken Game
74 #K_i = matrix(c(2,3,1,4), ncol = 1)
75 #K_j = matrix(c(4,3,1,2), ncol = 1)
76
77 # Jogo 13 - BaNc
78 #K_i = matrix(c(3,2,1,4), ncol = 1)
79 #K_j = matrix(c(3,4,1,2), ncol = 1)
80
81 # Jogo 14 - BaHa
82 #K_i = matrix(c(3,2,1,4), ncol = 1)
83 #K_j = matrix(c(2,4,1,3), ncol = 1)
84
85 # Jogo 15 - BaPc
86 #K_i = matrix(c(3,2,1,4), ncol = 1)
87 #K_j = matrix(c(1,4,2,3), ncol = 1)
88
89 # Jogo 16 - BaCo
90 #K_i = matrix(c(3,2,1,4), ncol = 1)
91 #K_j = matrix(c(1,4,3,2), ncol = 1)
92
93 # Jogo 17 - BaAs
94 #K_i = matrix(c(3,2,1,4), ncol = 1)
95 #K_j = matrix(c(2,4,3,1), ncol = 1)
96
97 # Jogo 18 - BaSh
98 #K_i = matrix(c(3,2,1,4), ncol = 1)
99 #K_j = matrix(c(3,4,2,1), ncol = 1)

```

```
100
101 # Jogo 19 - BaPd
102 #K_i = matrix(c(3,2,1,4), ncol = 1)
103 #K_j = matrix(c(4,3,2,1), ncol = 1)
104
105 # Jogo 20 - BaDl
106 #K_i = matrix(c(3,2,1,4), ncol = 1)
107 #K_j = matrix(c(4,2,3,1), ncol = 1)
108
109 # Jogo 21 - BaCm
110 #K_i = matrix(c(3,2,1,4), ncol = 1)
111 #K_j = matrix(c(4,1,3,2), ncol = 1)
112
113 # Jogo 22 - BaHr
114 #K_i = matrix(c(3,2,1,4), ncol = 1)
115 #K_j = matrix(c(4,1,2,3), ncol = 1)
116
117 # Jogo 23 - BaBa - Battle Game
118 #K_i = matrix(c(3,2,1,4), ncol = 1)
119 #K_j = matrix(c(4,2,1,3), ncol = 1)
120
121 # Jogo 24 = Jogo 11
122
123 # Jogo 25 - HrNc
124 #K_i = matrix(c(3,1,2,4), ncol = 1)
125 #K_j = matrix(c(3,4,1,2), ncol = 1)
126
127 # Jogo 26 - HrHa
128 #K_i = matrix(c(3,1,2,4), ncol = 1)
129 #K_j = matrix(c(2,4,1,3), ncol = 1)
130
131 # Jogo 27 - HrPc
132 #K_i = matrix(c(3,1,2,4), ncol = 1)
133 #K_j = matrix(c(1,4,2,3), ncol = 1)
134
135 # Jogo 28 - HrCo
136 #K_i = matrix(c(3,1,2,4), ncol = 1)
137 #K_j = matrix(c(1,4,3,2), ncol = 1)
138
```

```
139 # Jogo 29 - HrAs
140 #K_i = matrix(c(3,1,2,4), ncol = 1)
141 #K_j = matrix(c(2,4,3,1), ncol = 1)
142
143 # Jogo 30 - HrSh
144 #K_i = matrix(c(3,1,2,4), ncol = 1)
145 #K_j = matrix(c(3,4,2,1), ncol = 1)
146
147 # Jogo 31 - HrPd
148 #K_i = matrix(c(3,1,2,4), ncol = 1)
149 #K_j = matrix(c(4,3,2,1), ncol = 1)
150
151 # Jogo 32 - HrDl
152 #K_i = matrix(c(3,1,2,4), ncol = 1)
153 #K_j = matrix(c(4,2,3,1), ncol = 1)
154
155 # Jogo 33 - HrCm
156 #K_i = matrix(c(3,1,2,4), ncol = 1)
157 #K_j = matrix(c(4,1,3,2), ncol = 1)
158
159 # Jogo 34 - HrHr - Hero
160 #K_i = matrix(c(3,1,2,4), ncol = 1)
161 #K_j = matrix(c(4,1,2,3), ncol = 1)
162
163 # Jogo 35 = Jogo 22
164 # Jogo 36 = Jogo 10
165
166 # Jogo 37 - CmNc
167 #K_i = matrix(c(2,1,3,4), ncol = 1)
168 #K_j = matrix(c(3,4,1,2), ncol = 1)
169
170 # Jogo 38 - CmHa
171 #K_i = matrix(c(2,1,3,4), ncol = 1)
172 #K_j = matrix(c(2,4,1,3), ncol = 1)
173
174 # Jogo 39 - CmPc
175 #K_i = matrix(c(2,1,3,4), ncol = 1)
176 #K_j = matrix(c(1,4,2,3), ncol = 1)
177
```

```

178 # Jogo 40 - CmCo
179 #K_i = matrix(c(2,1,3,4), ncol = 1)
180 #K_j = matrix(c(1,4,3,2), ncol = 1)
181
182 # Jogo 41 - CmAs
183 #K_i = matrix(c(2,1,3,4), ncol = 1)
184 #K_j = matrix(c(2,4,3,1), ncol = 1)
185
186 # Jogo 42 - CmSh
187 #K_i = matrix(c(2,1,3,4), ncol = 1)
188 #K_j = matrix(c(3,4,2,1), ncol = 1)
189
190 # Jogo 43 - CmPd
191 #K_i = matrix(c(2,1,3,4), ncol = 1)
192 #K_j = matrix(c(4,3,2,1), ncol = 1)
193
194 # Jogo 44 - CmDl
195 #K_i = matrix(c(2,1,3,4), ncol = 1)
196 #K_j = matrix(c(4,2,3,1), ncol = 1)
197
198 # Jogo 45 - CmCm - Compromise Game
199 #K_i = matrix(c(2,1,3,4), ncol = 1)
200 #K_j = matrix(c(4,1,3,2), ncol = 1)
201
202 # Jogo 46 = Jogo 33
203 # Jogo 47 = Jogo 21
204 # Jogo 48 = Jogo 9
205
206 # Jogo 49 - DlNc
207 #K_i = matrix(c(1,2,3,4), ncol = 1)
208 #K_j = matrix(c(3,4,1,2), ncol = 1)
209
210 # Jogo 50 - DlHa
211 #K_i = matrix(c(1,2,3,4), ncol = 1)
212 #K_j = matrix(c(2,4,1,3), ncol = 1)
213
214 # Jogo 51 - DlPc
215 #K_i = matrix(c(1,2,3,4), ncol = 1)
216 #K_j = matrix(c(1,4,2,3), ncol = 1)

```

```
217
218 # Jogo 52 - DlCo
219 #K_i = matrix(c(1,2,3,4), ncol = 1)
220 #K_j = matrix(c(1,4,3,2), ncol = 1)
221
222 # Jogo 53 - DlAs
223 #K_i = matrix(c(1,2,3,4), ncol = 1)
224 #K_j = matrix(c(2,4,3,1), ncol = 1)
225
226 # Jogo 54 - DlSh
227 #K_i = matrix(c(1,2,3,4), ncol = 1)
228 #K_j = matrix(c(3,4,2,1), ncol = 1)
229
230 # Jogo 55 - DlPd
231 #K_i = matrix(c(1,2,3,4), ncol = 1)
232 #K_j = matrix(c(4,3,2,1), ncol = 1)
233
234 # Jogo 56 - DlDl - Deadlock
235 #K_i = matrix(c(1,2,3,4), ncol = 1)
236 #K_j = matrix(c(4,2,3,1), ncol = 1)
237
238 # Jogo 57 = Jogo 44
239 # Jogo 58 = Jogo 32
240 # Jogo 59 = Jogo 20
241 # Jogo 60 = Jogo 8
242
243 # Jogo 61 - PdNc
244 #K_i = matrix(c(1,3,2,4), ncol = 1)
245 #K_j = matrix(c(3,4,1,2), ncol = 1)
246
247 # Jogo 62 - PdHa
248 #K_i = matrix(c(1,3,2,4), ncol = 1)
249 #K_j = matrix(c(2,4,1,3), ncol = 1)
250
251 # Jogo 63 - PdPc
252 #K_i = matrix(c(1,3,2,4), ncol = 1)
253 #K_j = matrix(c(1,4,2,3), ncol = 1)
254
255 # Jogo 64 - PdCo
```

```
256 #K_i = matrix(c(1,3,2,4), ncol = 1)
257 #K_j = matrix(c(1,4,3,2), ncol = 1)
258
259 # Jogo 65 - PdAs
260 #K_i = matrix(c(1,3,2,4), ncol = 1)
261 #K_j = matrix(c(2,4,3,1), ncol = 1)
262
263 # Jogo 66 - PdSh
264 #K_i = matrix(c(1,3,2,4), ncol = 1)
265 #K_j = matrix(c(3,4,2,1), ncol = 1)
266
267 # Jogo 67 - PdPd - Prisoner Dilema
268 #K_i = matrix(c(1,3,2,4), ncol = 1)
269 #K_j = matrix(c(4,3,2,1), ncol = 1)
270
271 # Jogo 68 = Jogo 55
272 # Jogo 69 = Jogo 43
273 # Jogo 70 = Jogo 31
274 # Jogo 71 = Jogo 19
275 # Jogo 72 = Jogo 7
276
277 # Jogo 73 - ShNc
278 #K_i = matrix(c(1,4,2,3), ncol = 1)
279 #K_j = matrix(c(3,4,1,2), ncol = 1)
280
281 # Jogo 74 - ShHa
282 #K_i = matrix(c(1,4,2,3), ncol = 1)
283 #K_j = matrix(c(2,4,1,3), ncol = 1)
284
285 # Jogo 75 - ShPc
286 #K_i = matrix(c(1,4,2,3), ncol = 1)
287 #K_j = matrix(c(1,4,2,3), ncol = 1)
288
289 # Jogo 76 - ShCo
290 #K_i = matrix(c(1,4,2,3), ncol = 1)
291 #K_j = matrix(c(1,4,3,2), ncol = 1)
292
293 # Jogo 77 - ShAs
294 #K_i = matrix(c(1,4,2,3), ncol = 1)
```

```
295 #K_j = matrix(c(2,4,3,1), ncol = 1)
296
297 # Jogo 78 - ShSh - Stag Hunt
298 #K_i = matrix(c(1,4,2,3), ncol = 1)
299 #K_j = matrix(c(3,4,2,1), ncol = 1)
300
301 # Jogo 79 = Jogo 66
302 # Jogo 80 = Jogo 54
303 # Jogo 81 = Jogo 42
304 # Jogo 82 = Jogo 30
305 # Jogo 83 = Jogo 18
306 # Jogo 84 = Jogo 6
307
308 # Jogo 85 - AsNc
309 #K_i = matrix(c(1,4,3,2), ncol = 1)
310 #K_j = matrix(c(3,4,1,2), ncol = 1)
311
312 # Jogo 86 - AsHa
313 #K_i = matrix(c(1,4,3,2), ncol = 1)
314 #K_j = matrix(c(2,4,1,3), ncol = 1)
315
316 # Jogo 87 - AsPc
317 #K_i = matrix(c(1,4,3,2), ncol = 1)
318 #K_j = matrix(c(1,4,2,3), ncol = 1)
319
320 # Jogo 88 - AsCo
321 #K_i = matrix(c(1,4,3,2), ncol = 1)
322 #K_j = matrix(c(1,4,3,2), ncol = 1)
323
324 # Jogo 89 - AsAs - Assurance
325 #K_i = matrix(c(1,4,3,2), ncol = 1)
326 #K_j = matrix(c(2,4,3,1), ncol = 1)
327
328 # Jogo 90 = Jogo 77
329 # Jogo 91 = Jogo 65
330 # Jogo 92 = Jogo 53
331 # Jogo 93 = Jogo 41
332 # Jogo 94 = Jogo 29
333 # Jogo 95 = Jogo 17
```

```
334 # Jogo 96 = Jogo 5
335
336 # Jogo 97 - CoNc
337 #K_i = matrix(c(2,4,3,1), ncol = 1)
338 #K_j = matrix(c(3,4,1,2), ncol = 1)
339
340 # Jogo 98 - CoHa
341 #K_i = matrix(c(2,4,3,1), ncol = 1)
342 #K_j = matrix(c(2,4,1,3), ncol = 1)
343
344 # Jogo 99 - CoPc
345 #K_i = matrix(c(2,4,3,1), ncol = 1)
346 #K_j = matrix(c(1,4,2,3), ncol = 1)
347
348 # Jogo 100 - CoCo - Coordination
349 #K_i = matrix(c(2,4,3,1), ncol = 1)
350 #K_j = matrix(c(1,4,3,2), ncol = 1)
351
352 # Jogo 101 = Jogo 88
353 # Jogo 102 = Jogo 76
354 # Jogo 103 = Jogo 64
355 # Jogo 104 = Jogo 52
356 # Jogo 105 = Jogo 40
357 # Jogo 106 = Jogo 28
358 # Jogo 107 = Jogo 16
359 # Jogo 108 = Jogo 4
360
361 # Jogo 109 - PcNc
362 #K_i = matrix(c(3,4,2,1), ncol = 1)
363 #K_j = matrix(c(3,4,1,2), ncol = 1)
364
365 # Jogo 110 - PcHa
366 #K_i = matrix(c(3,4,2,1), ncol = 1)
367 #K_j = matrix(c(2,4,1,3), ncol = 1)
368
369 # Jogo 111 - PcPc - Peace
370 #K_i = matrix(c(3,4,2,1), ncol = 1)
371 #K_j = matrix(c(1,4,2,3), ncol = 1)
372
```

```
373 # Jogo 112 = Jogo 99
374 # Jogo 113 = Jogo 87
375 # Jogo 114 = Jogo 75
376 # Jogo 115 = Jogo 63
377 # Jogo 116 = Jogo 51
378 # Jogo 117 = Jogo 39
379 # Jogo 118 = Jogo 27
380 # Jogo 119 = Jogo 15
381 # Jogo 120 = Jogo 3
382
383 # Jogo 121 - HaNc
384 #K_i = matrix(c(3,4,1,2), ncol = 1)
385 #K_j = matrix(c(3,4,1,2), ncol = 1)
386
387 # Jogo 122 - HaHa - Harmony
388 #K_i = matrix(c(3,4,1,2), ncol = 1)
389 #K_j = matrix(c(2,4,1,3), ncol = 1)
390
391 # Jogo 123 = Jogo 110
392 # Jogo 124 = Jogo 98
393 # Jogo 125 = Jogo 86
394 # Jogo 126 = Jogo 74
395 # Jogo 127 = Jogo 62
396 # Jogo 128 = Jogo 50
397 # Jogo 129 = Jogo 38
398 # Jogo 130 = Jogo 26
399 # Jogo 131 = Jogo 14
400 # Jogo 132 = Jogo 2
401
402 # Jogo 133 - NcNc - Concord
403 K_i = matrix(c(2,4,1,3), ncol = 1)
404 K_j = matrix(c(3,4,1,2), ncol = 1)
405
406 # Jogo 134 = Jogo 121
407 # Jogo 135 = Jogo 109
408 # Jogo 136 = Jogo 97
409 # Jogo 137 = Jogo 85
410 # Jogo 138 = Jogo 73
411 # Jogo 139 = Jogo 61
```

```

412 # Jogo 140 = Jogo 49
413 # Jogo 141 = Jogo 37
414 # Jogo 142 = Jogo 25
415 # Jogo 143 = Jogo 13
416 # Jogo 144 = Jogo 1
417
418 # ----- #
419 #      Funcao Argmax
420 # ----- #
421
422 Argmax <- function ( mat ) {
423   result <- mat
424   for ( i in 1: nrow ( mat ) ) {
425     row <- mat [i , ]
426     max_index <- which.max ( row )
427     if (row [max_index] > row[i]){
428       row [max_index] <- 1
429       row [-max_index] <- 0
430     }
431     else {
432       row [i] <- 1
433       row [-i] <- 0
434     }
435     result [i , ] <- row
436   }
437   return ( result )
438 }
439
440 # ----- #
441 #      Ci Function - DM i Inicia
442 # ----- #
443
444 Ci <- function(h){
445   B_1i = (hadamard.prod(Ji, (t(K_i%*%E)))) + (hadamard.prod(D, (
446     t(K_i%*%E))))
447   C_1i = cbind(apply(B_1i,1,max)) # Max de cada linha
448   Ci=C_1i
449   if(h==1){
450     Ci=C_1i

```

```

450      Dif_h = (K_i - Ci) # dif de quanto tenho se permanecer e
451          quanto terei se eu me mover
452      Sign_Dif_h = sign(Dif_h)
453      #lista_resultados <- list(B_1i, Sign_Dif_h)
454      lista_resultados <- list(Sign_Dif_h)
455      }
456      if(h>1){
457          B_1j = (hadamard.prod(Jj, (t(K_j%*%E)))) + (hadamard.prod(D,
458              (t(K_j%*%E))))
459          C_1j = cbind(apply(B_1j,1,max)) # Max de cada linha
460          B_2i = ((hadamard.prod(Ji, (t(((hadamard.prod(Argmax(B_1j),
461              (E-D))) %*% K_i) + ((hadamard.prod(Argmax(B_1j), D)) %*%
462              K_i)) %*% E)))) + (hadamard.prod(D, (t(K_i%*%E))))
463          C_2i = cbind(apply(B_2i,1,max)) # Max de cada linha
464          if(h==2){Ci=C_2i
465              Dif_h = (K_i - Ci) # dif de quanto tenho se permanecer e
466                  quanto terei se eu me mover
467              Sign_Dif_h = sign(Dif_h)
468              #lista_resultados <- list(B_2i, Sign_Dif_h)
469              lista_resultados <- list(Sign_Dif_h)
470              }
471              if(h>2){
472                  C_0j <- K_j
473                  for (g in 3:h){
474                      B_2j = ((hadamard.prod(Jj, (t(((hadamard.prod(Argmax(
475                          B_1i), (E-D))) %*% C_0j) + ((hadamard.prod(Argmax(B
476                          _1i), D)) %*% K_j)) %*% E)))) + (hadamard.prod(D, (
477                          t(K_j%*%E))))
478                      C_2j = cbind(apply(B_2j,1,max)) # Max de cada linha
479                      B_3i = ((hadamard.prod(Ji, (t(((hadamard.prod(Argmax(
480                          B_2j), (E-D))) %*% C_1i) + ((hadamard.prod(Argmax(B
481                          _2j), D)) %*% K_i)) %*% E)))) + (hadamard.prod(D, (
482                          t(K_i%*%E))))
483                      C_3i = cbind(apply(B_3i,1,max)) # Max de cada linha
484                      B_1i <- B_2i
485                      B_2i <- B_3i
486                      C_1i <- C_2i
487                      C_2i <- C_3i
488                      C_0j <- C_1j

```

```

478         C_1j <- C_2j
479     }
480
481     Ci = C_3i
482
483     Dif_h = (K_i - Ci) # dif de quanto tenho se permanecer e
484         quanto terei se eu me mover
485
486     Sign_Dif_h = sign(Dif_h)
487
488     #lista_resultados <- list(B_3i, Sign_Dif_h)
489     lista_resultados <- list(Sign_Dif_h)
490
491     }
492
493     return(lista_resultados)
494
495 }
496
497 # -----
498 # Cj Function - DM j Inicia
499 # -----
500
501 Cj <- function(h){
502
503     B_1j = (hadamard.prod(Jj, (t(K_j%*%E)))) + (hadamard.prod(D, (t(K_j
504         %*%E))))
505
506     C_1j = cbind(apply(B_1j,1,max)) # Max de cada linha
507     Cj=C_1j
508
509     if(h==1){
510
511         Cj=C_1j
512
513         Dif_h = (K_j - Cj) # dif de quanto tenho se permanecer e quanto
514             terei se eu me mover
515
516         Sign_Dif_h = sign(Dif_h)
517
518         #lista_resultados <- list(B_1j, Sign_Dif_h)
519         lista_resultados <- list(Sign_Dif_h)
520
521     }
522
523     if(h>1){
524
525         B_1i = (hadamard.prod(Ji, (t(K_i%*%E)))) + (hadamard.prod(D, (t(K
526             _i%*%E))))
527
528         C_1i = cbind(apply(B_1i,1,max)) # Max de cada linha
529
530         B_2j = ((hadamard.prod(Jj, (t(((hadamard.prod(Argmax(B_1i), (E-D
531             )) %*% K_j) + ((hadamard.prod(Argmax(B_1i), D)) %*% K_j)) %*%
532             E)))) + (hadamard.prod(D, (t(K_j%*%E)))))


```

```

511  C_2j = cbind(apply(B_2j,1,max)) # Max de cada linha
512  if(h==2){Cj=C_2j
513  Dif_h = (K_j - Cj) # dif de quanto tenho se permanecer e quanto
514  terei se eu me mover
515  Sign_Dif_h = sign(Dif_h)
516  #lista_resultados <- list(B_2j, Sign_Dif_h)
517  lista_resultados <- list(Sign_Dif_h)
518  }
519  if(h>2){
520  C_0i <- K_i
521  for (g in 3:h){
522  B_2i = ((hadamard.prod(Ji, (t(((hadamard.prod(Argmax(B_1j),
523  (E-D))) %*% C_0i) + ((hadamard.prod(Argmax(B_1j), D)) %*%
524  K_i)) %*% E)))) + (hadamard.prod(D, (t(K_i%*%E)))))
525  C_2i = cbind(apply(B_2i,1,max)) # Max de cada linha
526  B_3j = ((hadamard.prod(Jj, (t(((hadamard.prod(Argmax(B_2i),
527  (E-D))) %*% C_1j) + ((hadamard.prod(Argmax(B_2i), D)) %*%
528  K_j)) %*% E)))) + (hadamard.prod(D, (t(K_j%*%E)))))
529  C_3j = cbind(apply(B_3j,1,max)) # Max de cada linha
530  B_1j <- B_2j
531  B_2j <- B_3j
532  C_1j <- C_2j
533  C_2j <- C_3j
534  C_0i <- C_1i
535  C_1i <- C_2i
536  }
537  Cj = C_3j
538  Dif_h = (K_j - Cj) # dif de quanto tenho se permanecer e quanto
539  terei se eu me mover
540  Sign_Dif_h = sign(Dif_h)
541  #lista_resultados <- list(B_3j, Sign_Dif_h)
542  lista_resultados <- list(Sign_Dif_h)
543  }
544  return(lista_resultados)
545
546 }
547
548 result_i <- list()

```

```
544 result_j <- list()
545
546
547 # Matriz Resultados
548
549 matriz_resultados_i <- matrix(nrow = length(K_i), ncol = 0)
550 matriz_resultados_j <- matrix(nrow = length(K_j), ncol = 0)
551
552 #result <- list()
553 for (h in 1:20){
554   result_i[h] <- Ci(h)[1]
555   result_j[h] <- Cj(h)[1]
556   vetor_atual_i <- result_i[[h]]
557   vetor_atual_j <- result_j[[h]]
558   matriz_resultados_i <- cbind(matriz_resultados_i, vetor_atual_i)
559   matriz_resultados_j <- cbind(matriz_resultados_j, vetor_atual_j)
560   lista_matriz_resultados <- list(matriz_resultados_i, matriz_
561     resultados_j)}
561 print(lista_matriz_resultados)
```